

Article

Pyrrolizine and Indolizine Derived Spirooxindoles: Synthesis, Antibacterial Activity and Inverse Docking Analysis

Pablo Romo ^{1,2}, María del Pilar Crespo ³, Mauricio Barreto ³, María Elena Burbano ³, Melissa Mejía ⁴, Jairo Quiroga ^{1,*} and Rodrigo Abonia ^{1,*}

¹Heterocyclic Compounds Research Group, Department of Chemistry, Universidad del Valle, 760042 Cali, Colombia; pablo.e.romo@correounivalle.edu.co (P.R.); jairo.quiroga@correounivalle.edu.co (J.Q.); rodrigo.abonia@correounivalle.edu.co (R.A.)

²Research Group on Chemistry and Biotechnology, Universidad Santiago de Cali, 760035 Cali, Colombia; pablromomo00@usc.edu.co (P.R.)

³Microbiology and Infectious Diseases Research Group, Department of Microbiology, Universidad del Valle, 760042 Cali, Colombia; maria.crespo.ortiz@correounivalle.edu.co (M.P.C.); mauricio.barreto@correounivalle.edu.co (M.B.); maria.e.burbano@correounivalle.edu.co (M.H.B.)

⁴Pharmaceutical and Nutrition Sciences Research Group, Department of Chemistry, University of Saskatchewan, Saskatoon, SK S7N 5C9, Canada; melissa.mejia@usask.ca (M.M.)

* jairo.quiroga@correounivalle.edu.co (J.Q.); rodrigo.abonia@correounivalle.edu.co (R.A.)

Entry	pages
NMR spectra data of the spirooxindoles containing pyrrolizine core 9a-m	2-43
NMR spectra data of the spirooxindoles containing indolizine core 11a-j	44-77
FT-IR spectra of spirooxindoles 9a-m and 11a-j	78-100
Table S1. Antimicrobial screening of the novel heterocycles 9a-m and 11a-j	101
Table S2. Tested biological pathways and diseases, KEGG database.	102-105
Table S3. Predicted physicochemical descriptors, pharmacokinetic properties, druglike nature and medicinal chemistry friendliness of the new spirooxindoles 9a-m and spirooxindoles 11a-j .	106-109
Table S4. Docking scores of the evaluated spirooxindoles 9a-m and spirooxindoles 11a-j .	110-162

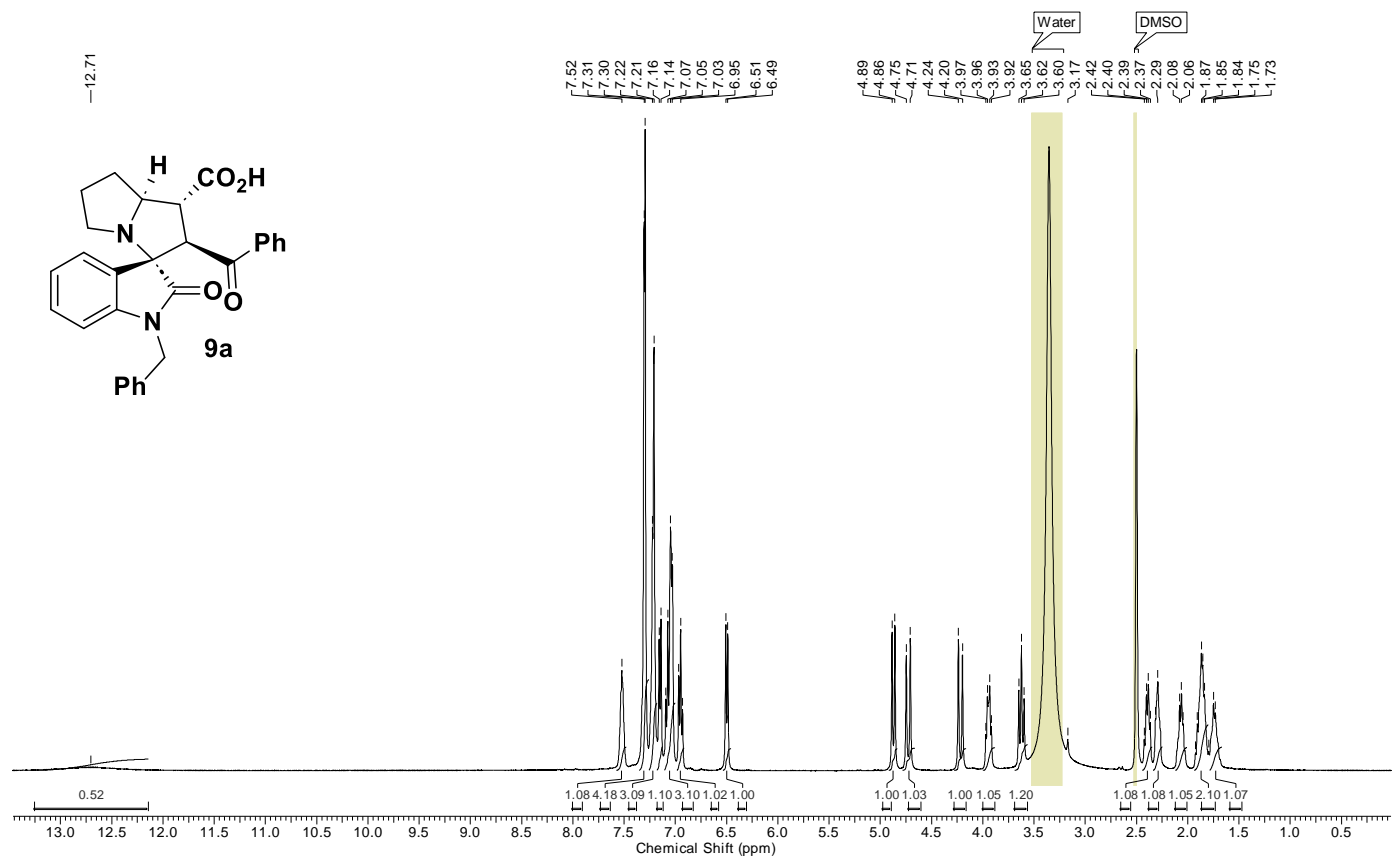
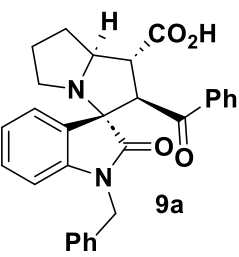


Figure S1. ^1H NMR spectra of compound **9a** recorded at 400 MHz in $\text{DMSO}-d_6$

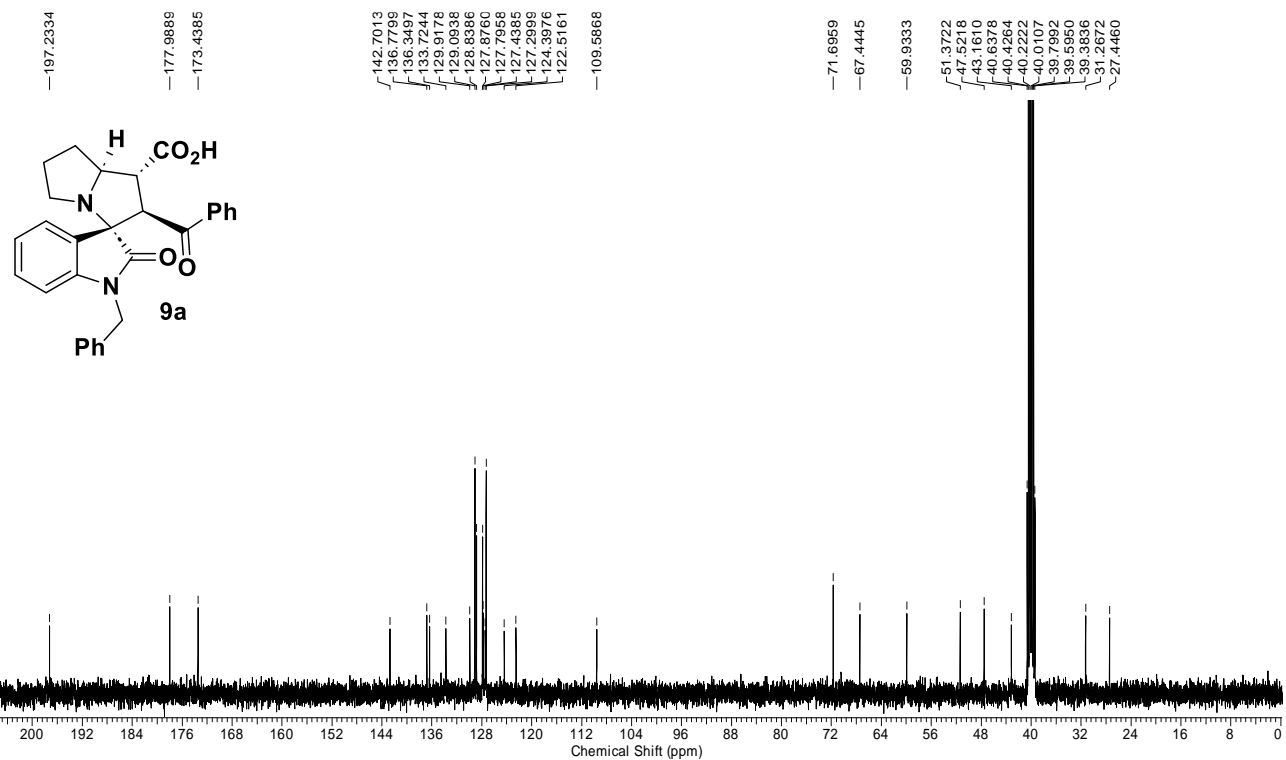


Figure S2. ^{13}C NMR spectra of compound **9a** recorded at 100 MHz in $\text{DMSO}-d_6$

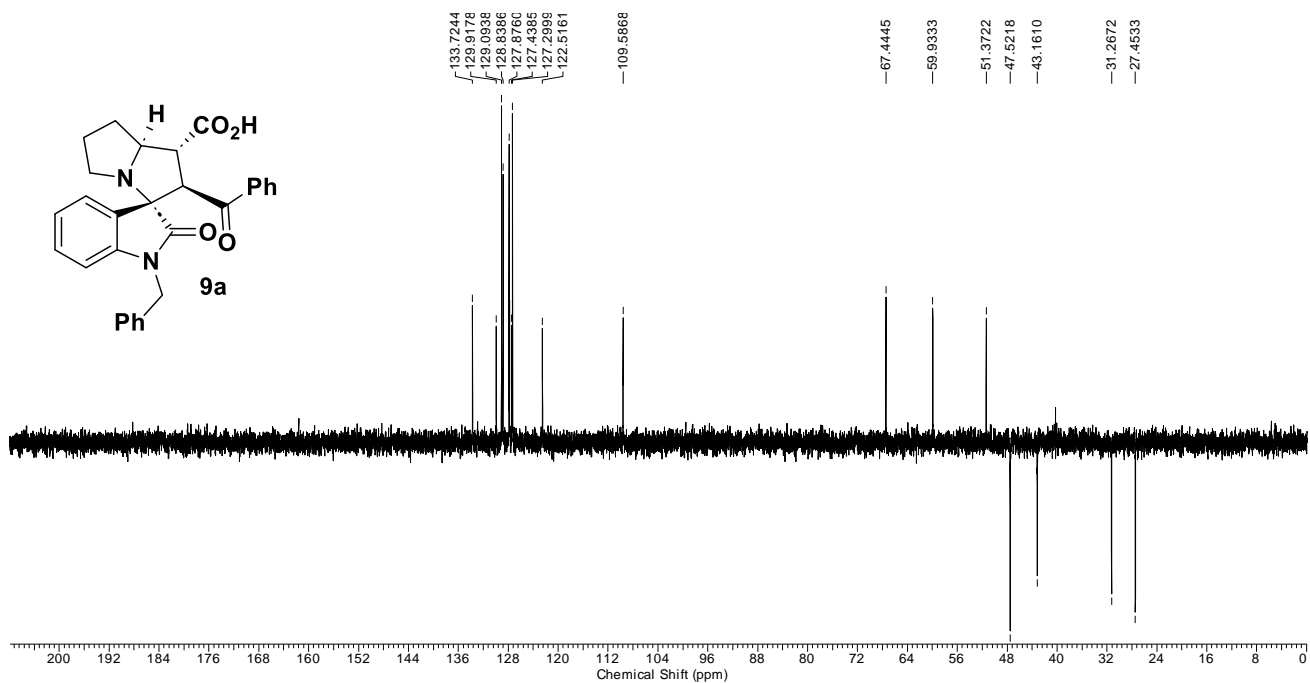
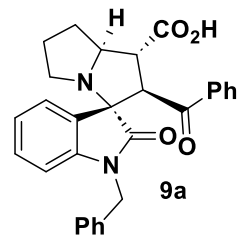


Figure S3. DEPT-135 experiment of compound **9a** in $\text{DMSO}-d_6$

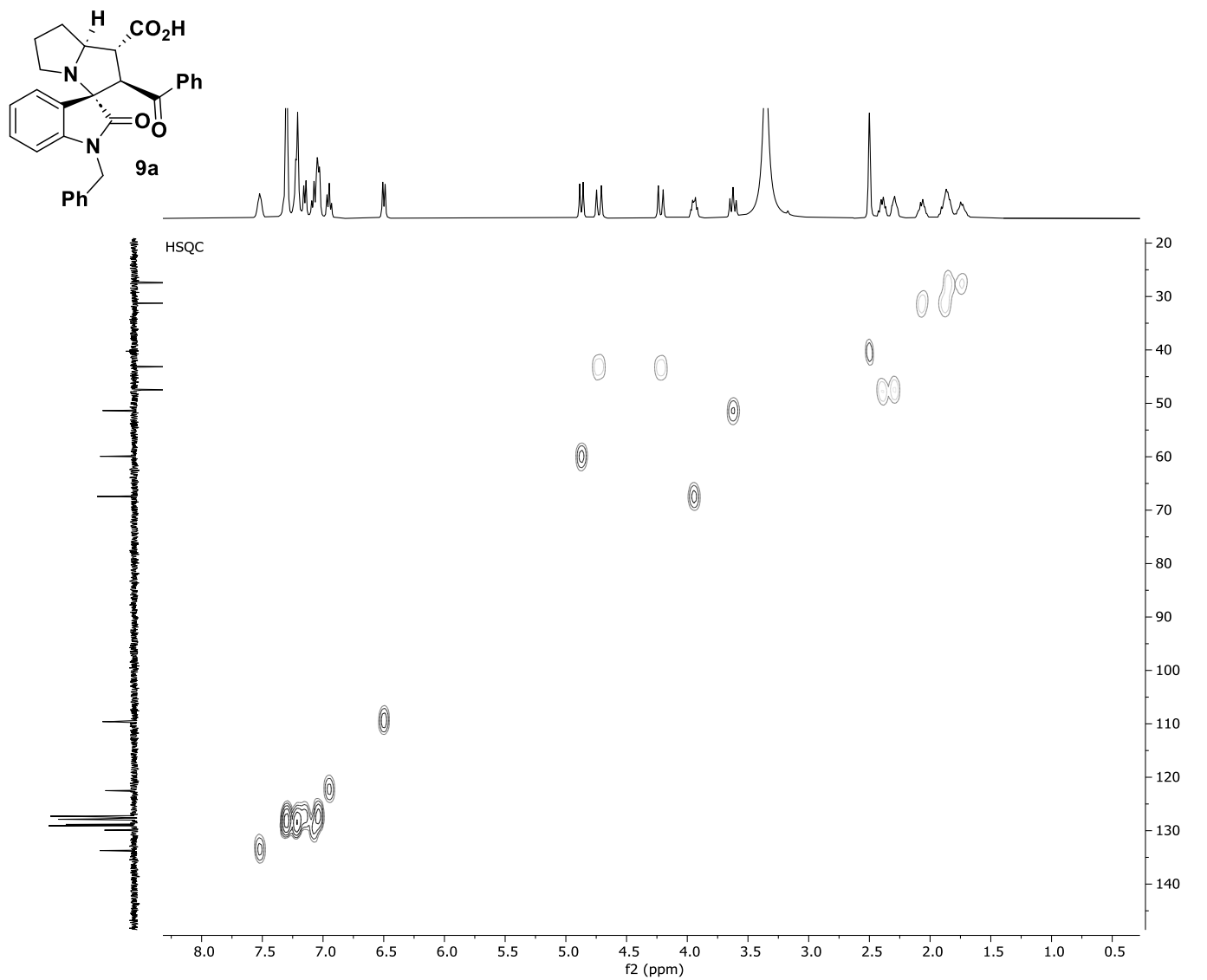


Figure S4. HSQC experiment of compound **9a** in $\text{DMSO}-d_6$

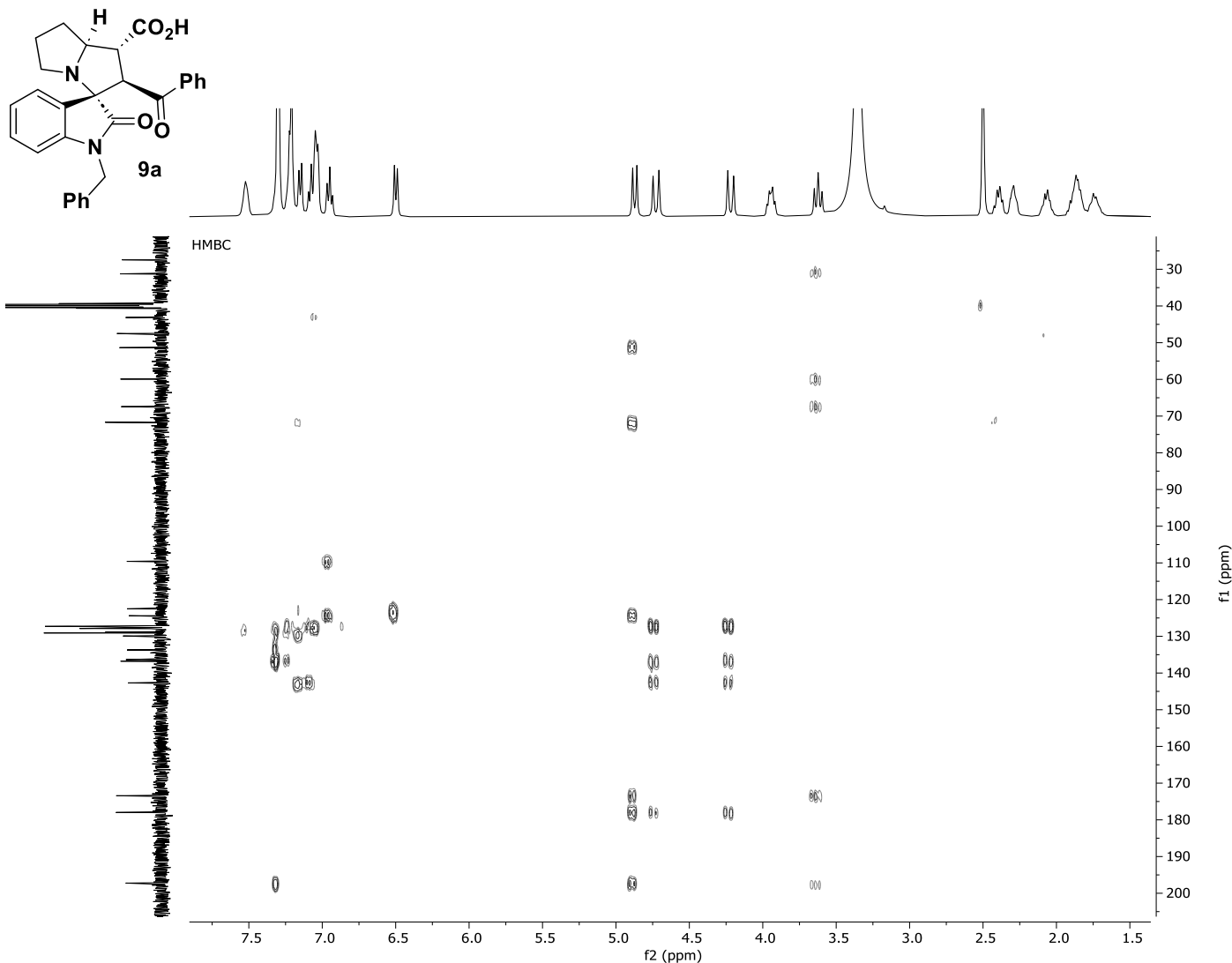


Figure S5. HMBC experiment of compound **9a** in $\text{DMSO}-d_6$

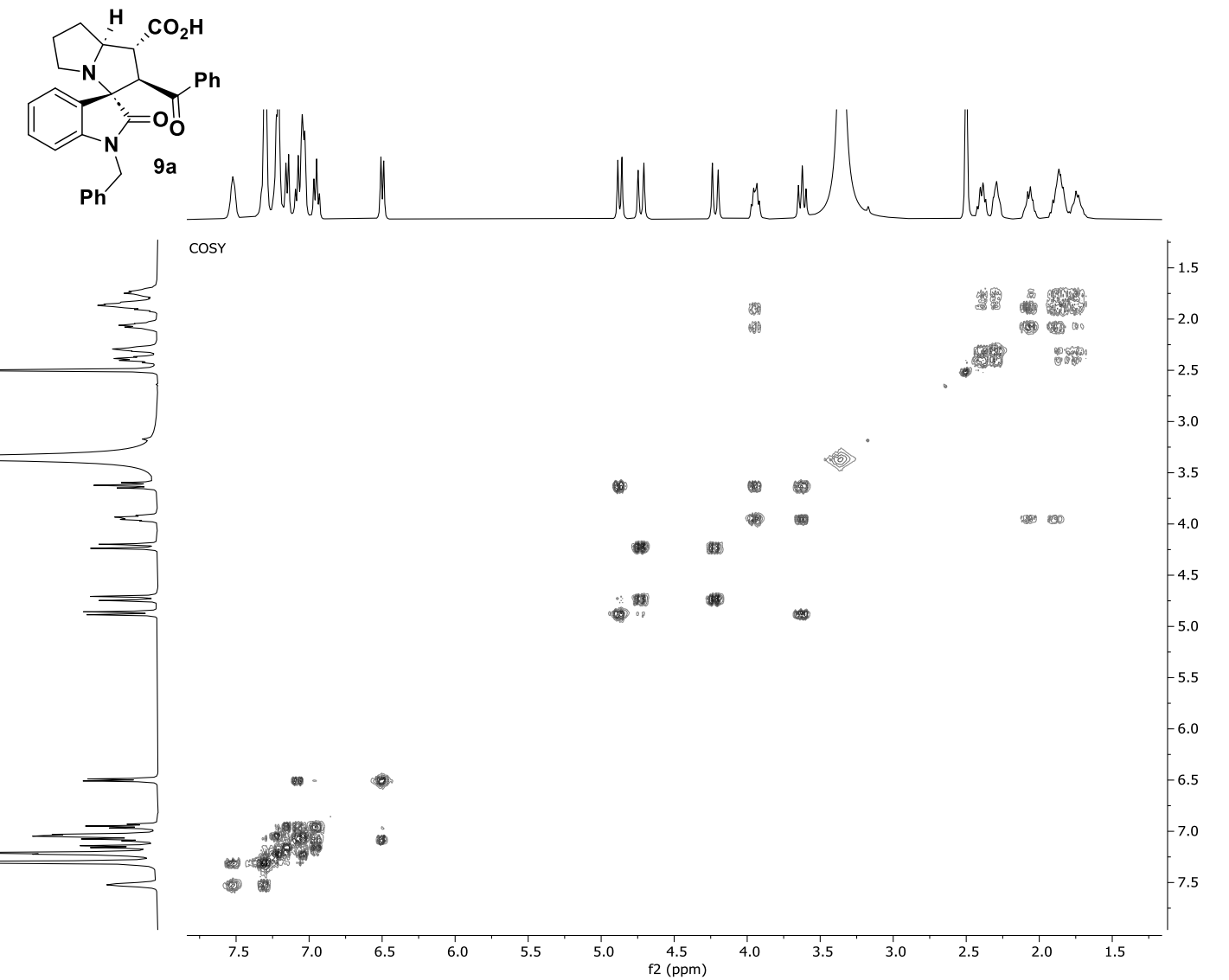


Figure S6. COSY experiment of compound **9a** in $\text{DMSO}-d_6$

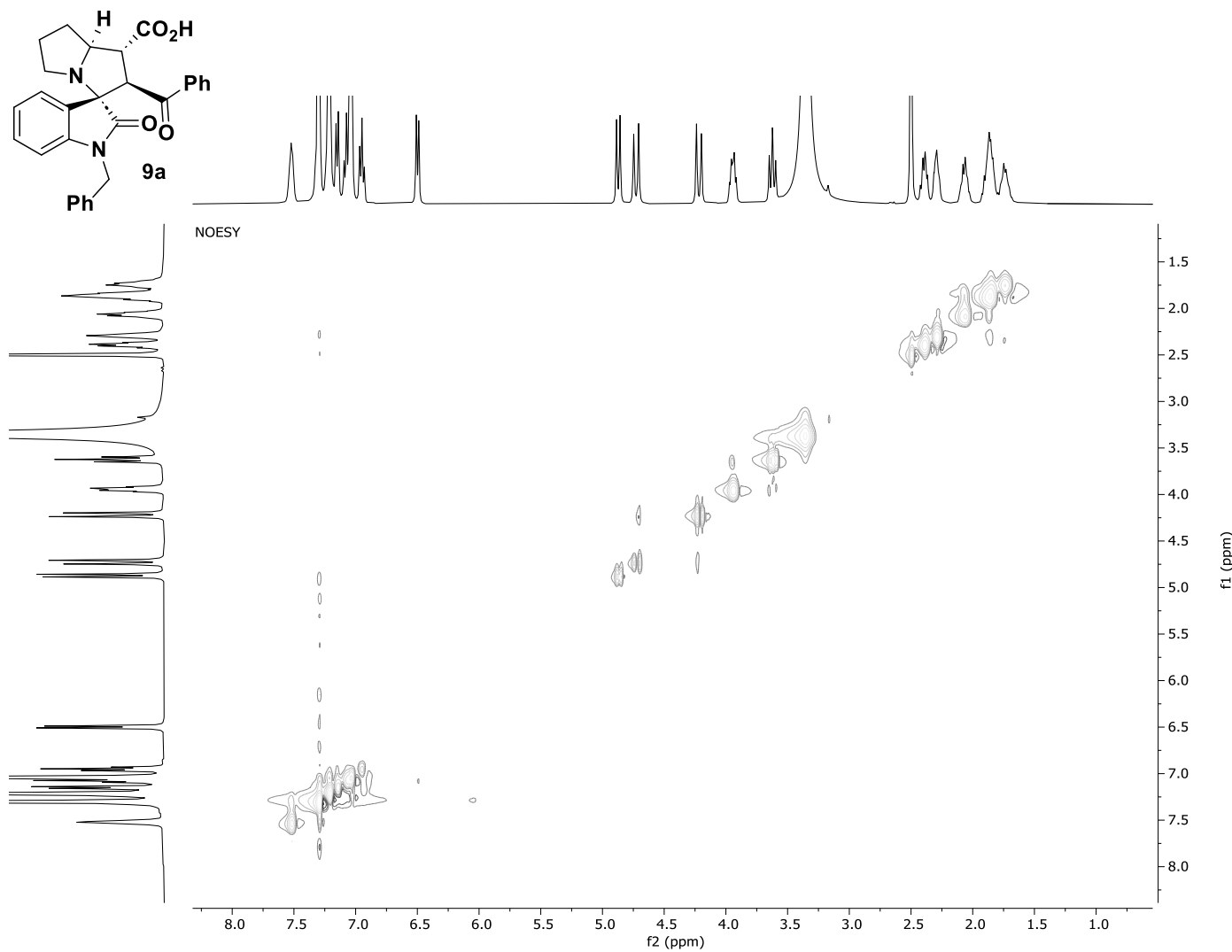


Figure S7. NOESY experiment of compound **9a** in DMSO-*d*₆

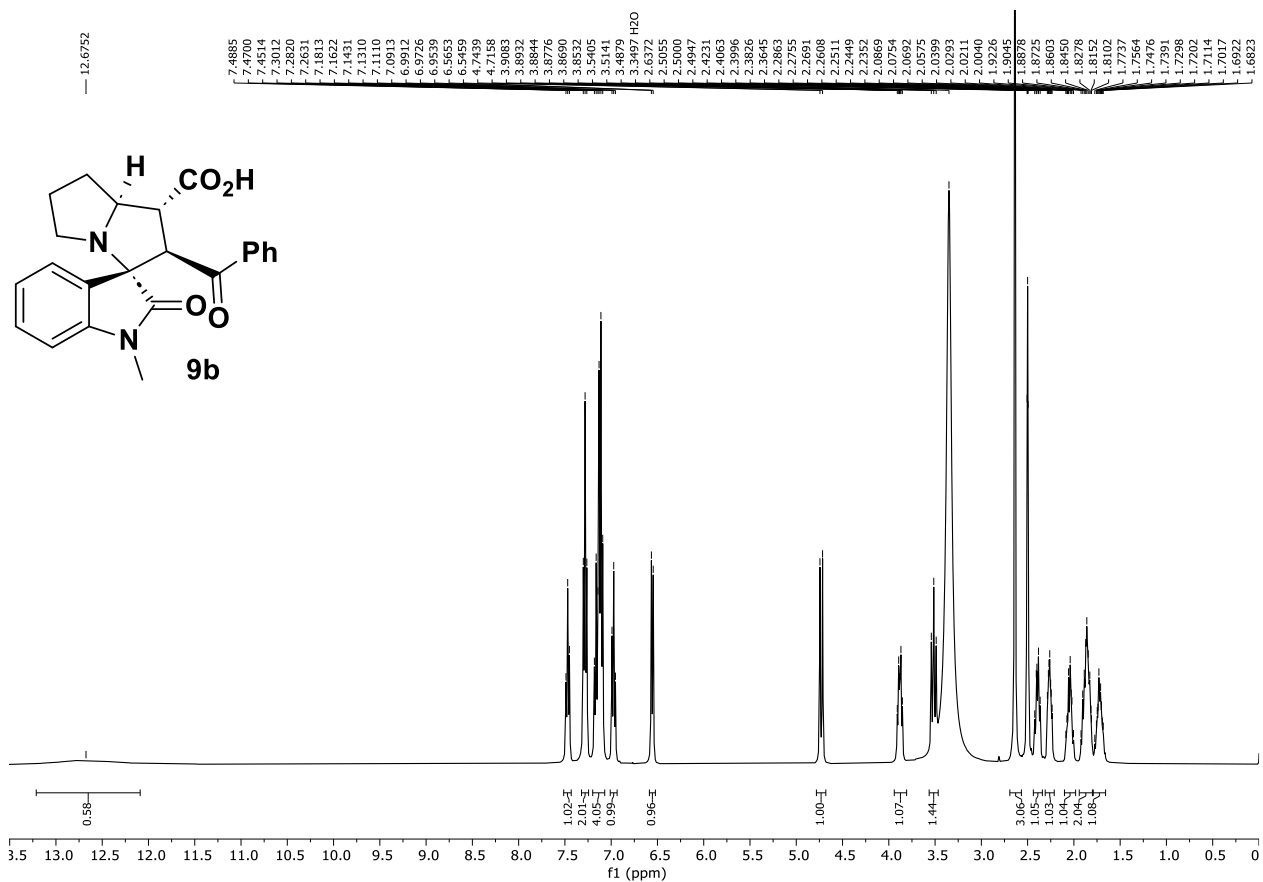


Figure S8. ^1H NMR spectra of compound **9b** recorded at 400 MHz in $\text{DMSO}-d_6$

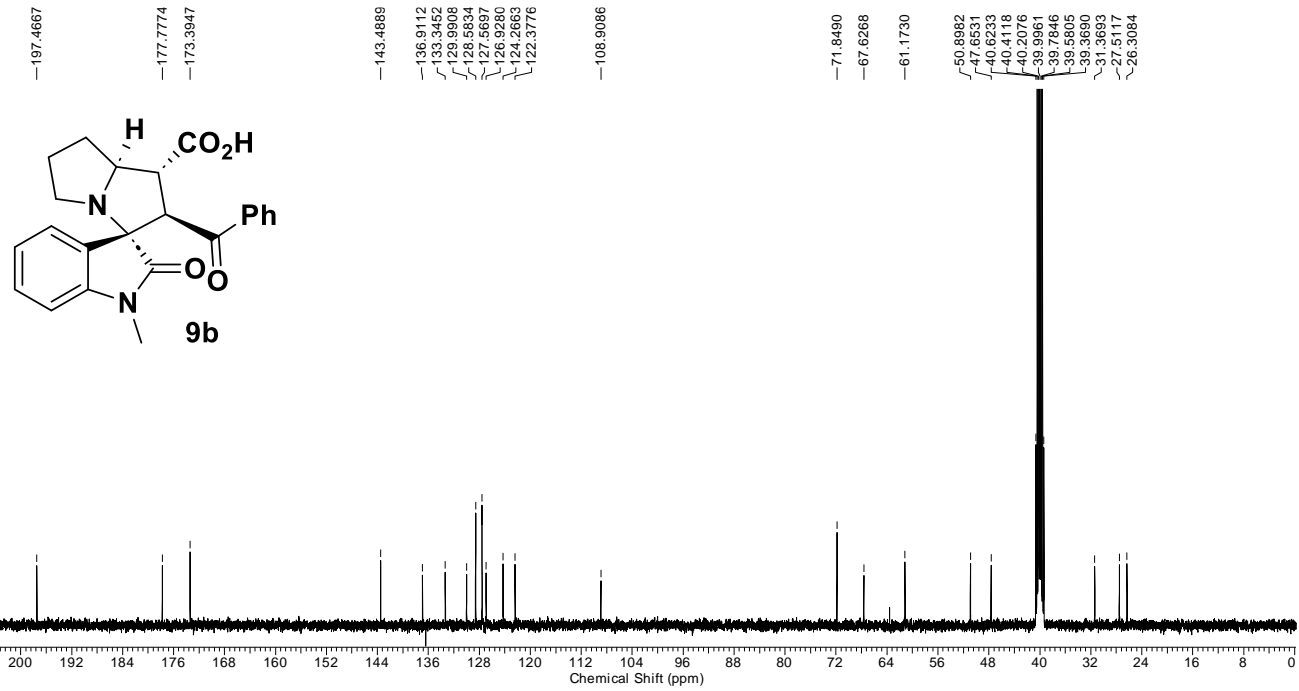


Figure S9. ^{13}C NMR spectra of compound **9b** recorded at 100 MHz in $\text{DMSO}-d_6$

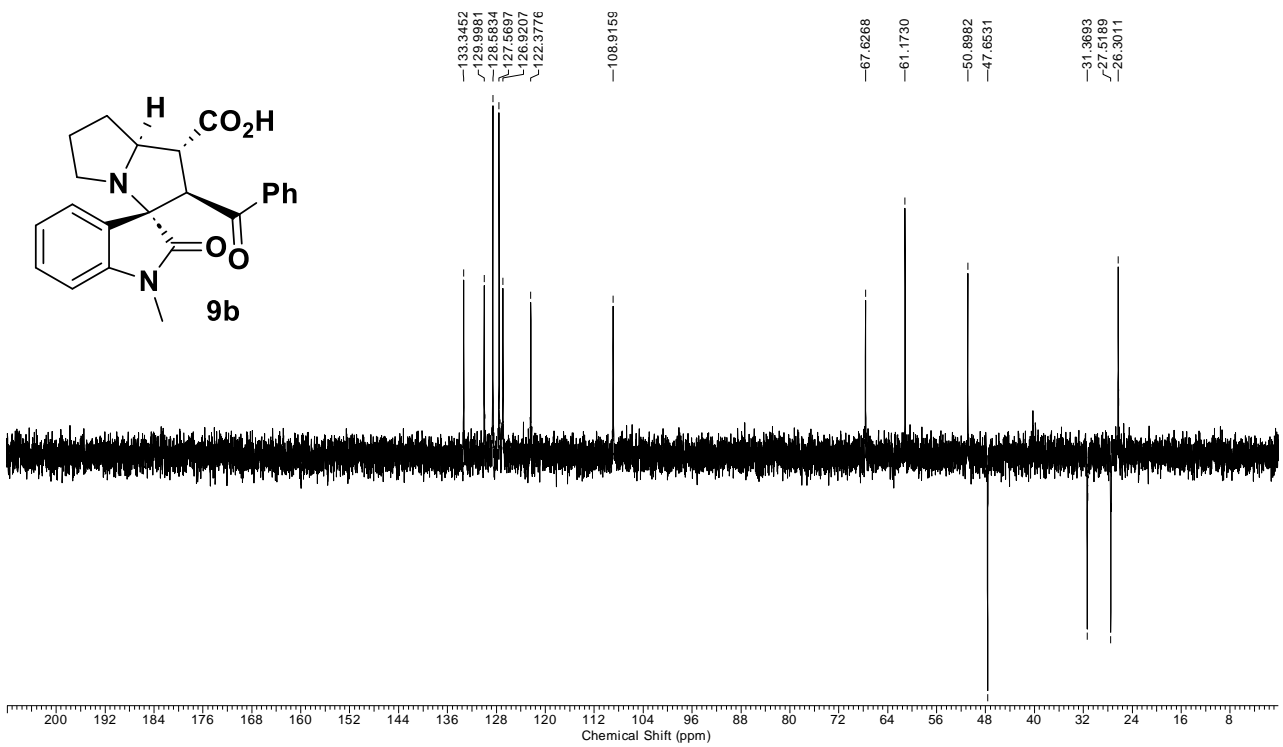


Figure S10. DEPT-135 experiment of compound **9b** in $\text{DMSO}-d_6$

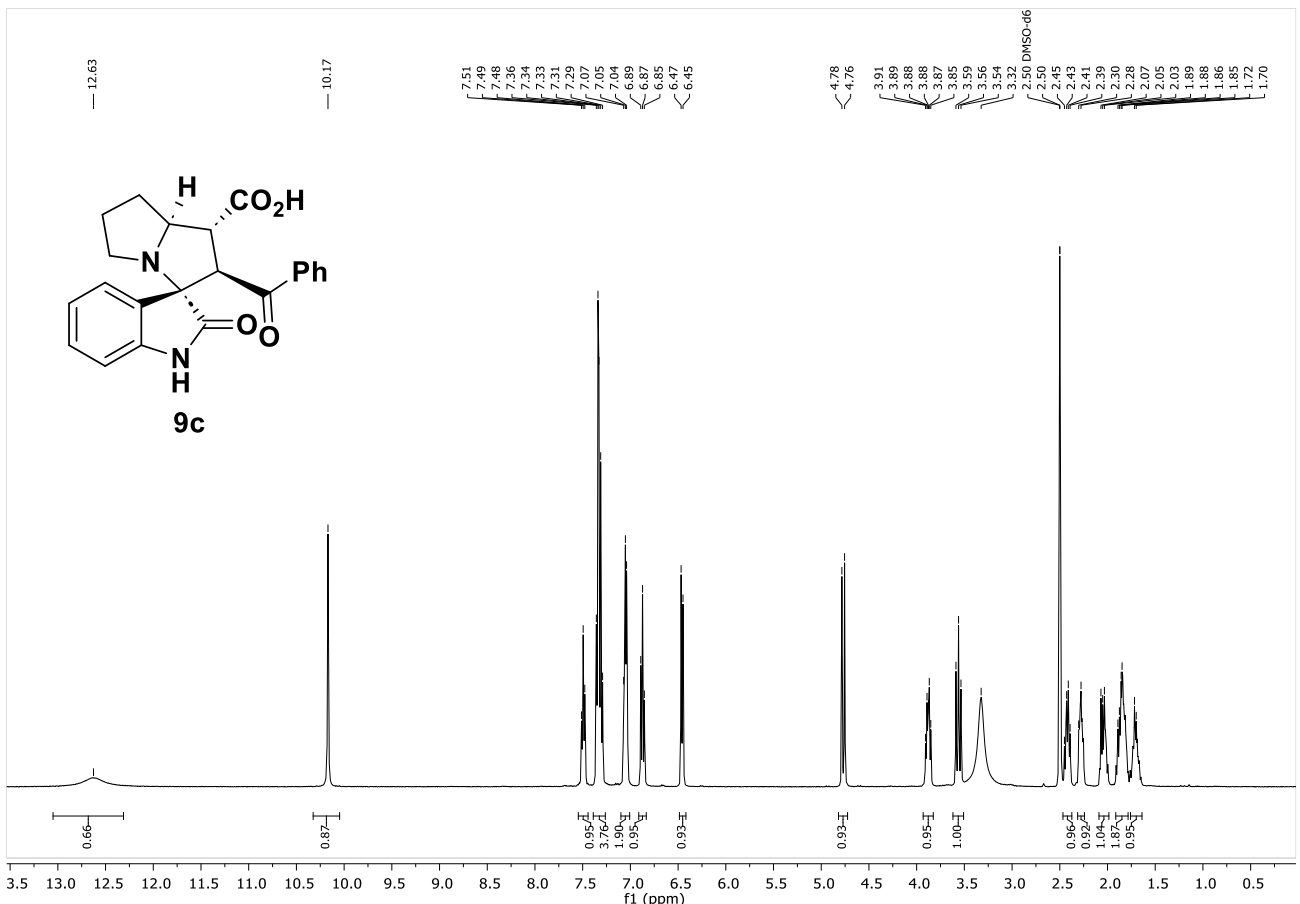


Figure S11. ¹H NMR spectra of compound **9c** recorded at 400 MHz in DMSO-*d*₆

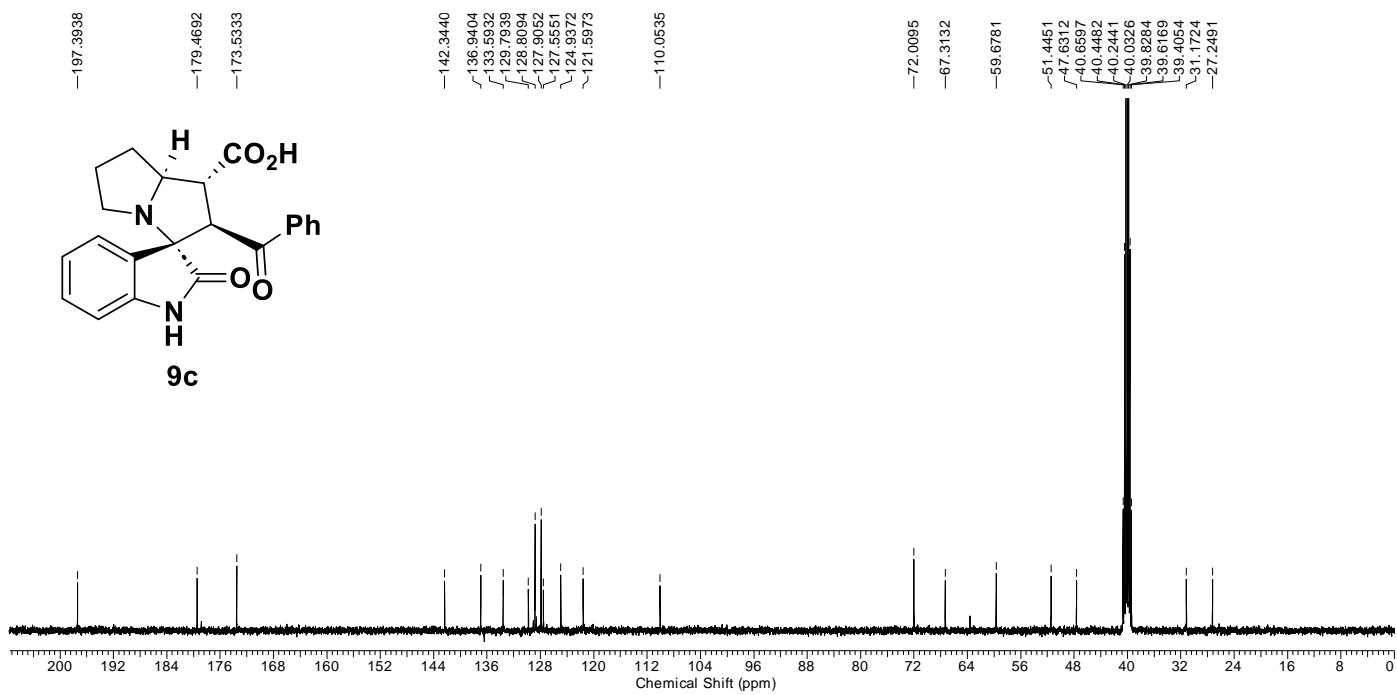


Figure S12. ¹³C NMR spectra of compound **9c** recorded at 100 MHz in DMSO-*d*₆

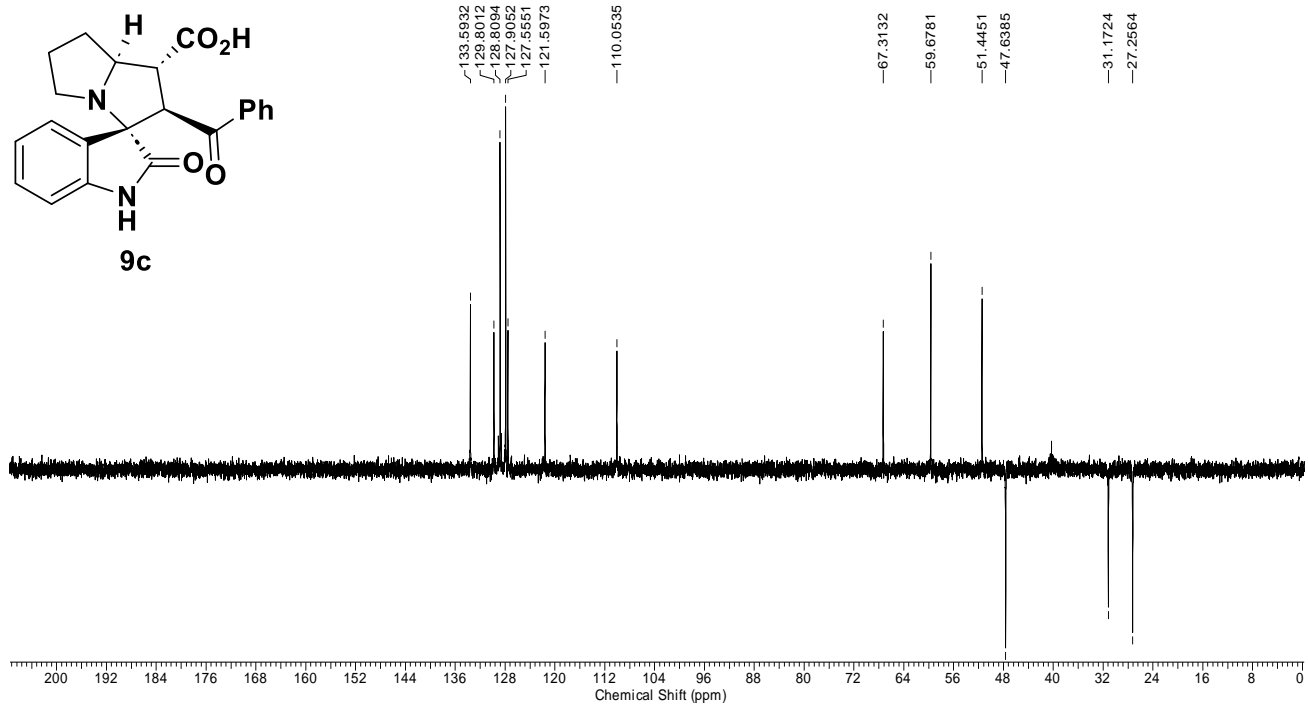


Figure S13. DEPT-135 experiment of compound **9c** in DMSO-*d*₆

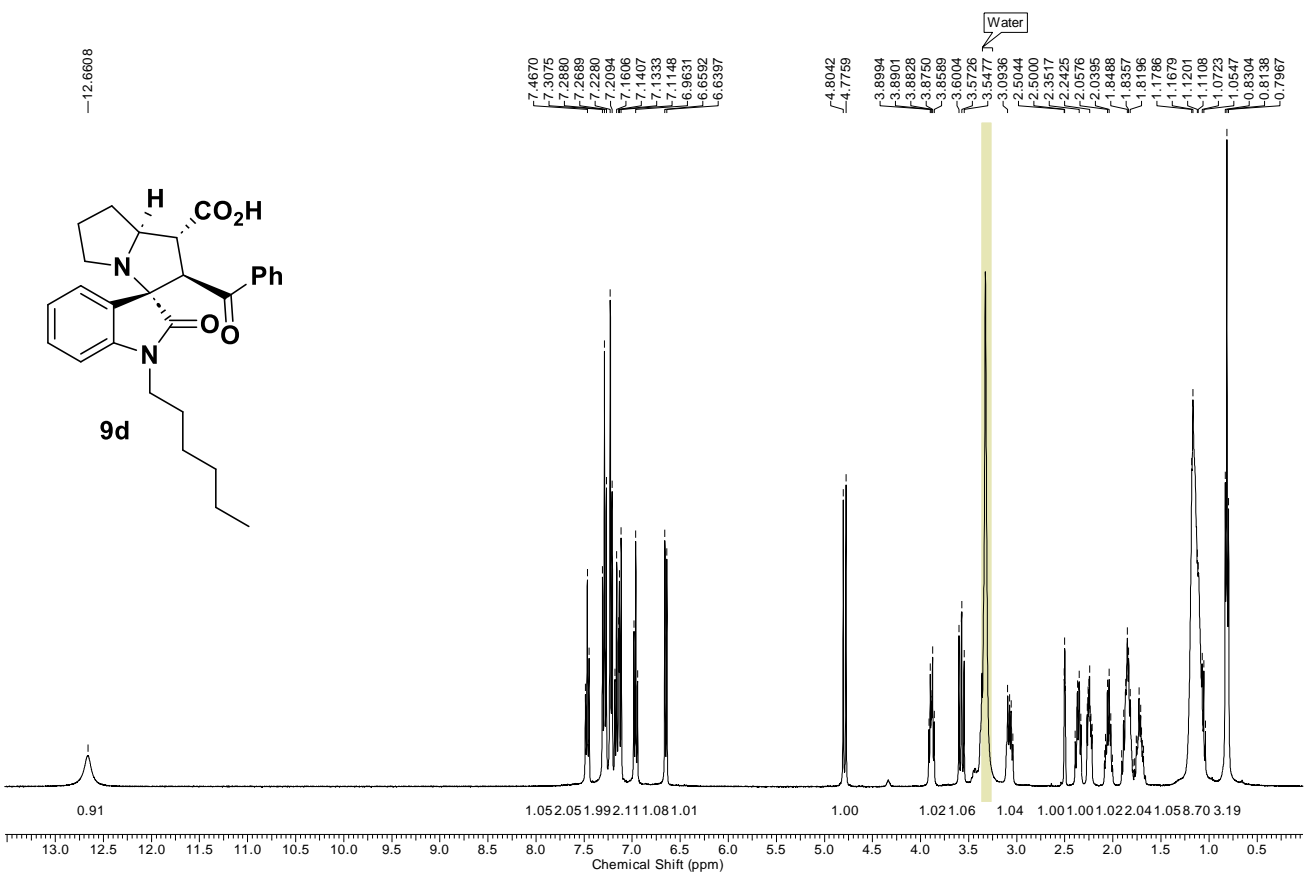


Figure S14. ^1H NMR spectra of compound **9d** recorded at 400 MHz in $\text{DMSO}-d_6$

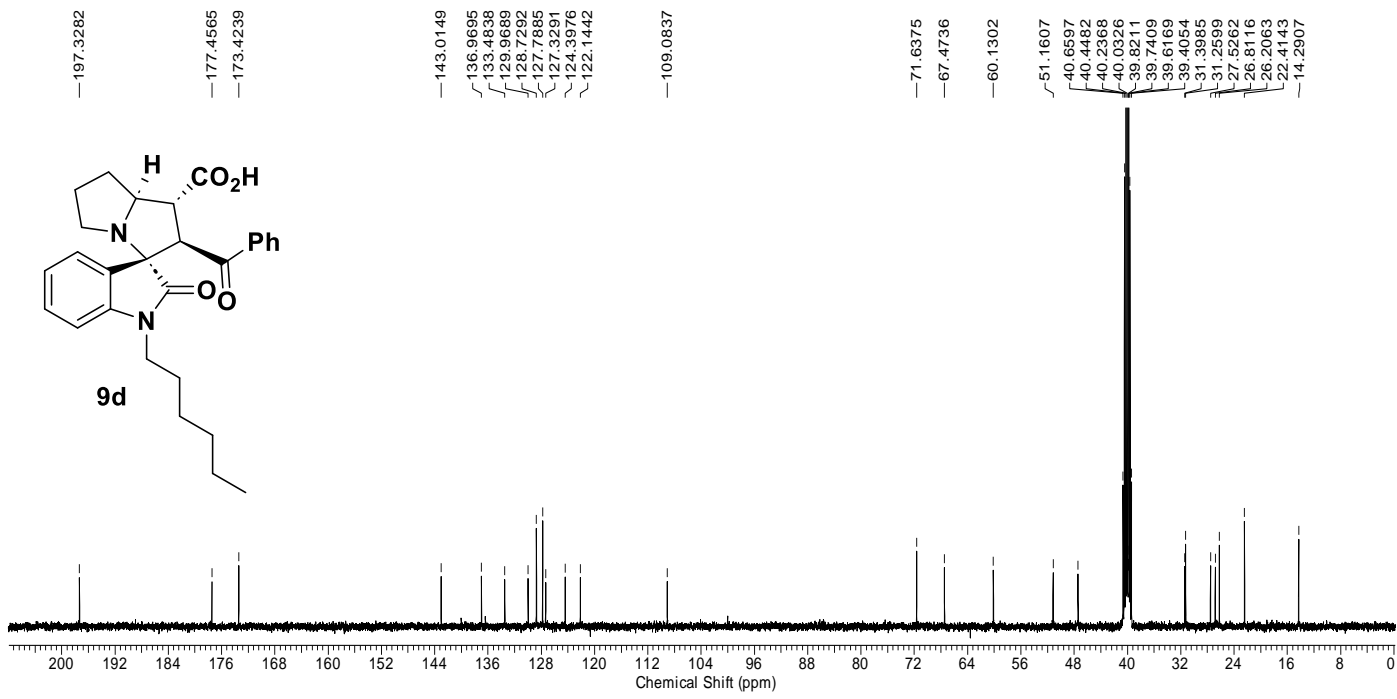


Figure S15. ¹³C NMR spectra of compound **9d** recorded at 100 MHz in DMSO-*d*₆

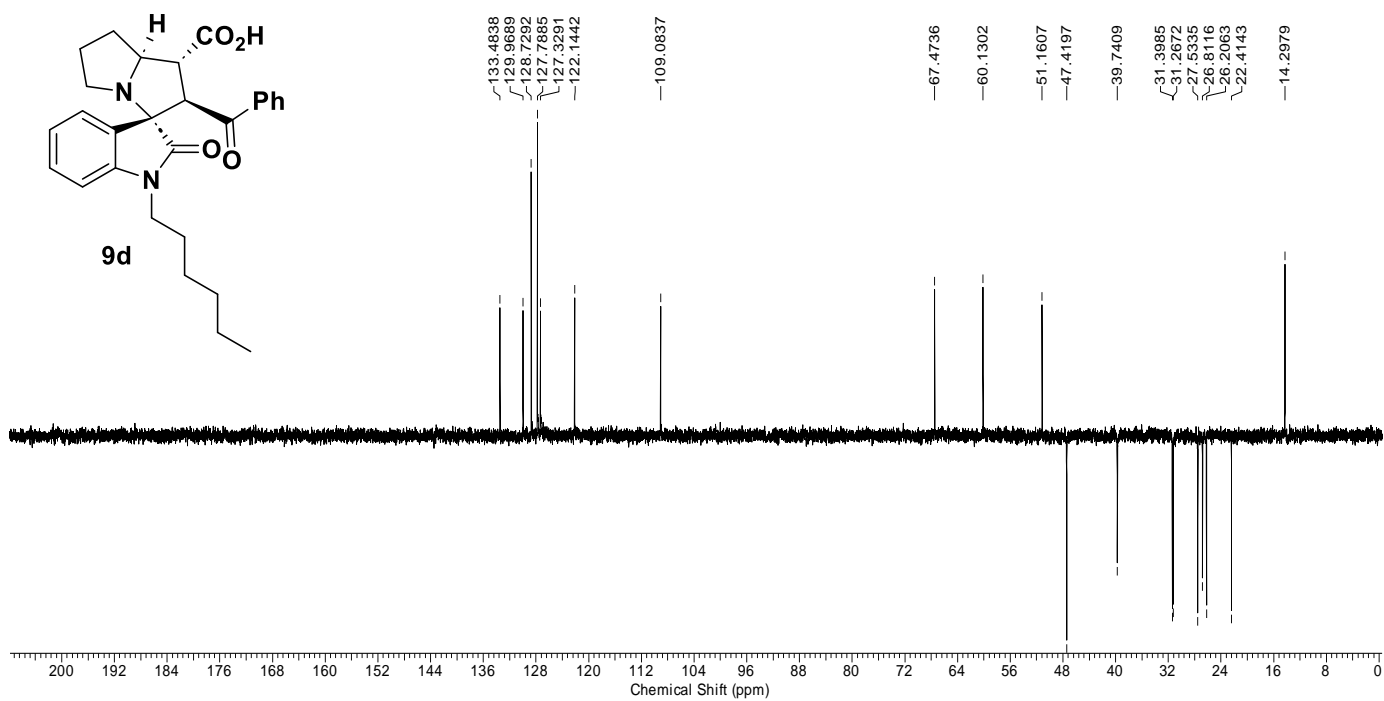


Figure S16. DEPT-135 experiment of compound **9d** in DMSO-*d*₆

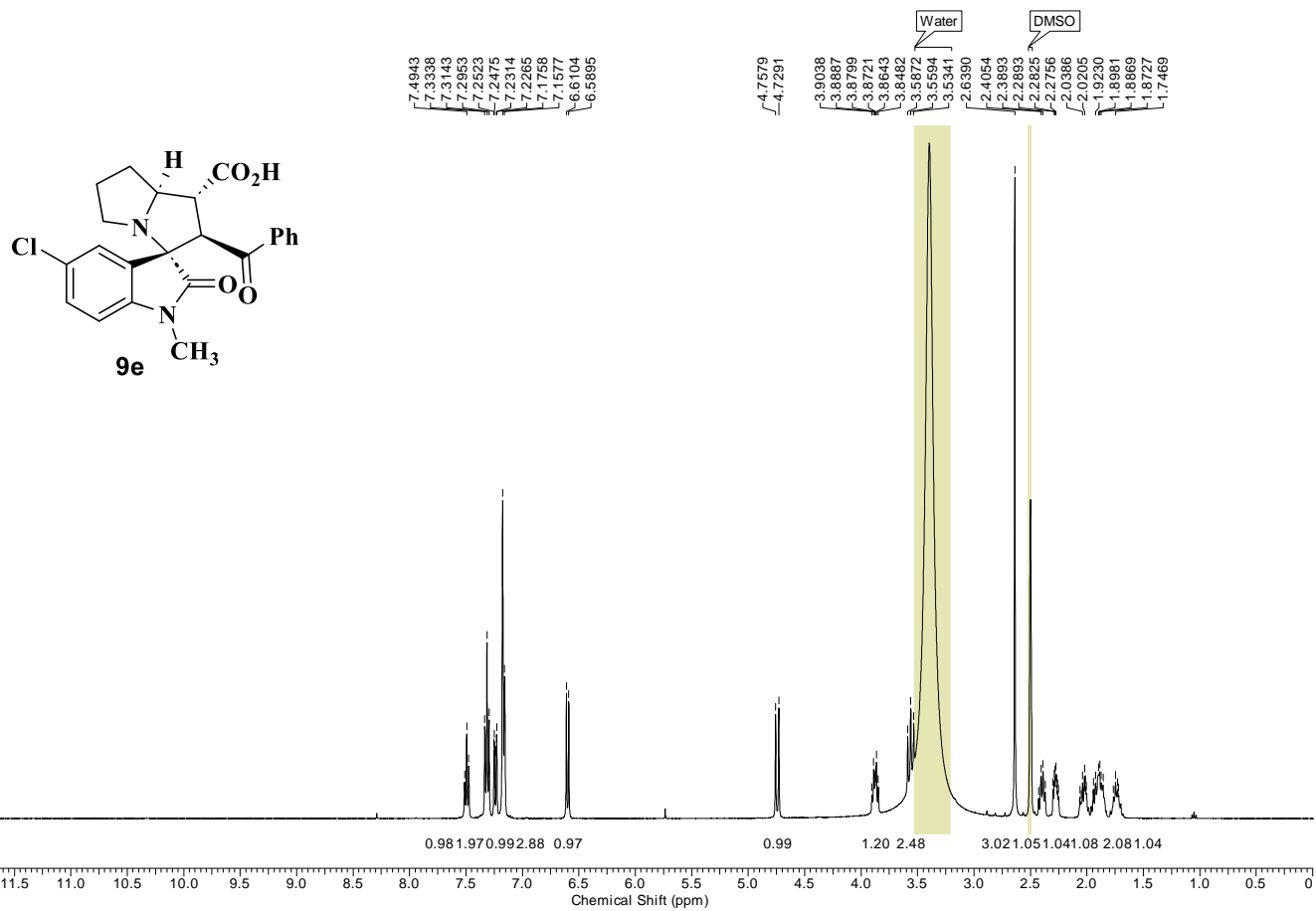


Figure S17. ^1H NMR spectra of compound **9e** recorded at 400 MHz in $\text{DMSO}-d_6$

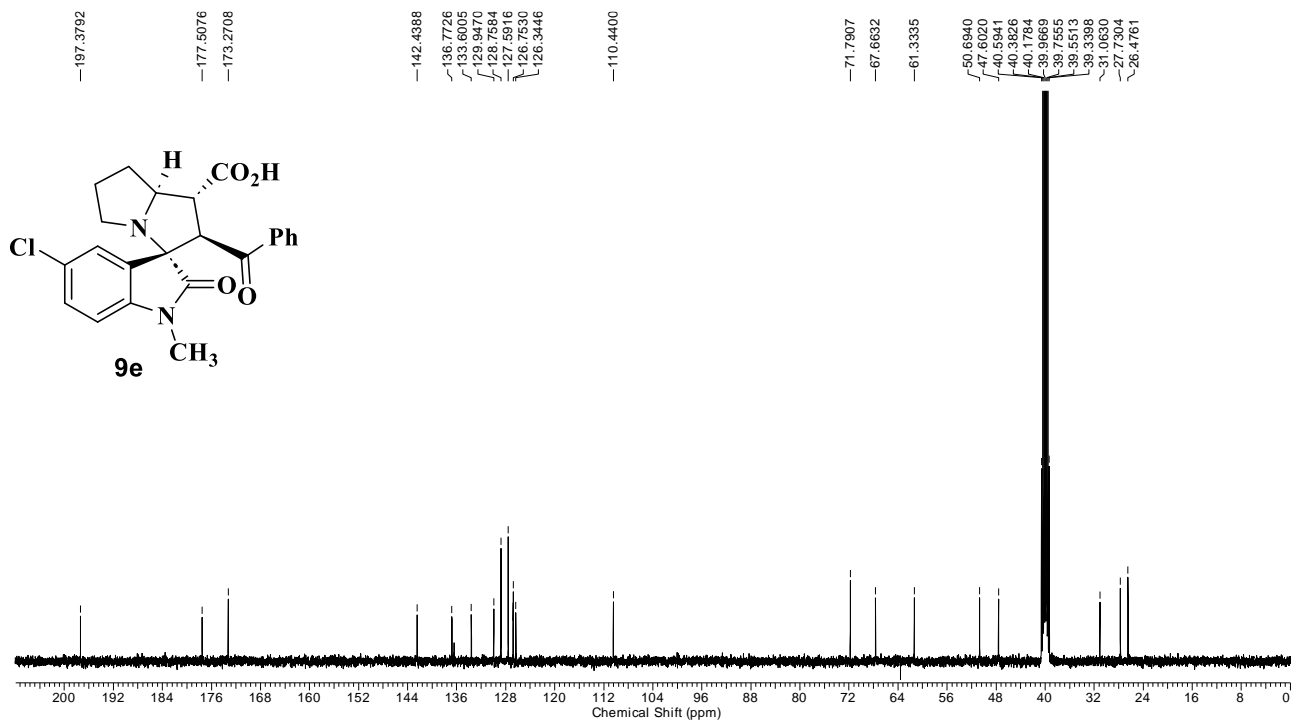


Figure S18. ¹³C NMR spectra of compound **9e** recorded at 100 MHz in DMSO-*d*₆

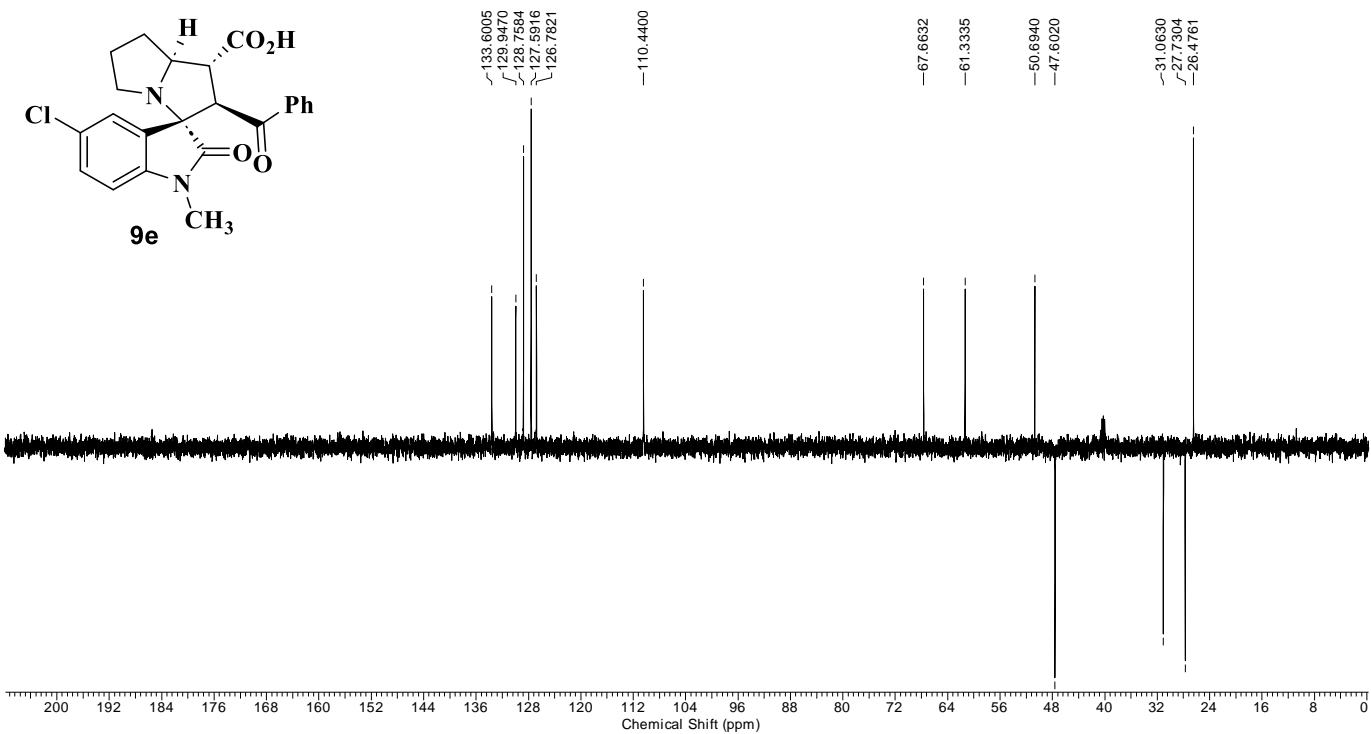


Figure S19. DEPT-135 experiment of compound **9e** in DMSO-*d*₆

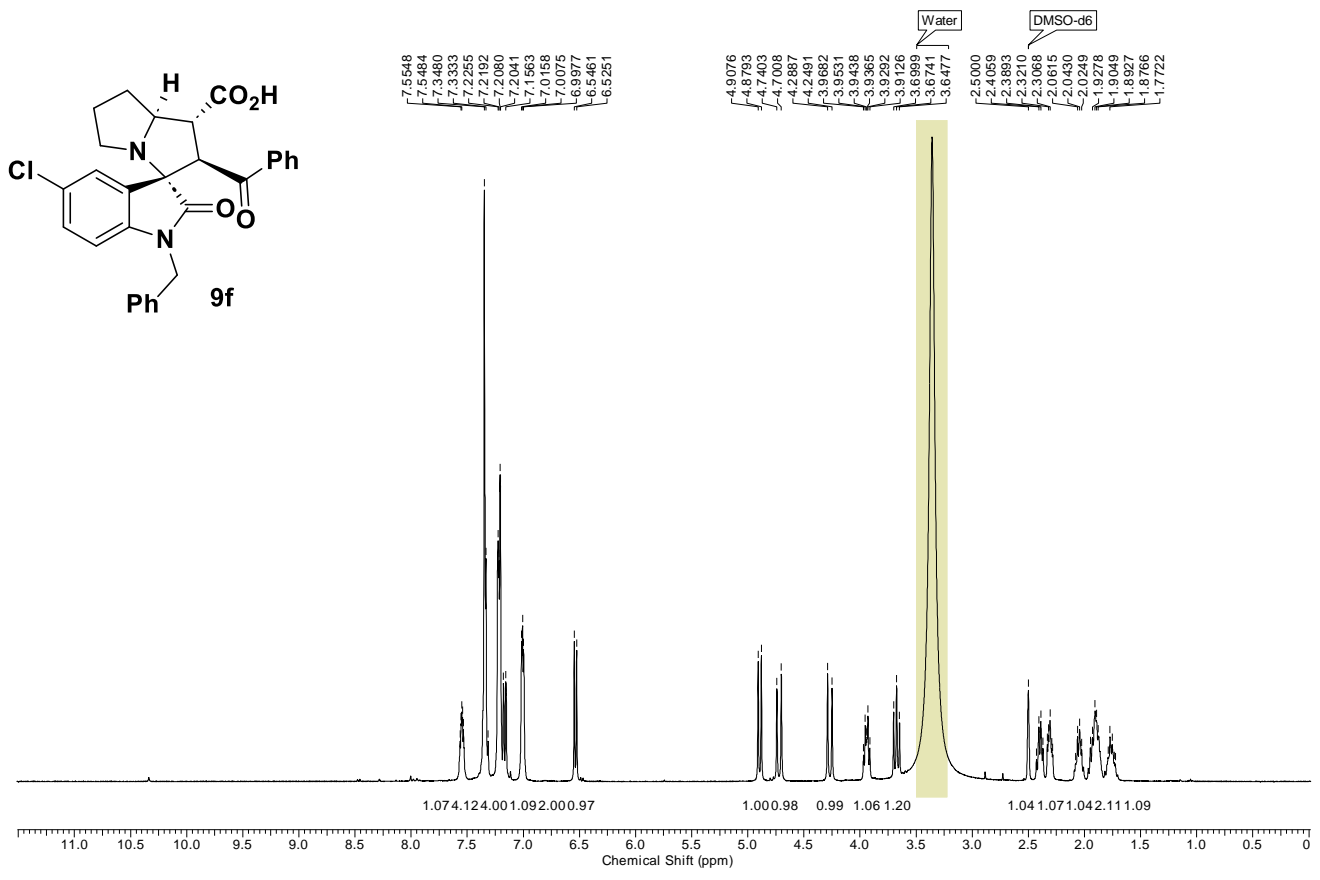


Figure S20. ^1H NMR spectra of compound **9f** recorded at 400 MHz in $\text{DMSO}-d_6$

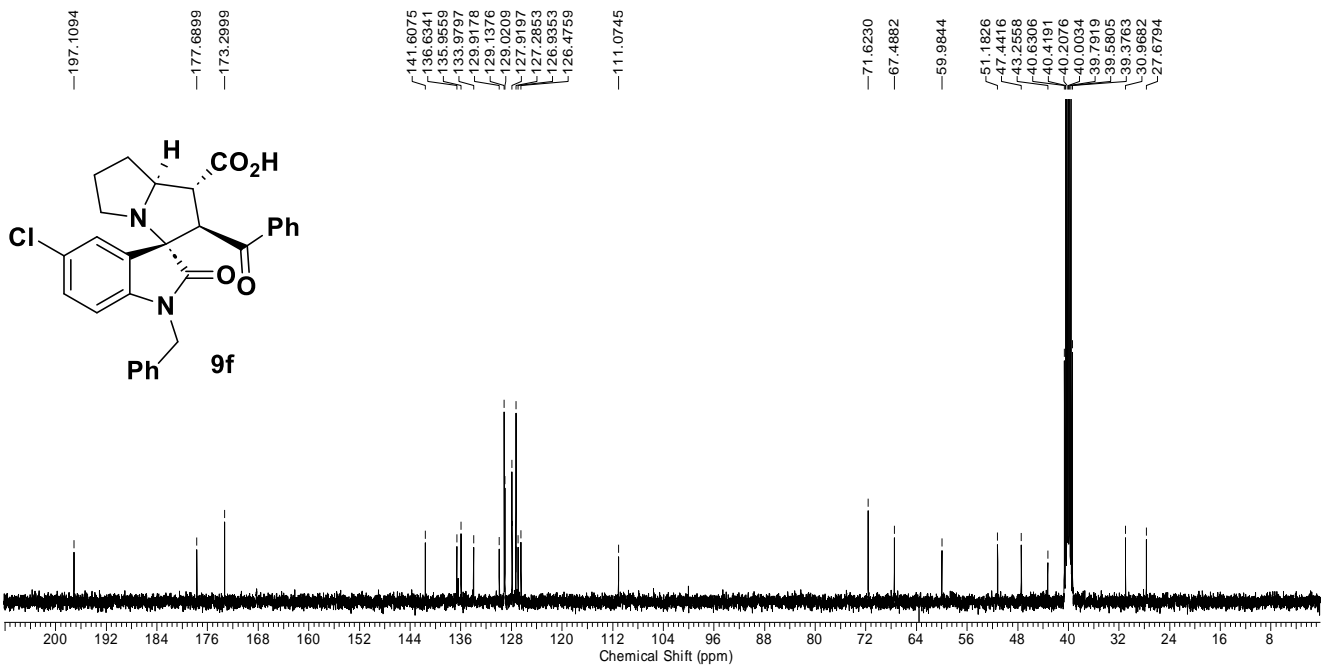


Figure S21. ^{13}C NMR spectra of compound **9f** recorded at 100 MHz in $\text{DMSO}-d_6$

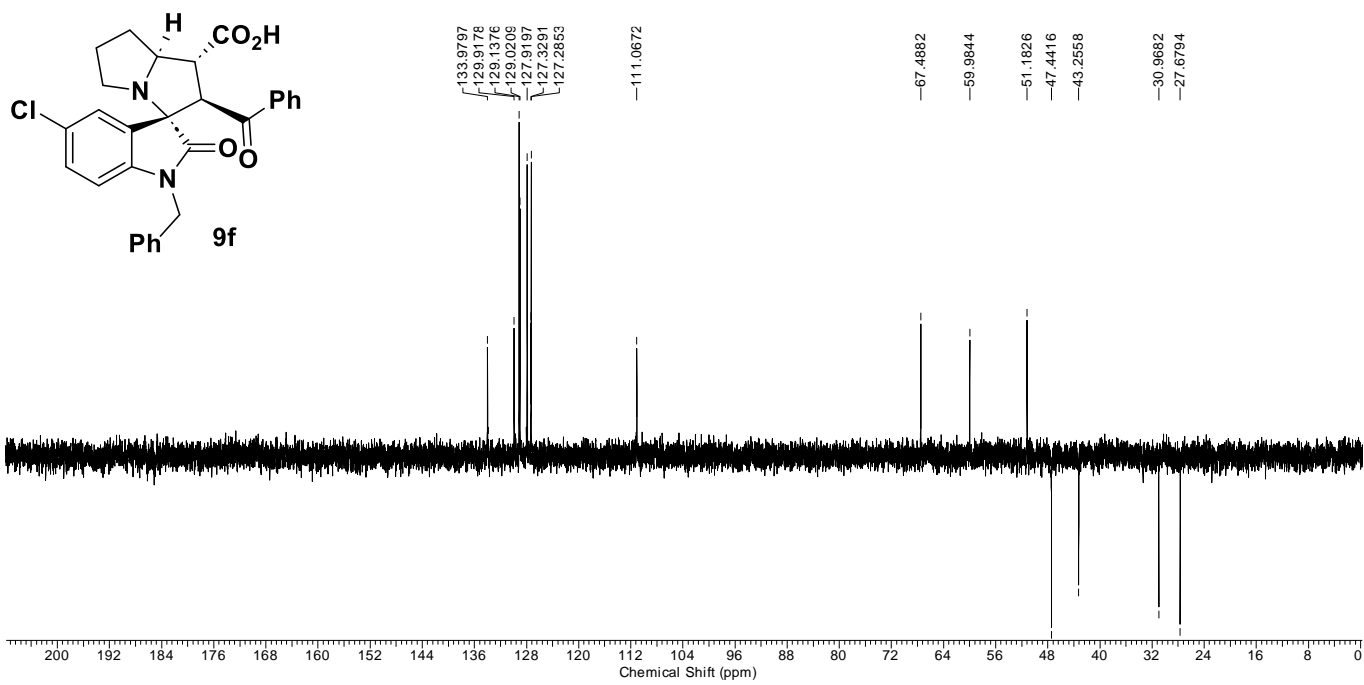


Figure S22. DEPT-135 experiment of compound **9f** in $\text{DMSO}-d_6$

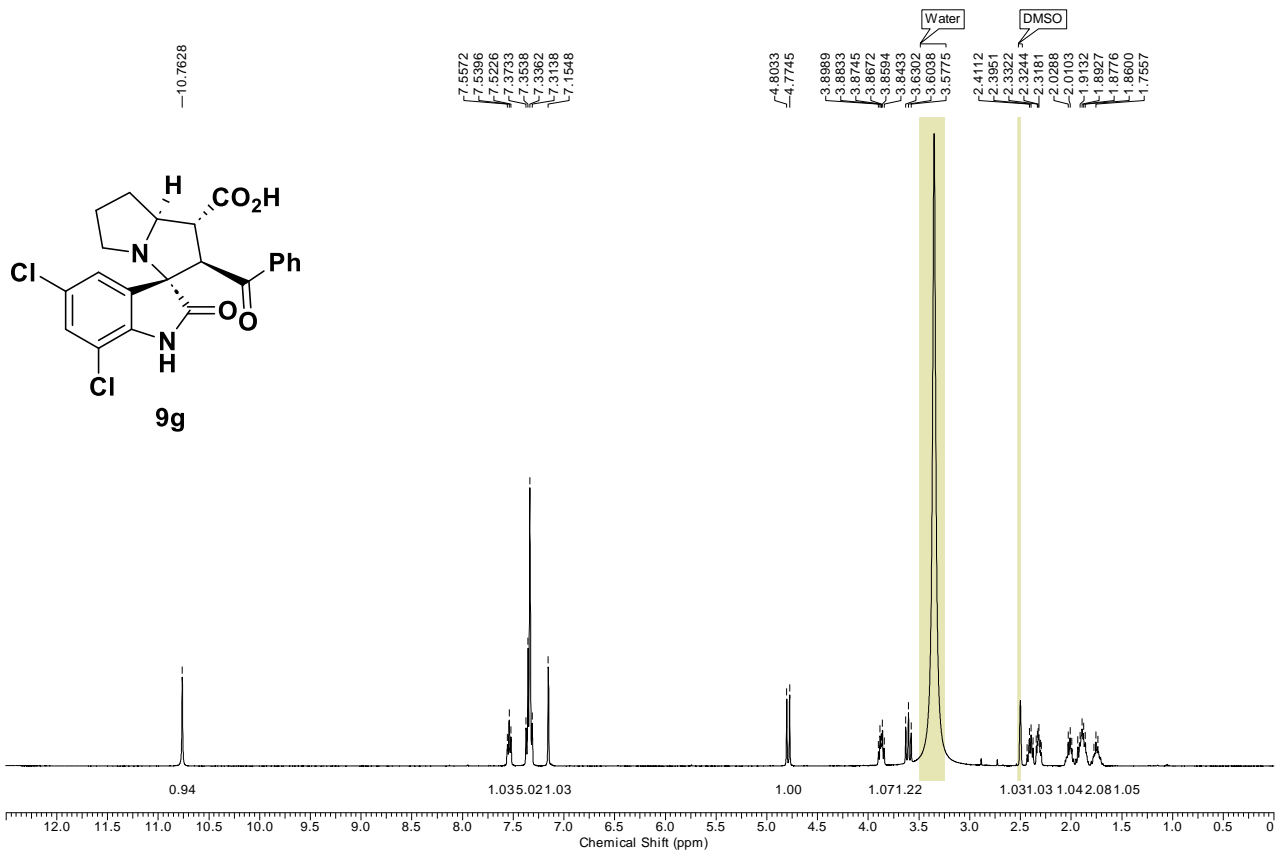


Figure S23. ¹H NMR spectra of compound **9g** recorded at 400 MHz in DMSO-*d*₆

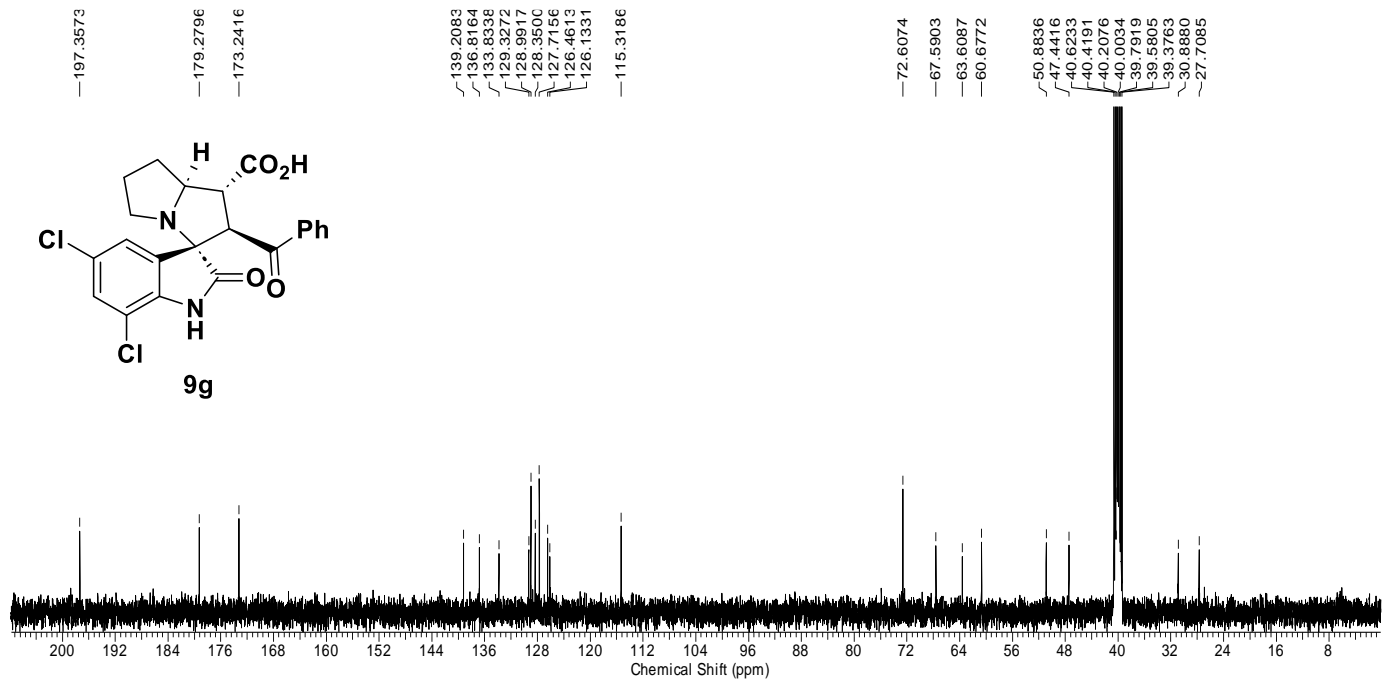


Figure S24. ^{13}C NMR spectra of compound **9g** recorded at 100 MHz in $\text{DMSO}-d_6$

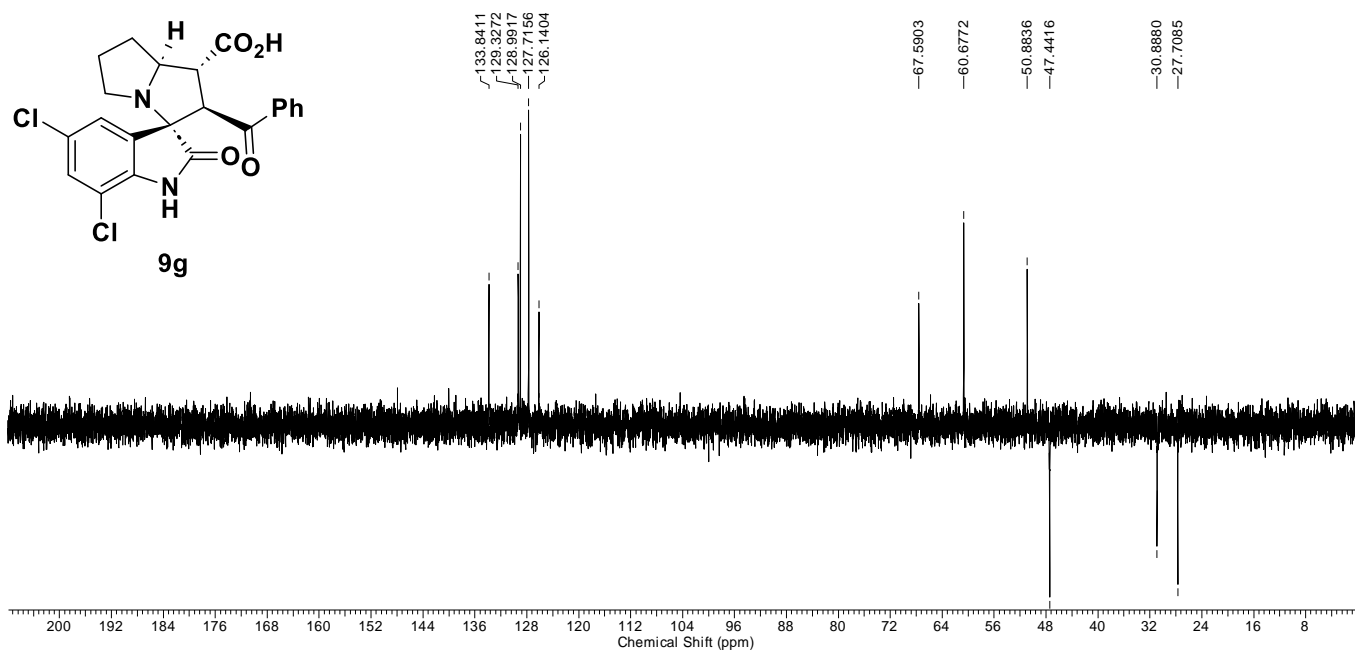


Figure S25. DEPT-135 experiment of compound **9g** in $\text{DMSO}-d_6$

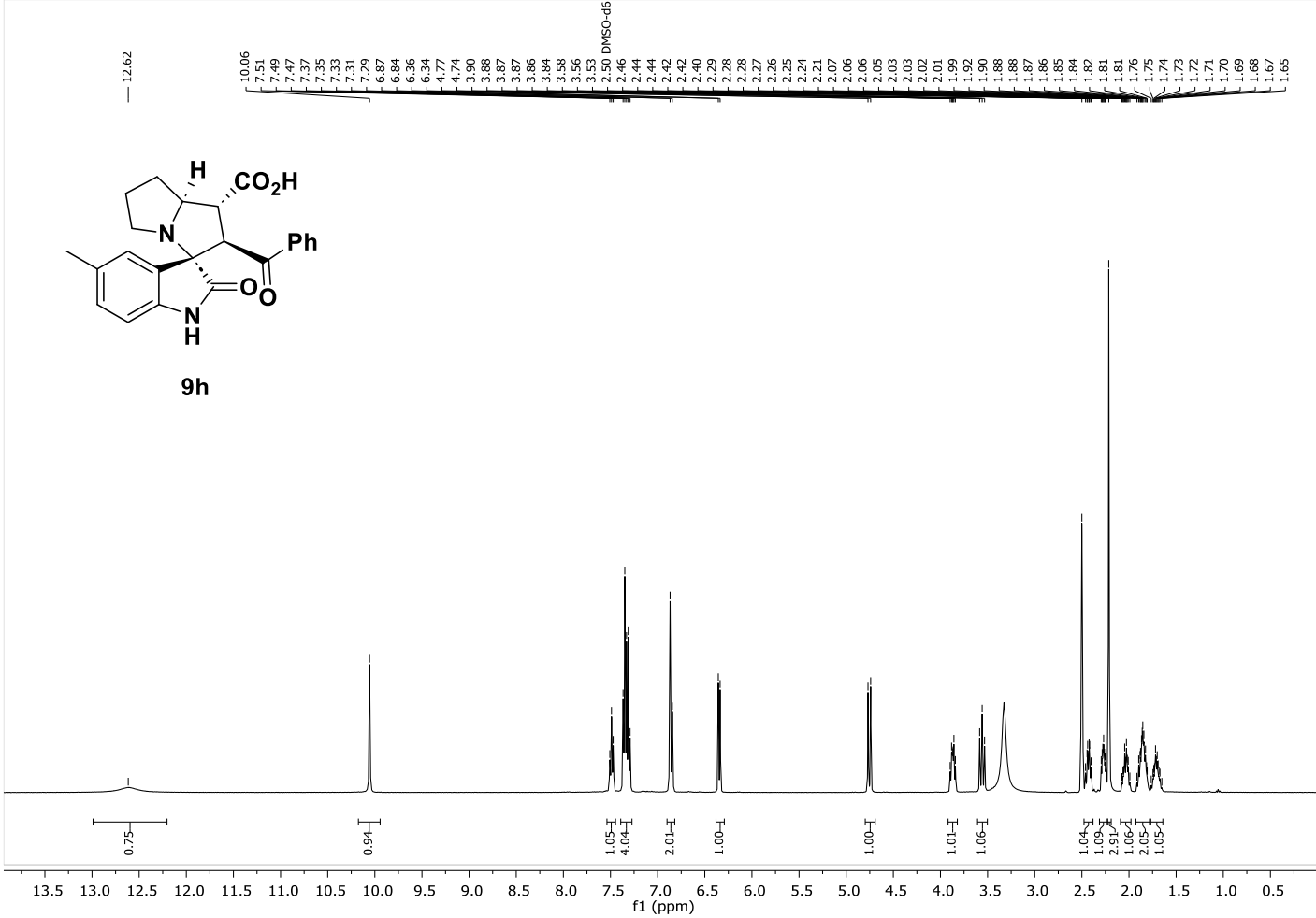


Figure S26. ¹H NMR spectra of compound **9h** recorded at 400 MHz in DMSO-*d*₆

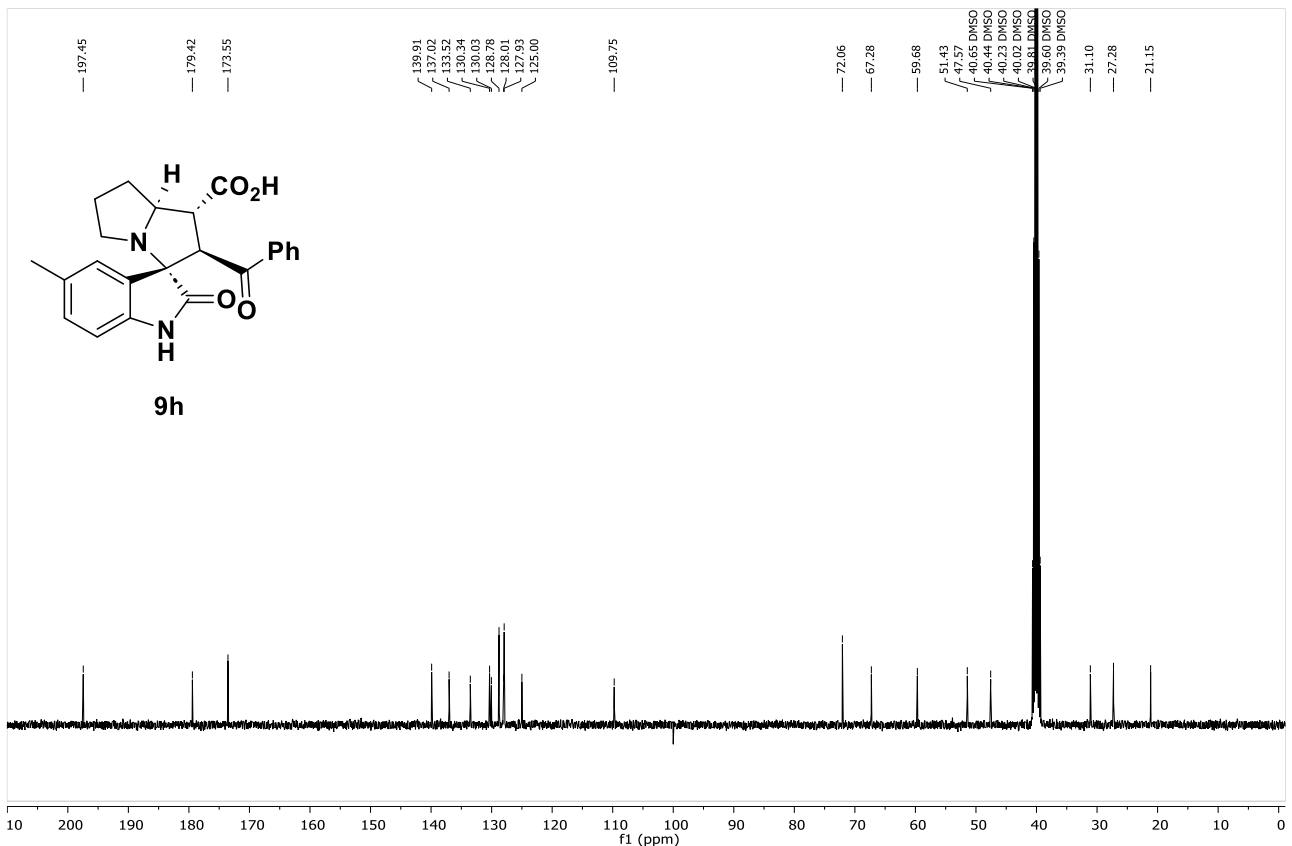


Figure S27. ^{13}C NMR spectra of compound **9h** recorded at 100 MHz in $\text{DMSO}-d_6$

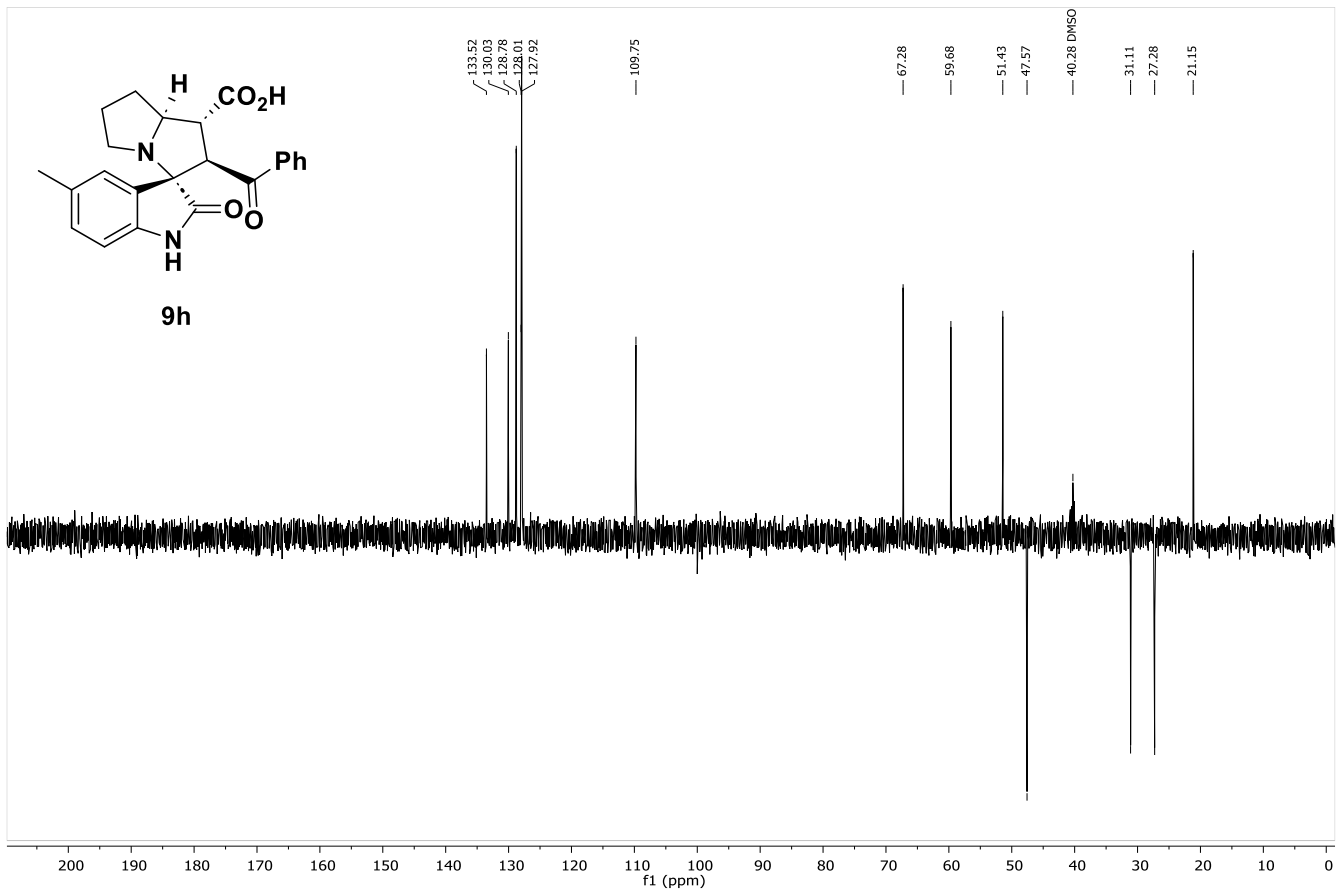


Figure S28. DEPT-135 experiment of compound **9h** in $\text{DMSO}-d_6$

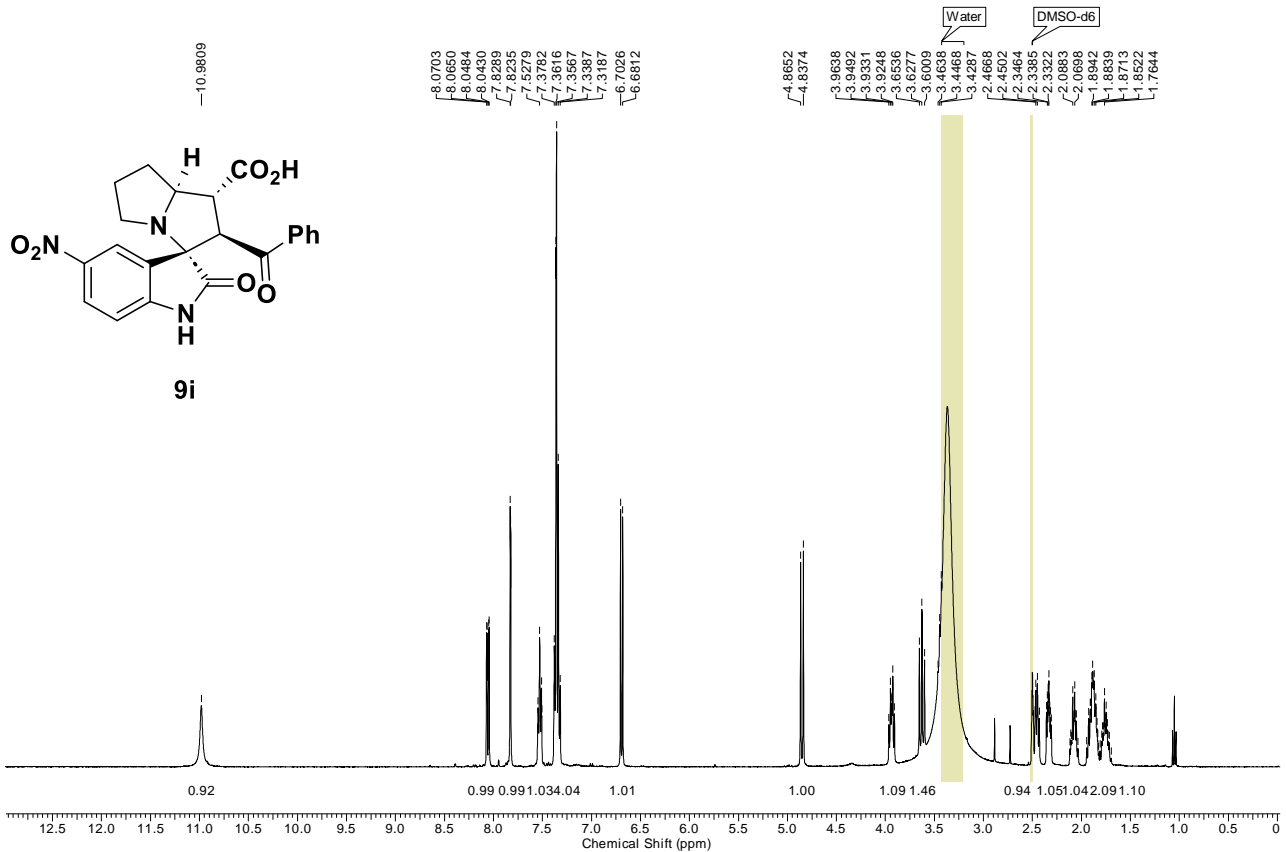


Figure S29. ¹H NMR spectra of compound **9i** recorded at 400 MHz in DMSO-d₆

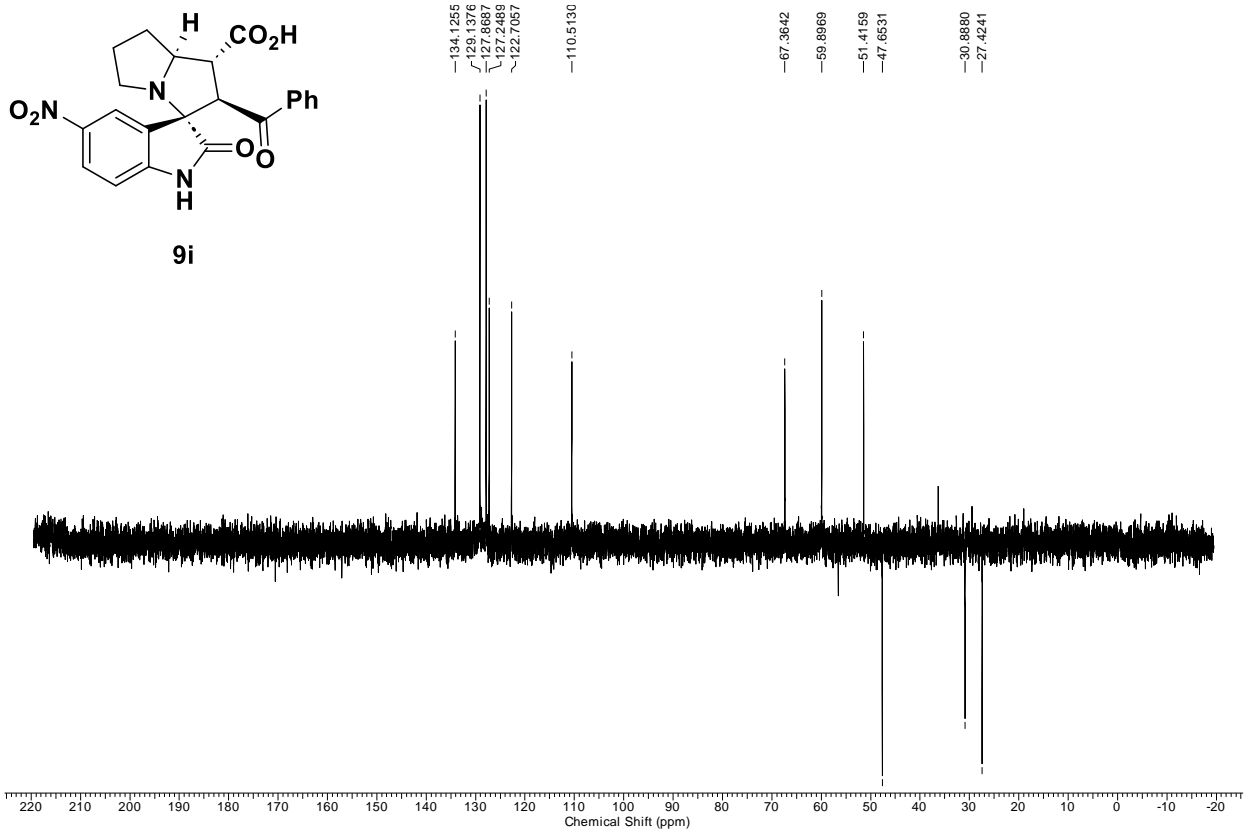


Figure S30. DEPT-135 experiment of compound **9i** in $\text{DMSO}-d_6$

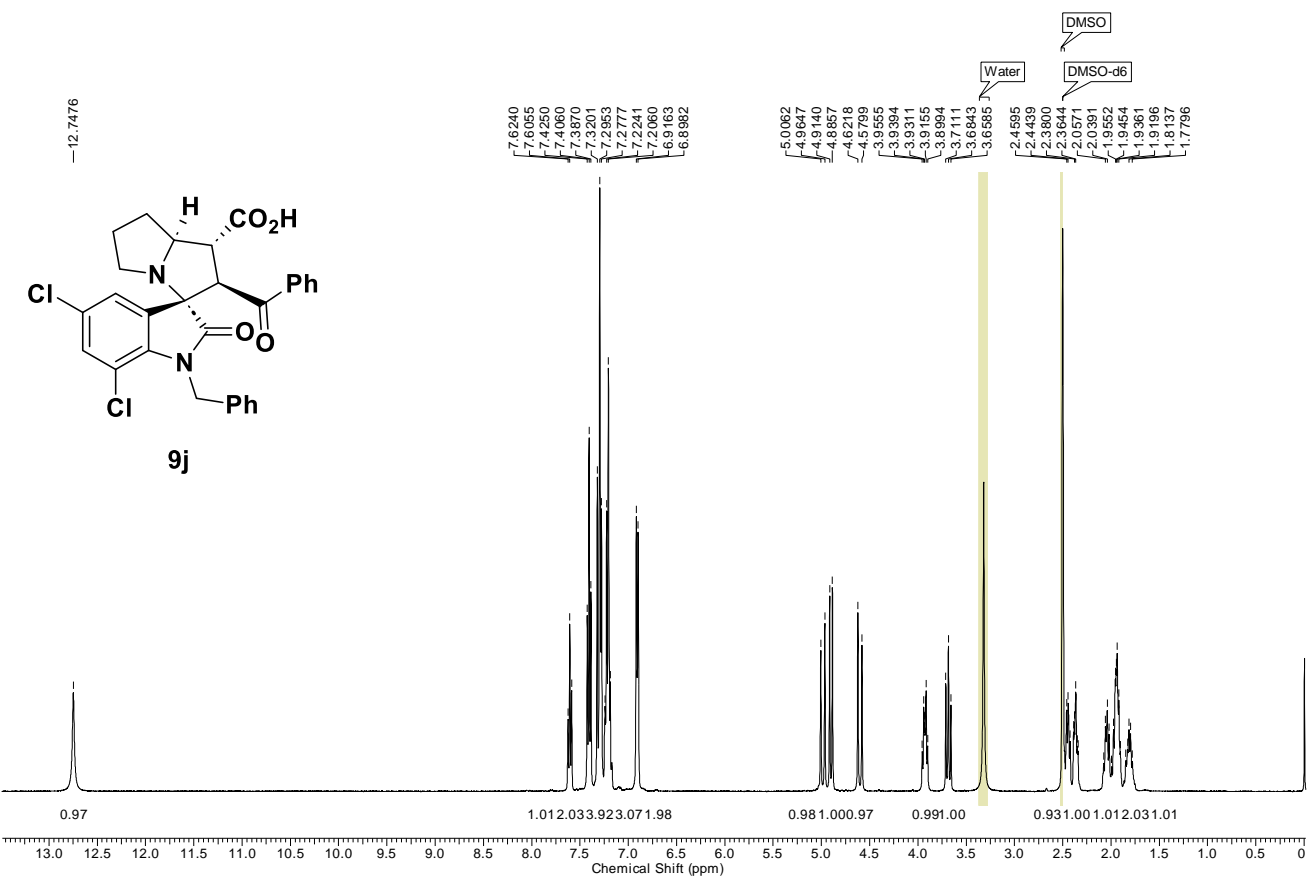


Figure S31. ^1H NMR spectra of compound **9j** recorded at 400 MHz in $\text{DMSO}-d_6$

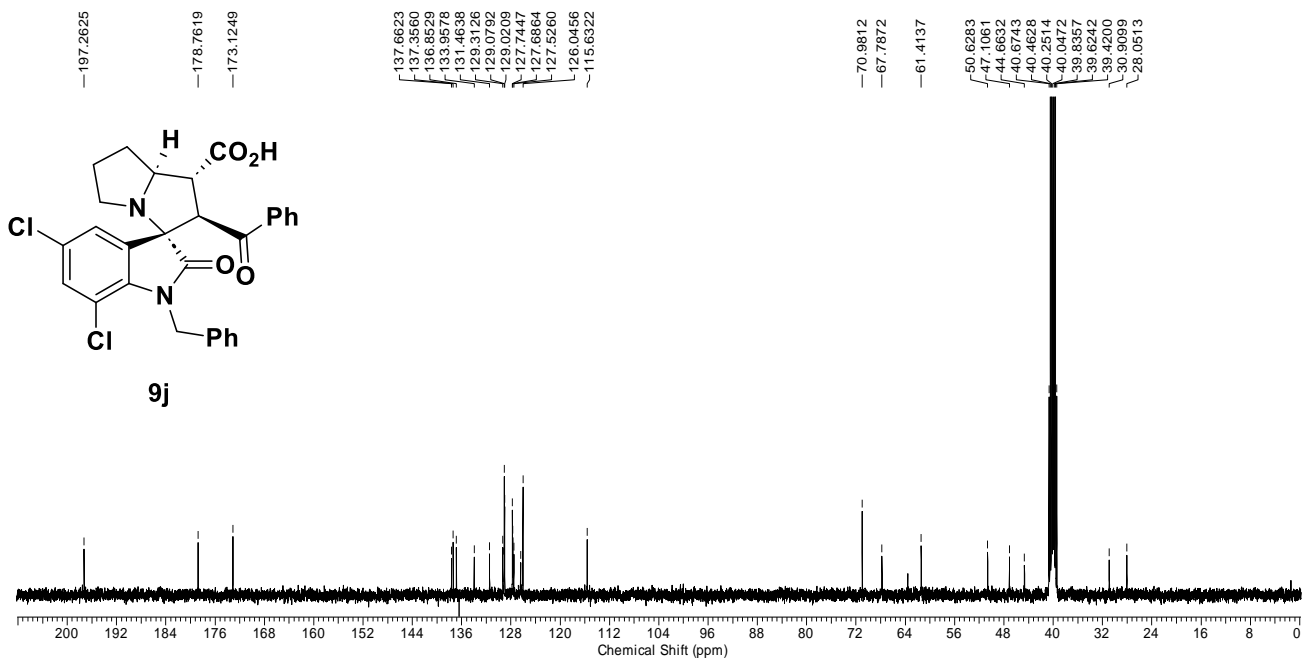


Figure S32. ^{13}C NMR spectra of compound **9j** recorded at 100 MHz in $\text{DMSO}-d_6$

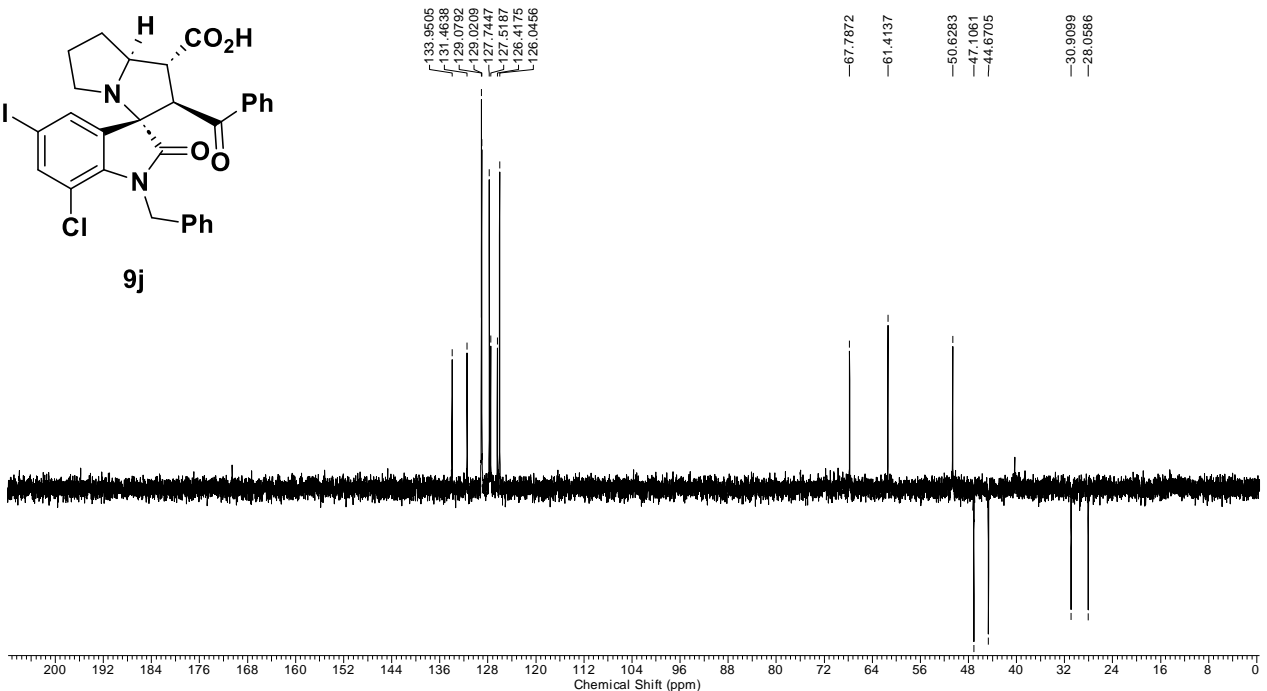
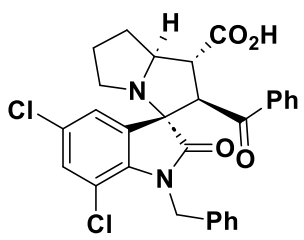


Figure S33. DEPT-135 experiment of compound **9j** in $\text{DMSO}-d_6$

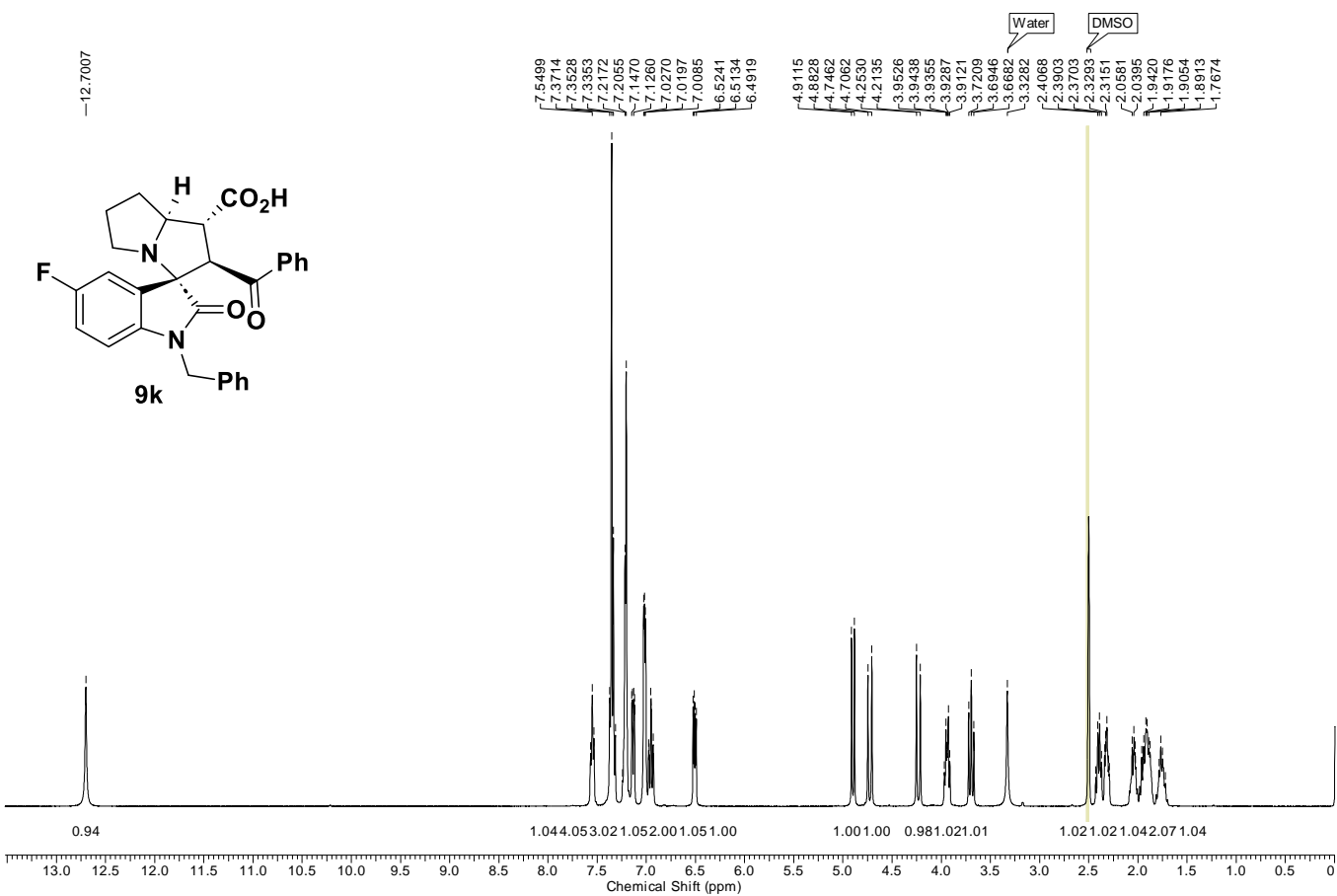


Figure S34. ¹H NMR spectra of compound **9k** recorded at 400 MHz in DMSO-*d*₆

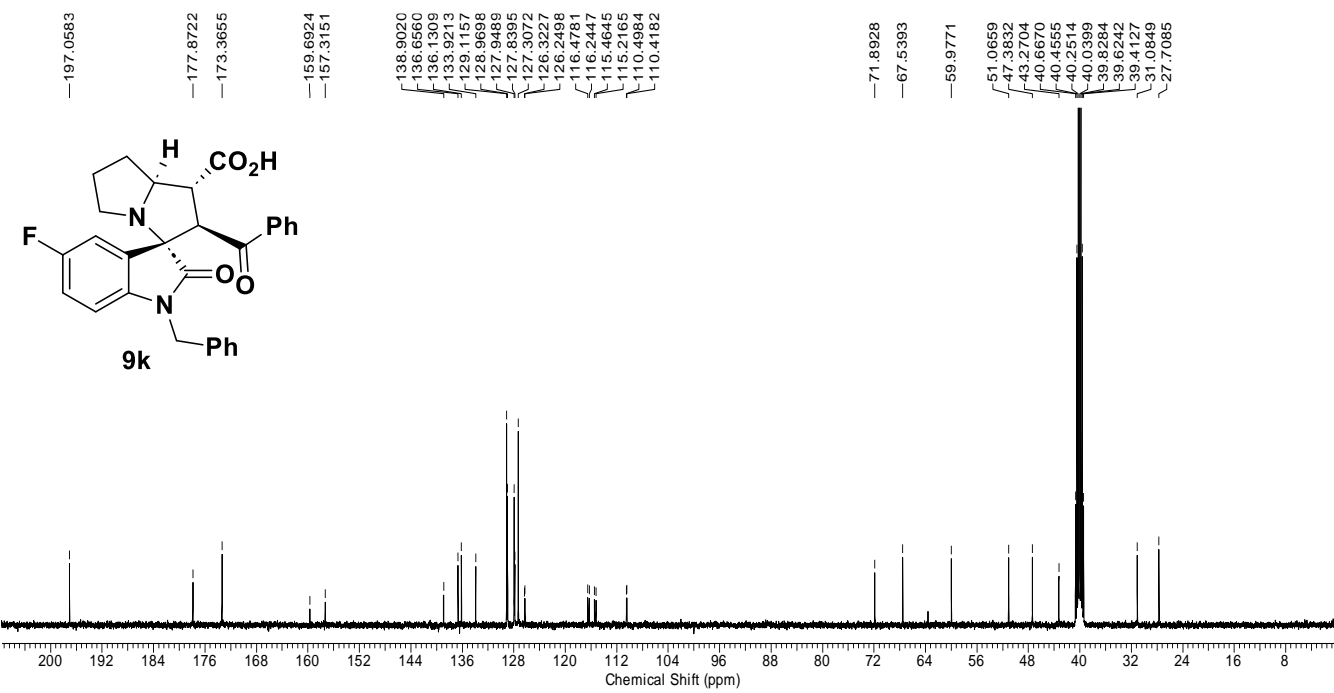


Figure S35. ¹³C NMR spectra of compound **9k** recorded at 100 MHz in DMSO-*d*₆

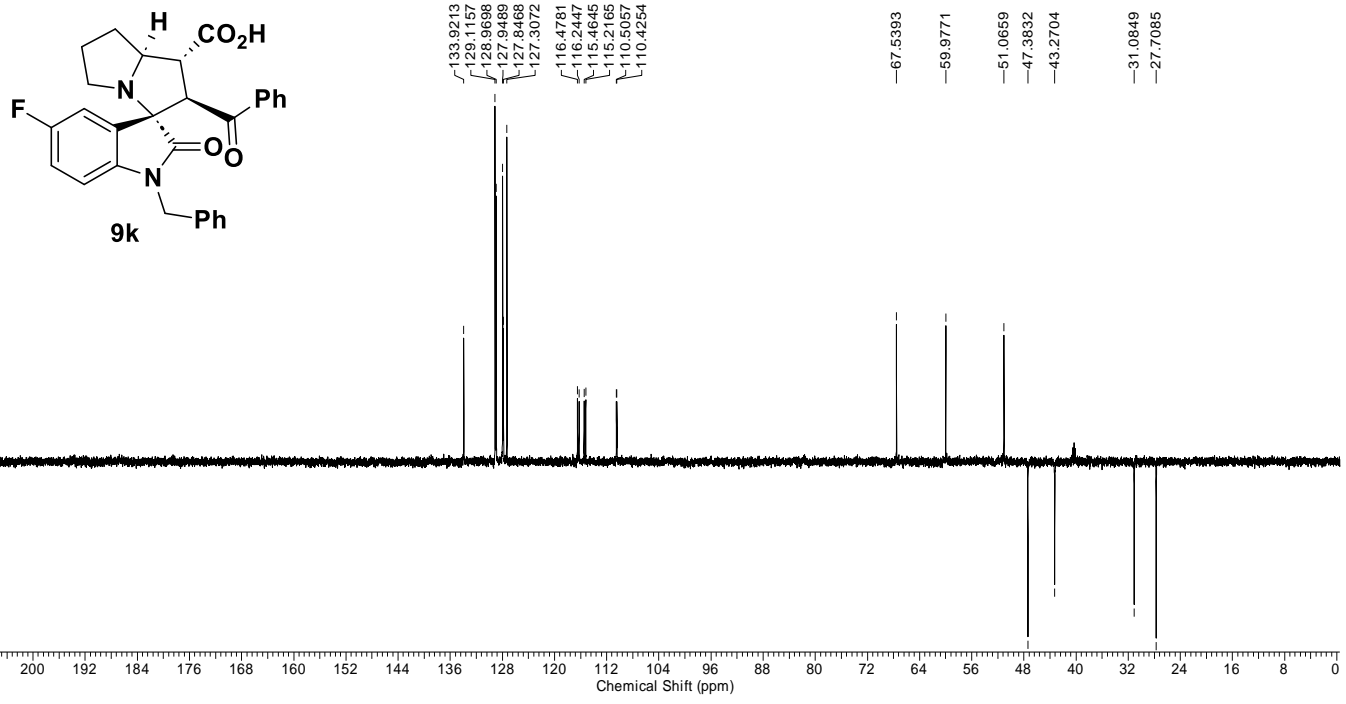


Figure S36. DEPT-135 experiment of compound **9k** in $\text{DMSO}-d_6$

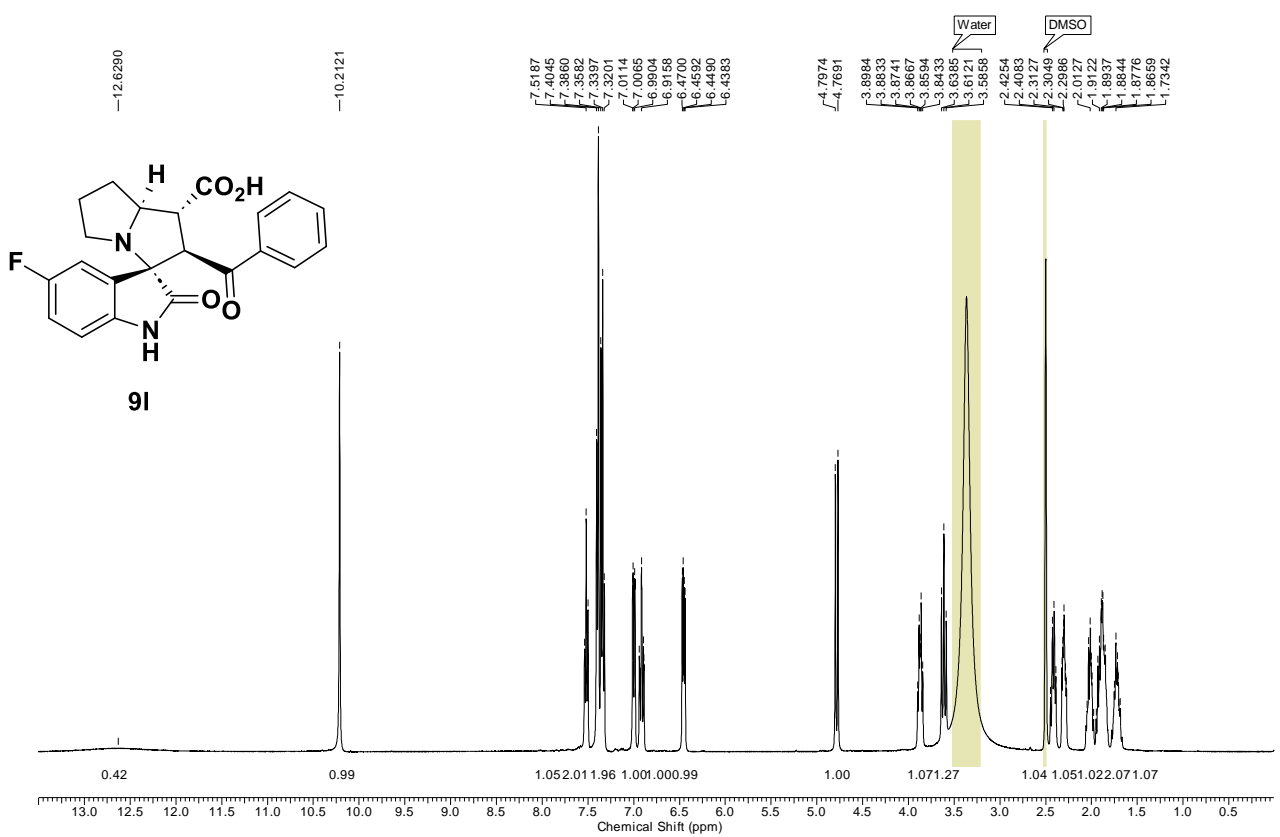


Figure S37. ^1H NMR spectra of compound **9I** recorded at 400 MHz in $\text{DMSO}-d_6$

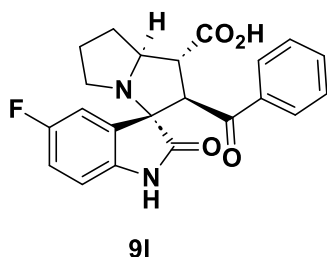
—197.2479

—179.4619

—173.4385

—159.1091

—156.7463



—138.5301
—136.7945
—133.7974
—128.9334
—127.9489
—126.7238
—126.6509
—116.4416
—116.2083
—115.3186
—115.0779
—110.8484
—110.7682

—72.3230

—67.4080

—59.7875

—51.1534
—47.4853
—40.6233
—40.4191
—40.2076
—39.9861
—39.7919
—39.5805
—39.3763
—31.0338
—27.5189

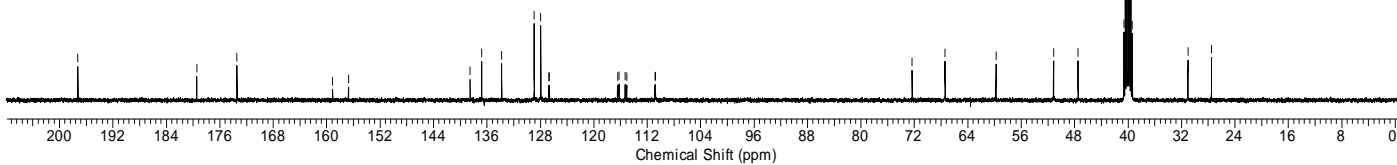


Figure S38. ^{13}C NMR spectra of compound **9l** recorded at 100 MHz in $\text{DMSO}-d_6$

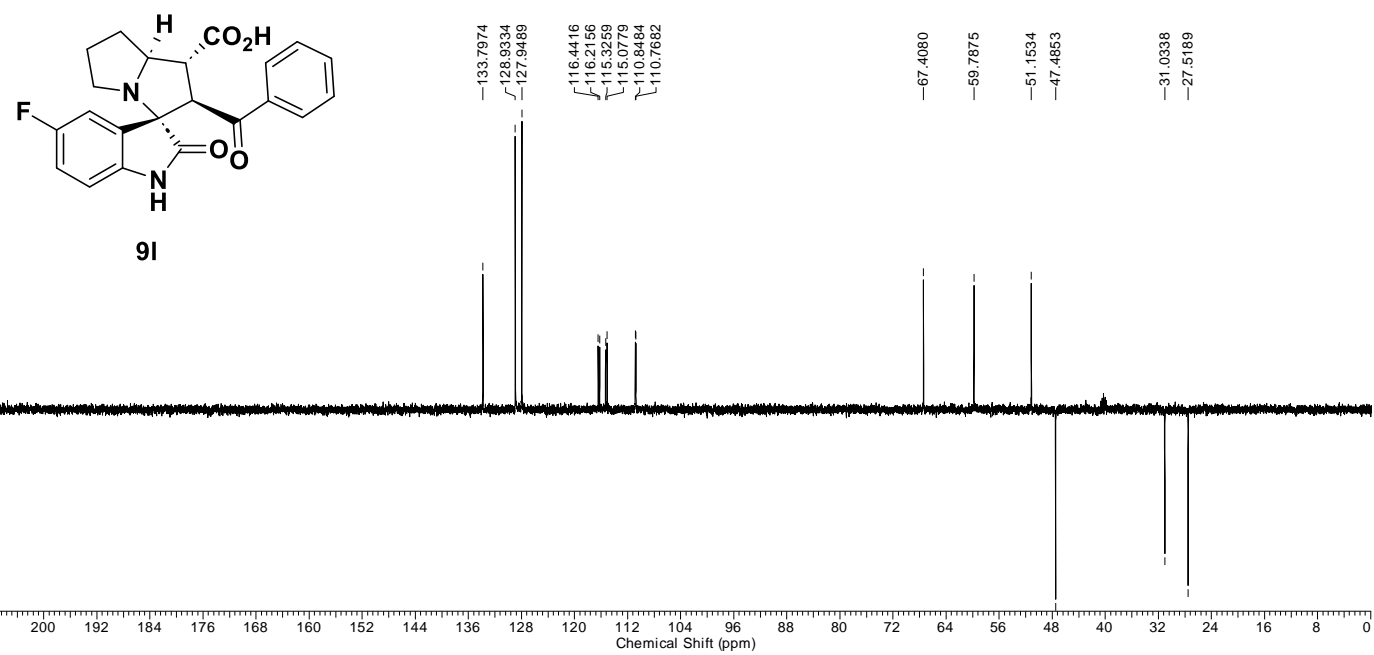


Figure S39. DEPT-135 experiment of compound **9l** in $\text{DMSO}-d_6$

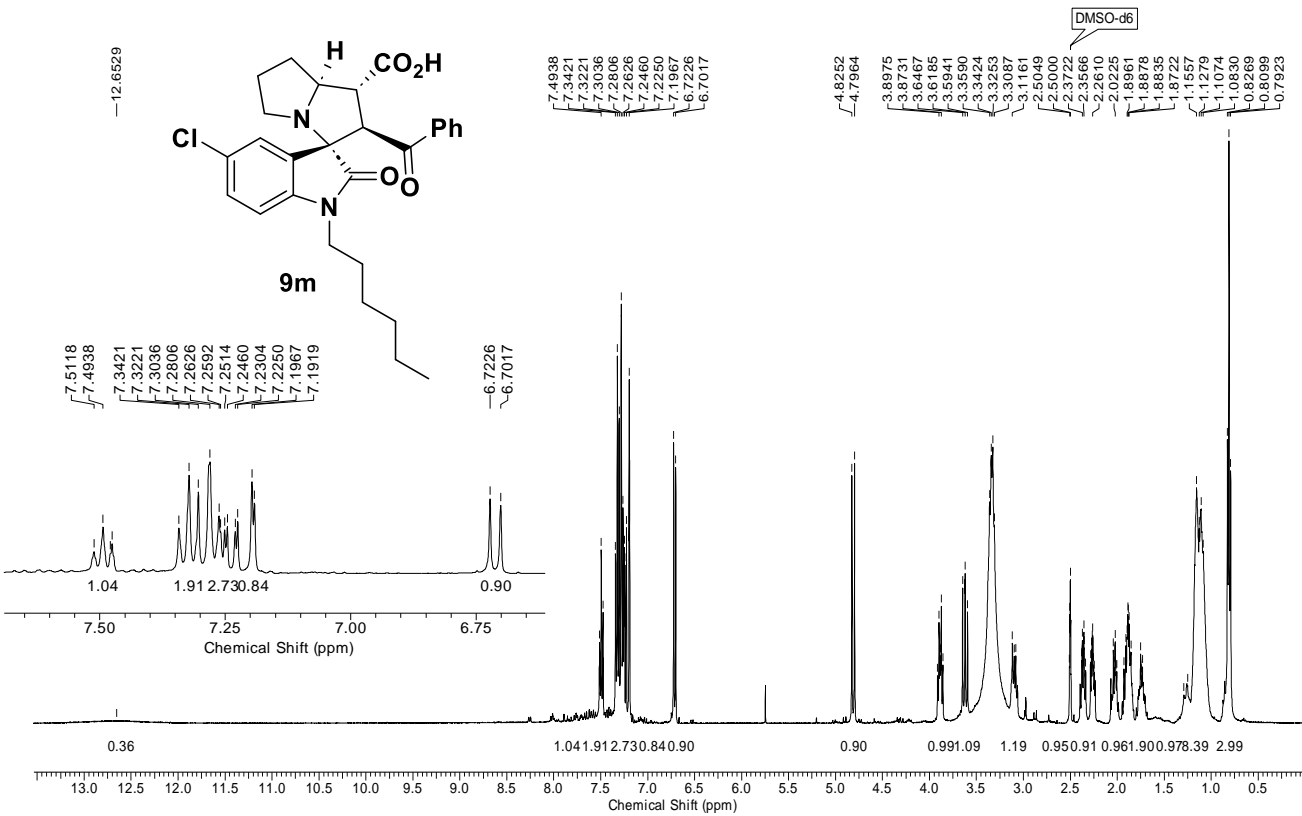


Figure S40. ¹H NMR spectra of compound **9m** recorded at 400 MHz in DMSO-d₆

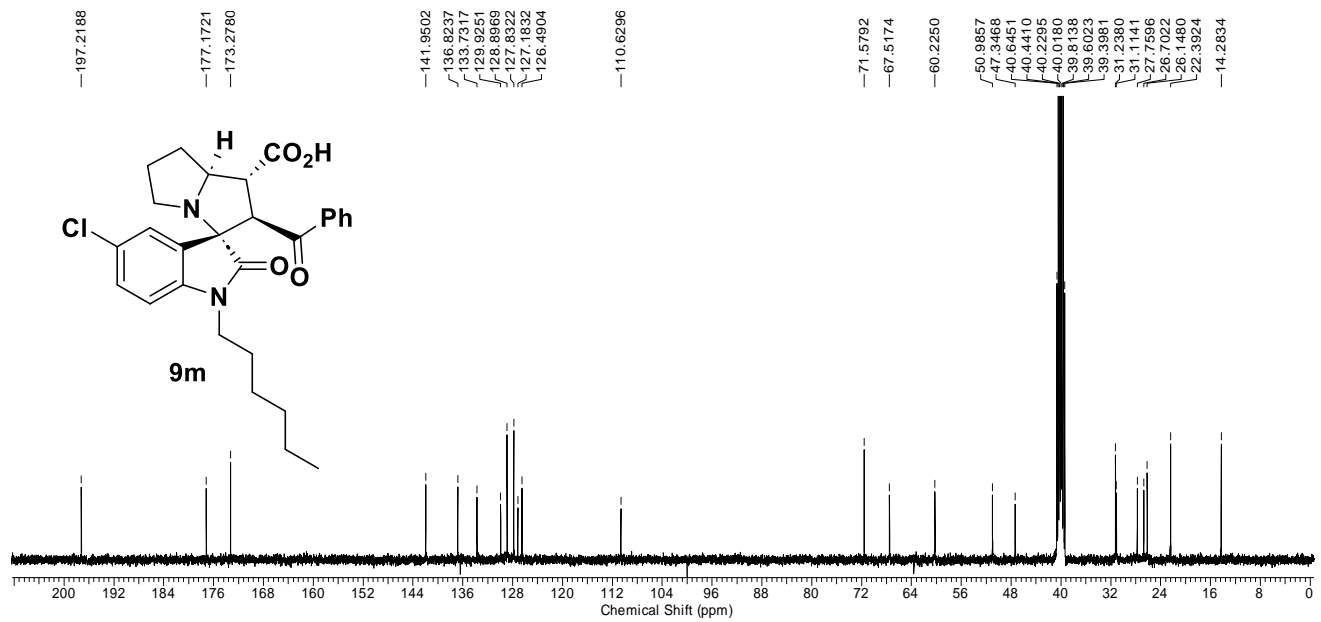


Figure S41. ^{13}C NMR spectra of compound **9m** recorded at 100 MHz in $\text{DMSO}-d_6$

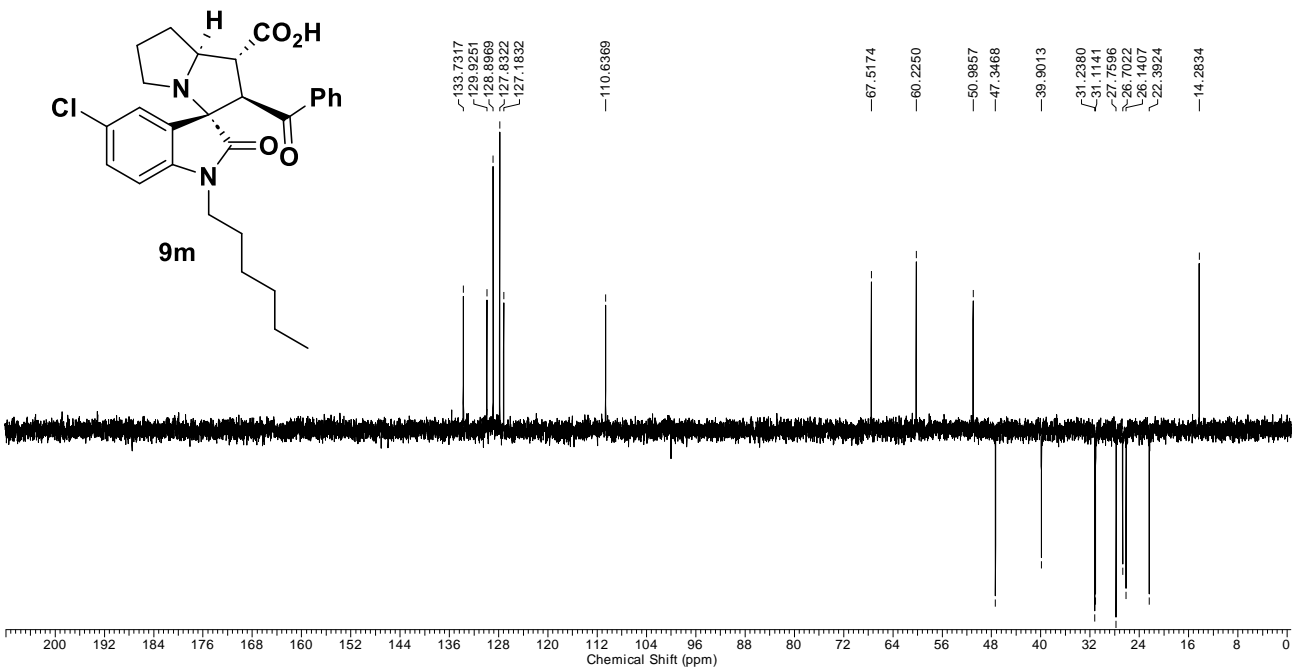


Figure S42. DEPT-135 experiment of compound **9m** in DMSO-*d*₆

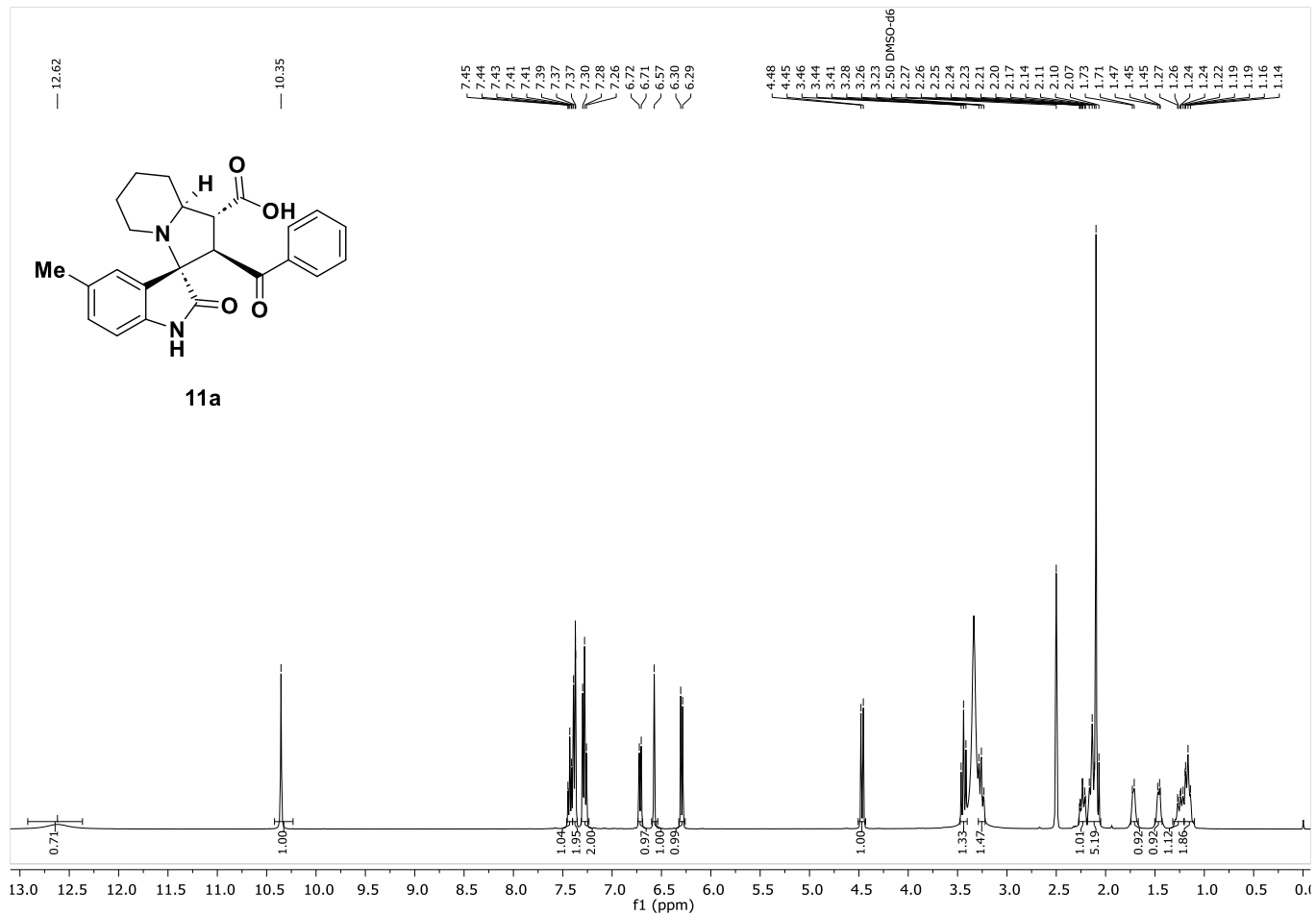


Figure S43. ¹H NMR spectra of compound **11a** recorded at 400 MHz in DMSO-*d*₆

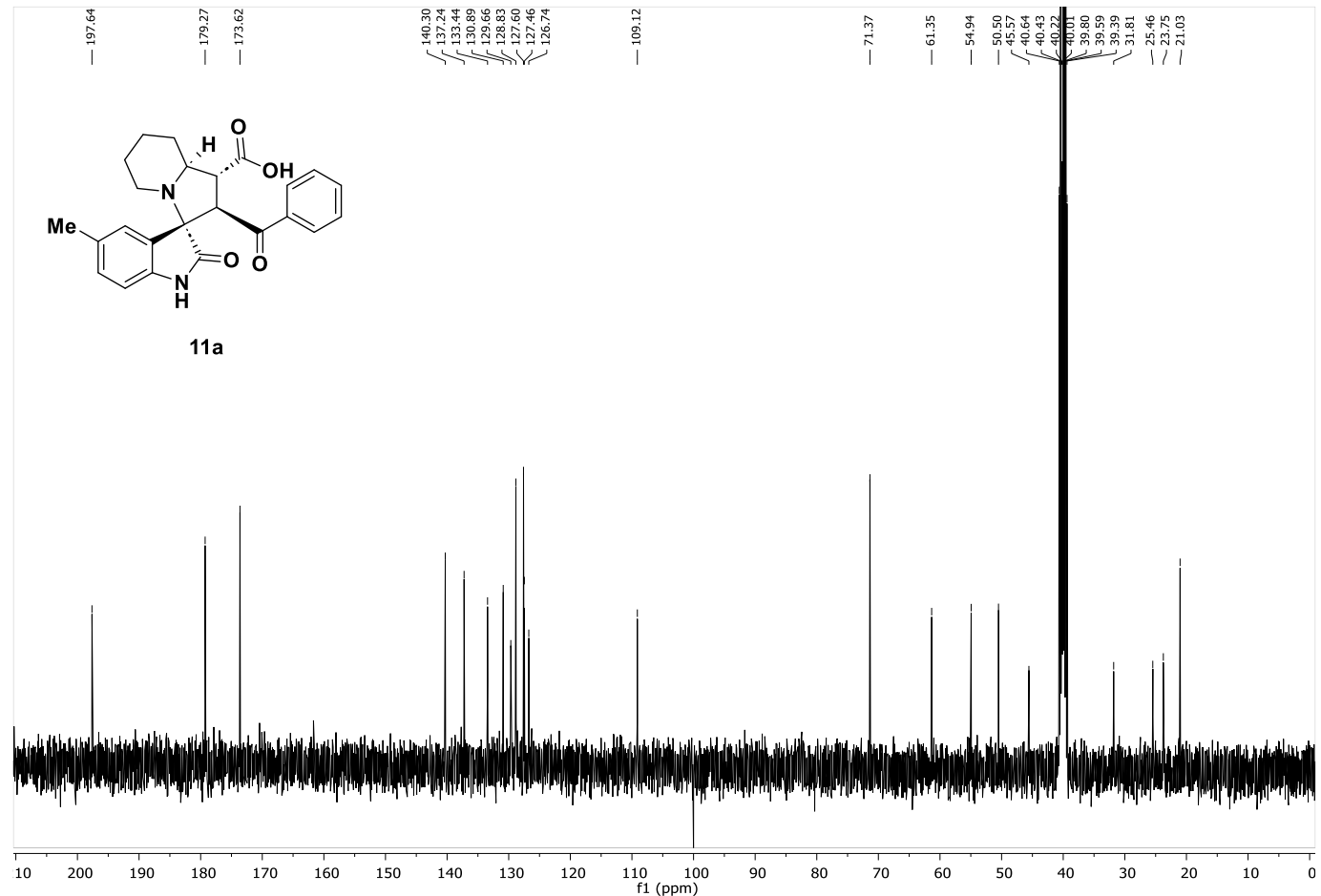


Figure S44. ^{13}C NMR spectra of compound **11a** recorded at 100 MHz in $\text{DMSO}-d_6$

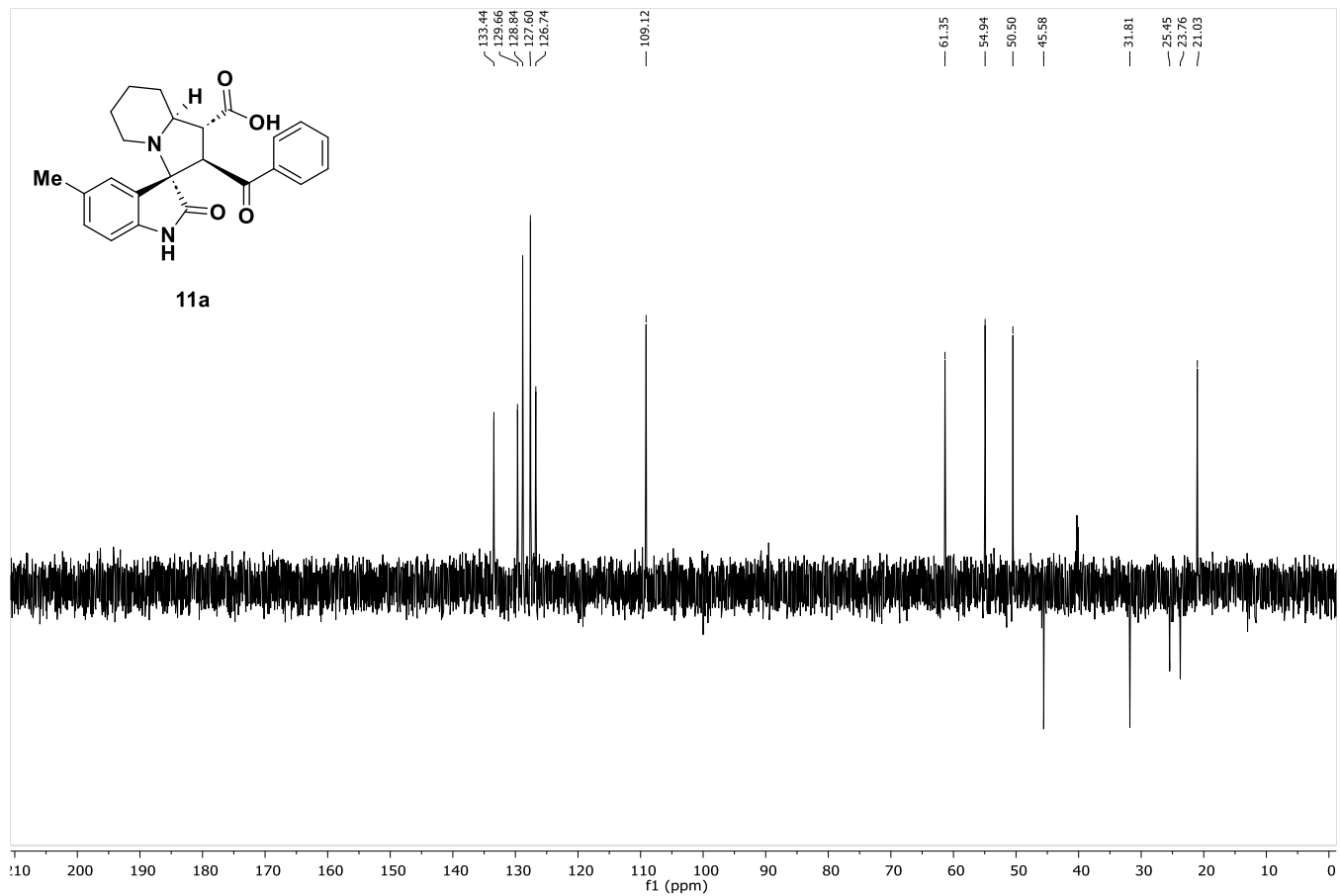


Figure S45. DEPT-135 experiment of compound **11a** in $\text{DMSO}-d_6$

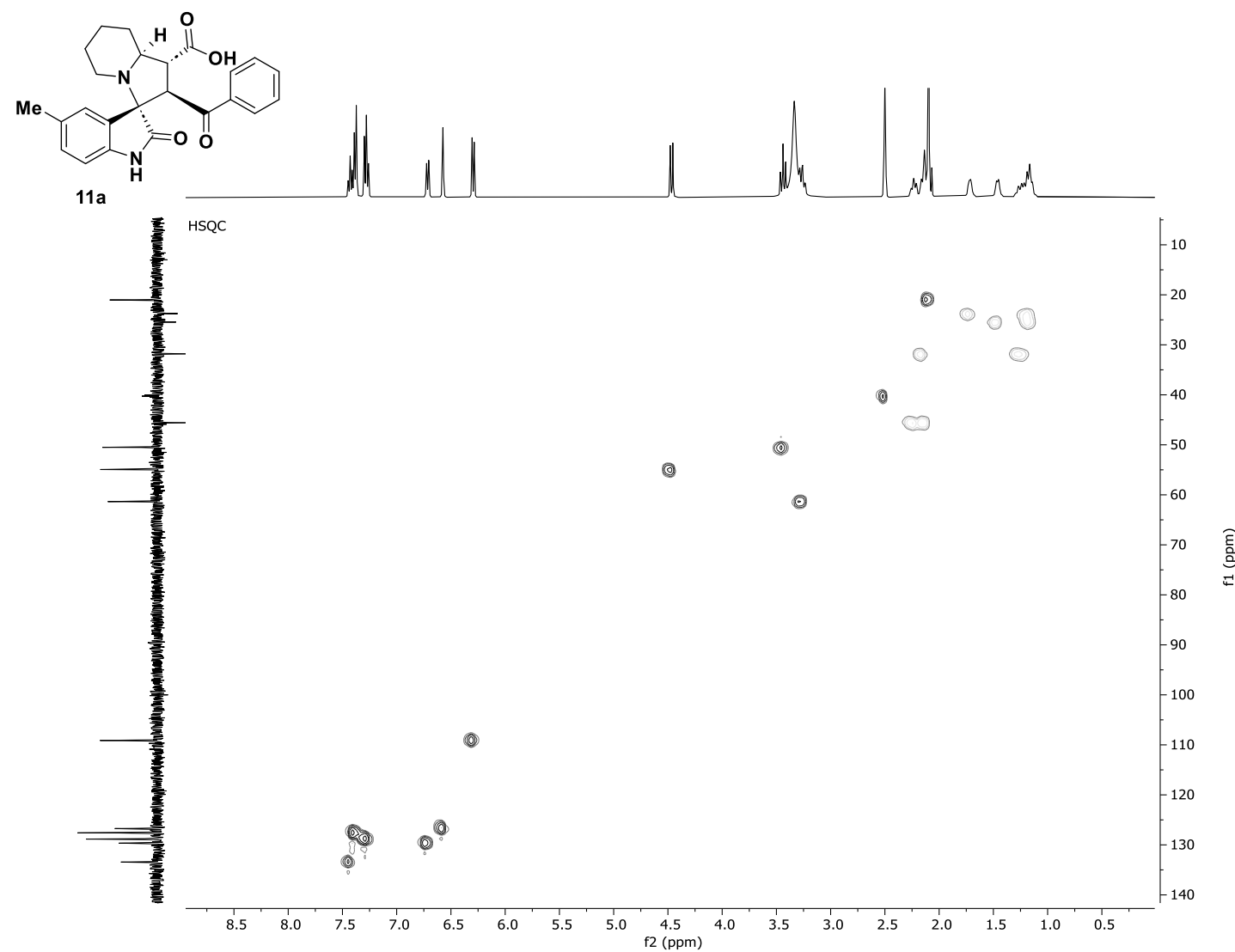


Figure S46. HSQC experiment of compound **11a** in $\text{DMSO}-d_6$

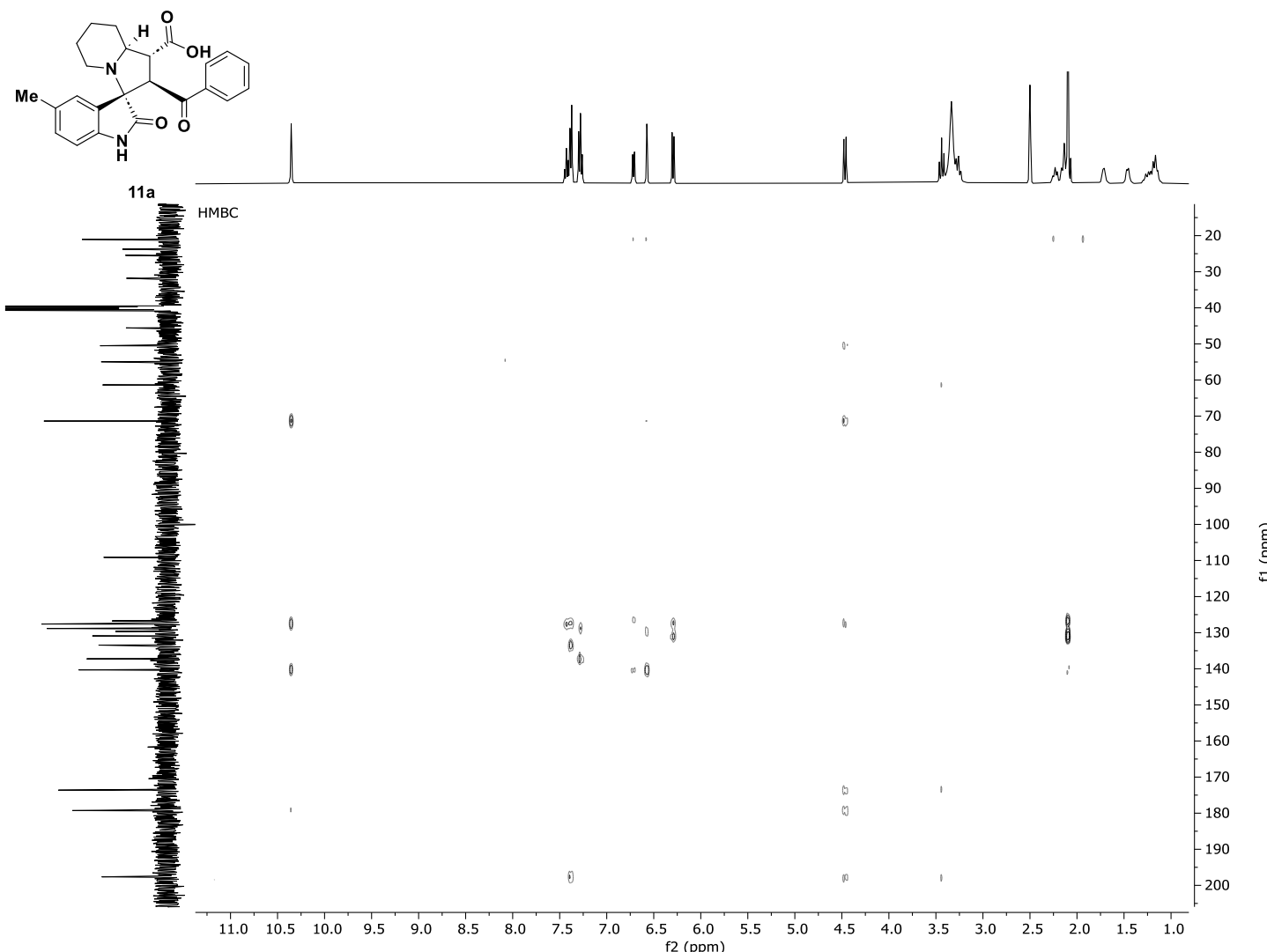


Figure S47. HMBC experiment of compound **11a** in $\text{DMSO}-d_6$

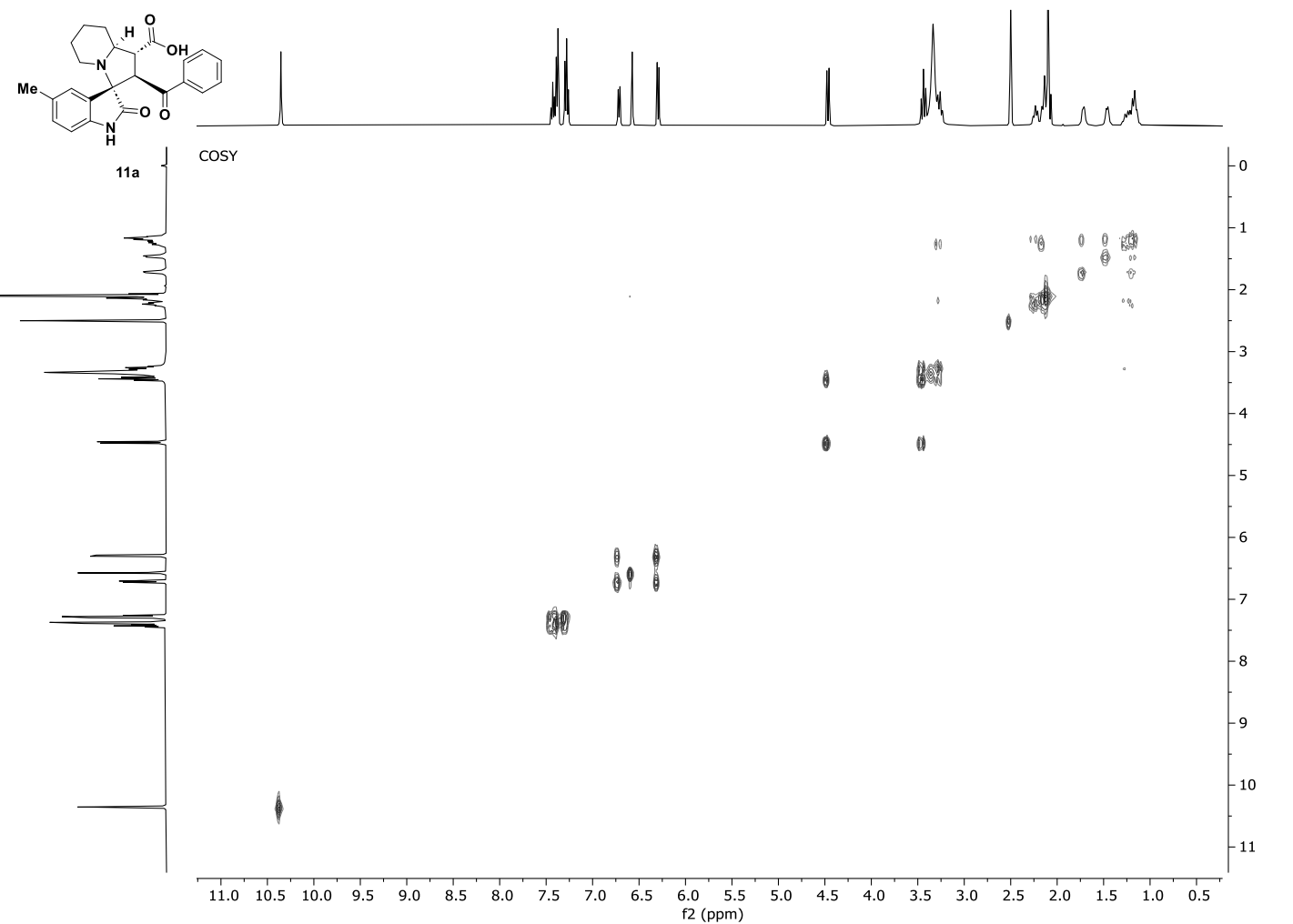


Figure S48. COSY experiment of compound **11a** in $\text{DMSO}-d_6$

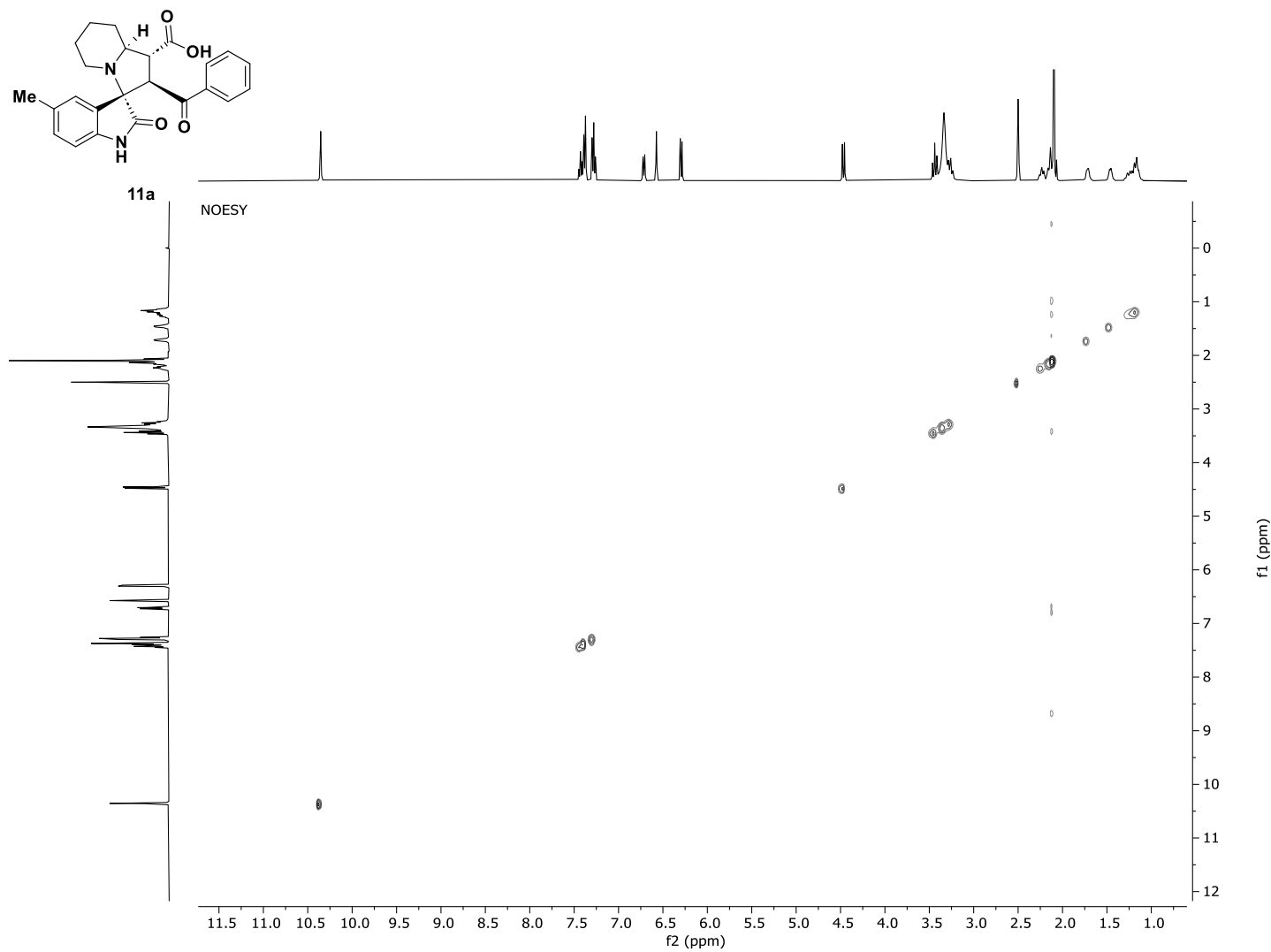
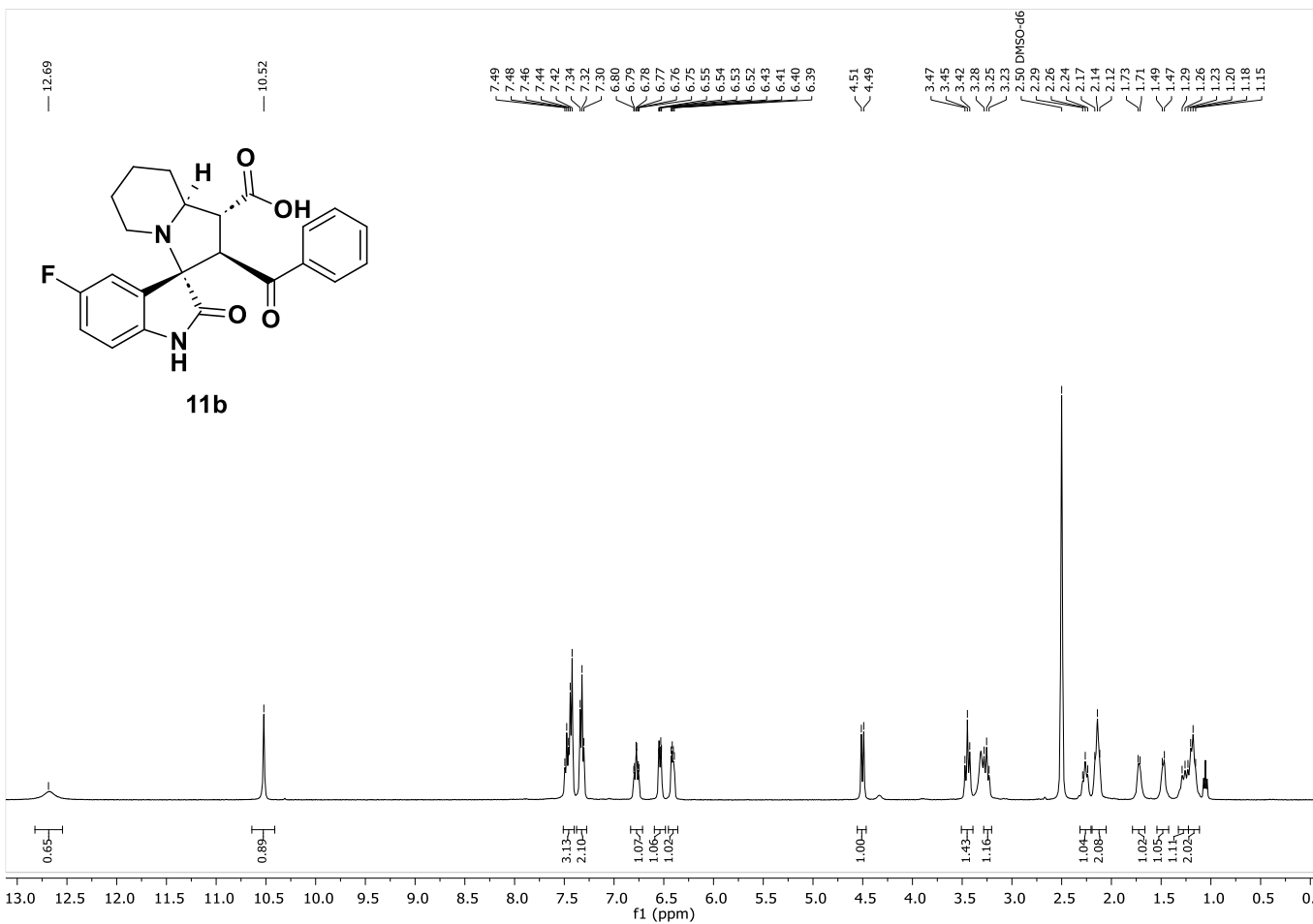


Figure S49. NOESY experiment of compound **11a** in $\text{DMSO}-d_6$



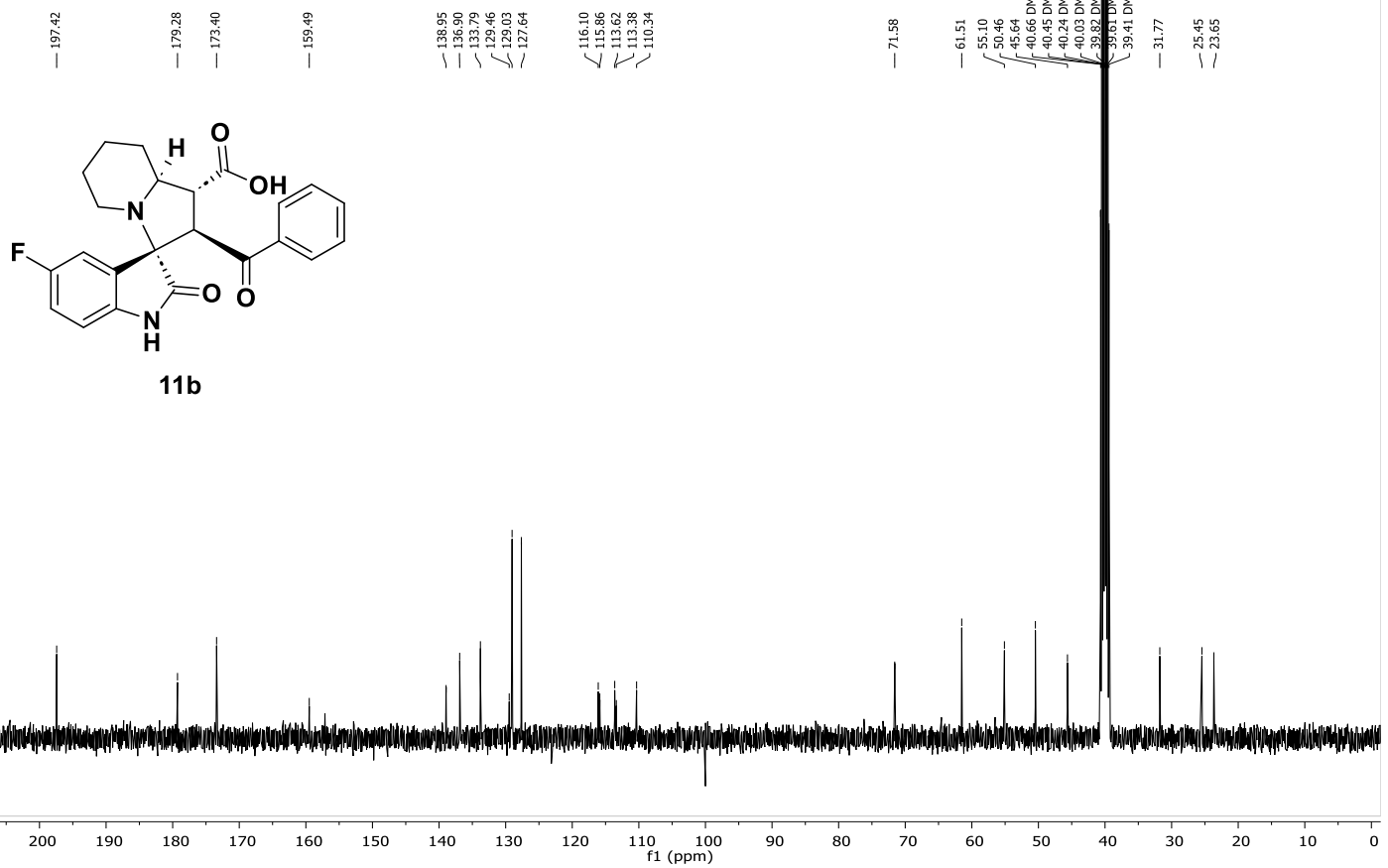


Figure S51. ^{13}C NMR spectra of compound **11b** recorded at 100 MHz in $\text{DMSO}-d_6$

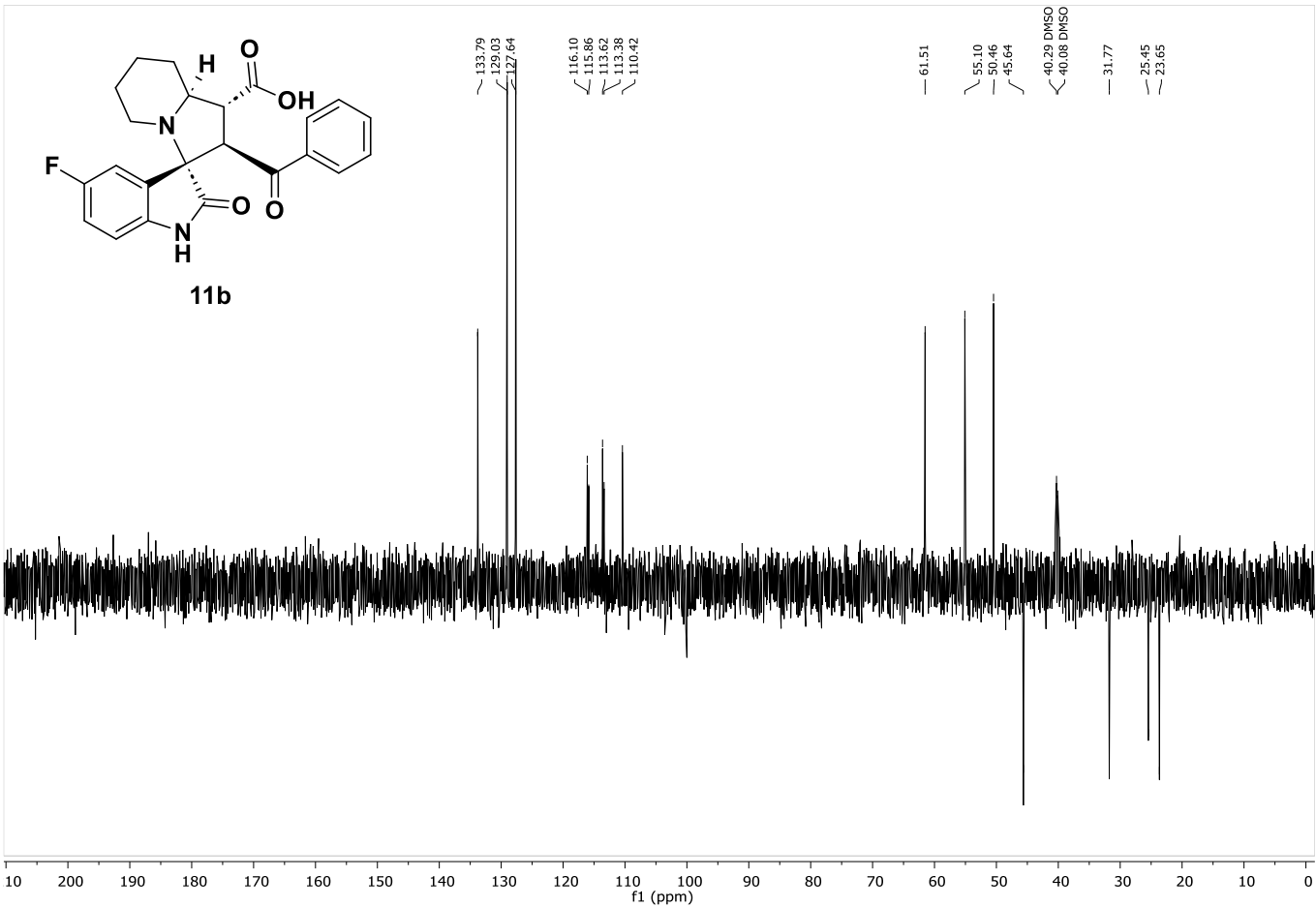


Figure S52. DEPT-135 experiment of compound **11b** in $\text{DMSO}-d_6$

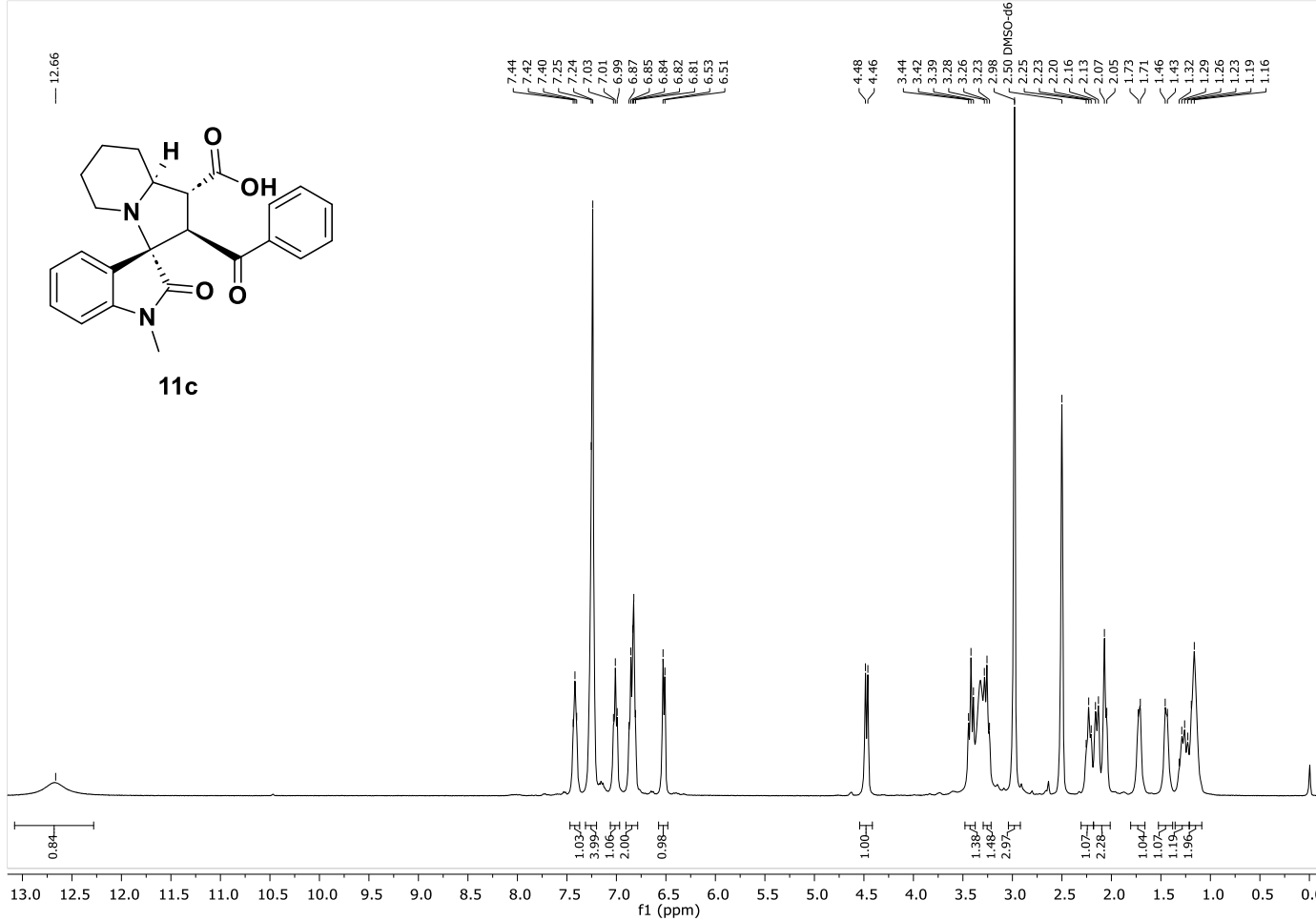


Figure S53. ^1H NMR spectra of compound **11c** recorded at 400 MHz in $\text{DMSO}-d_6$

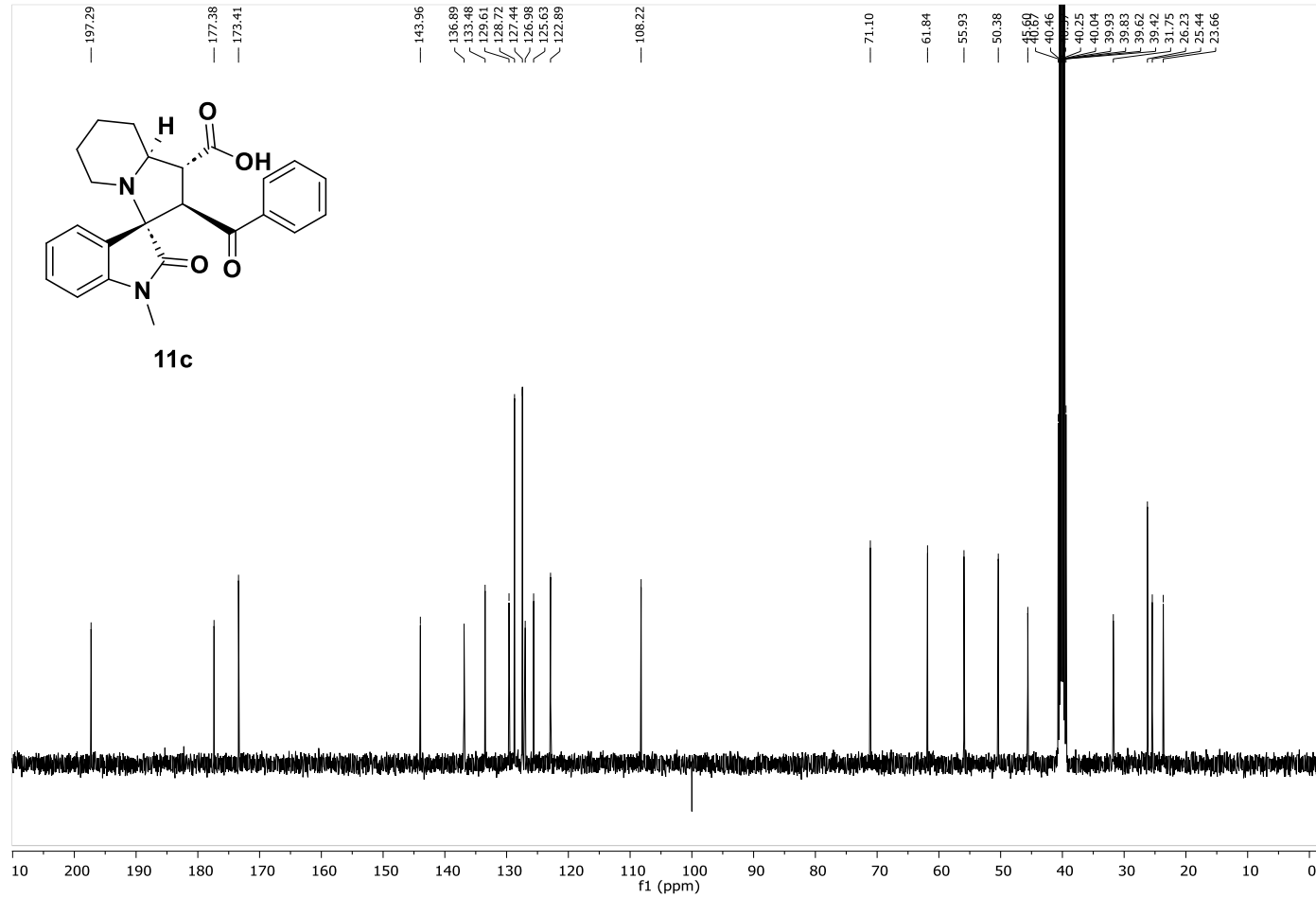


Figure S54. ¹³C NMR spectra of compound **11c** recorded at 100 MHz in DMSO-*d*₆

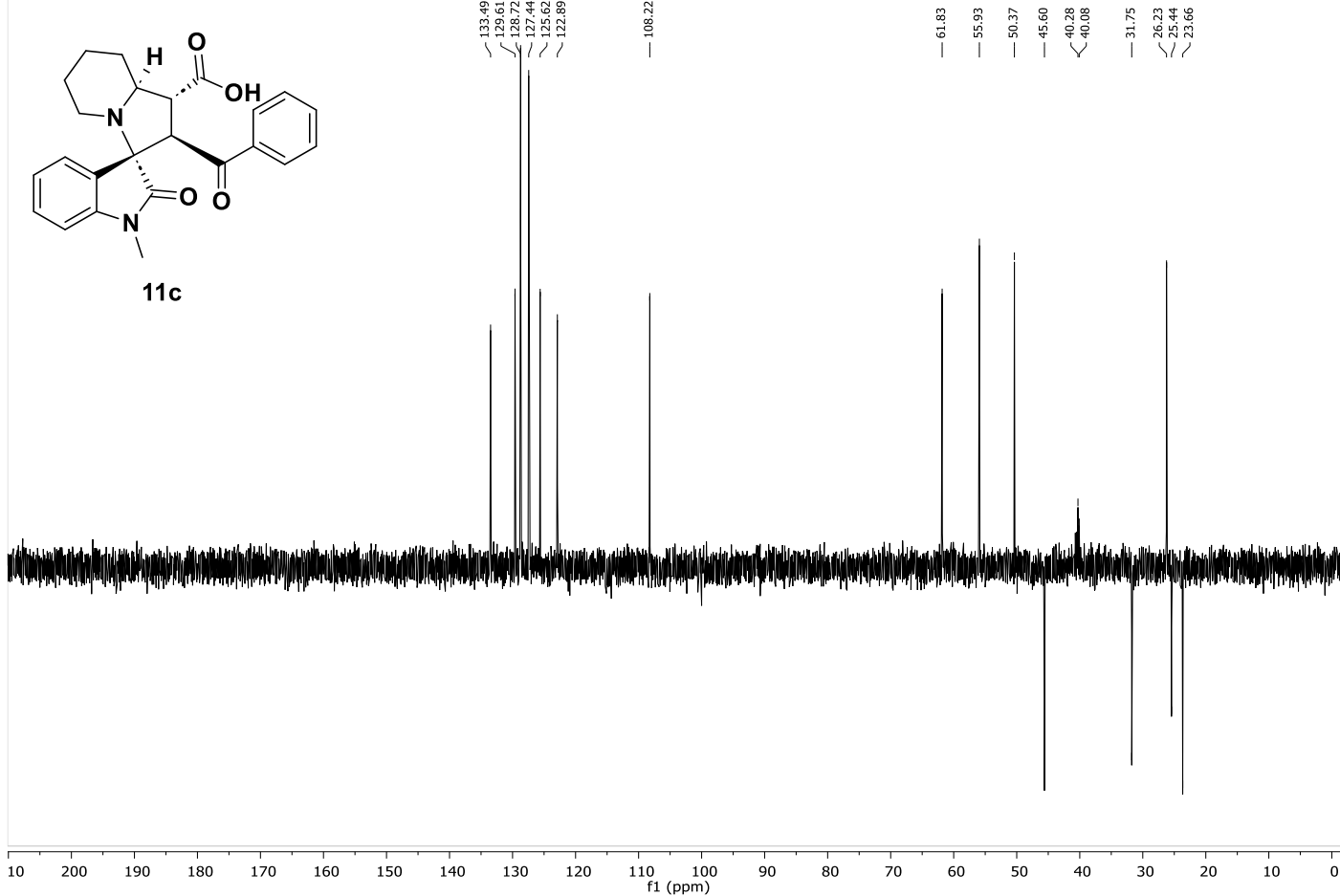
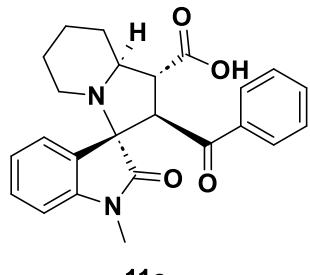


Figure S55. DEPT-135 experiment of compound **11c** in $\text{DMSO}-d_6$

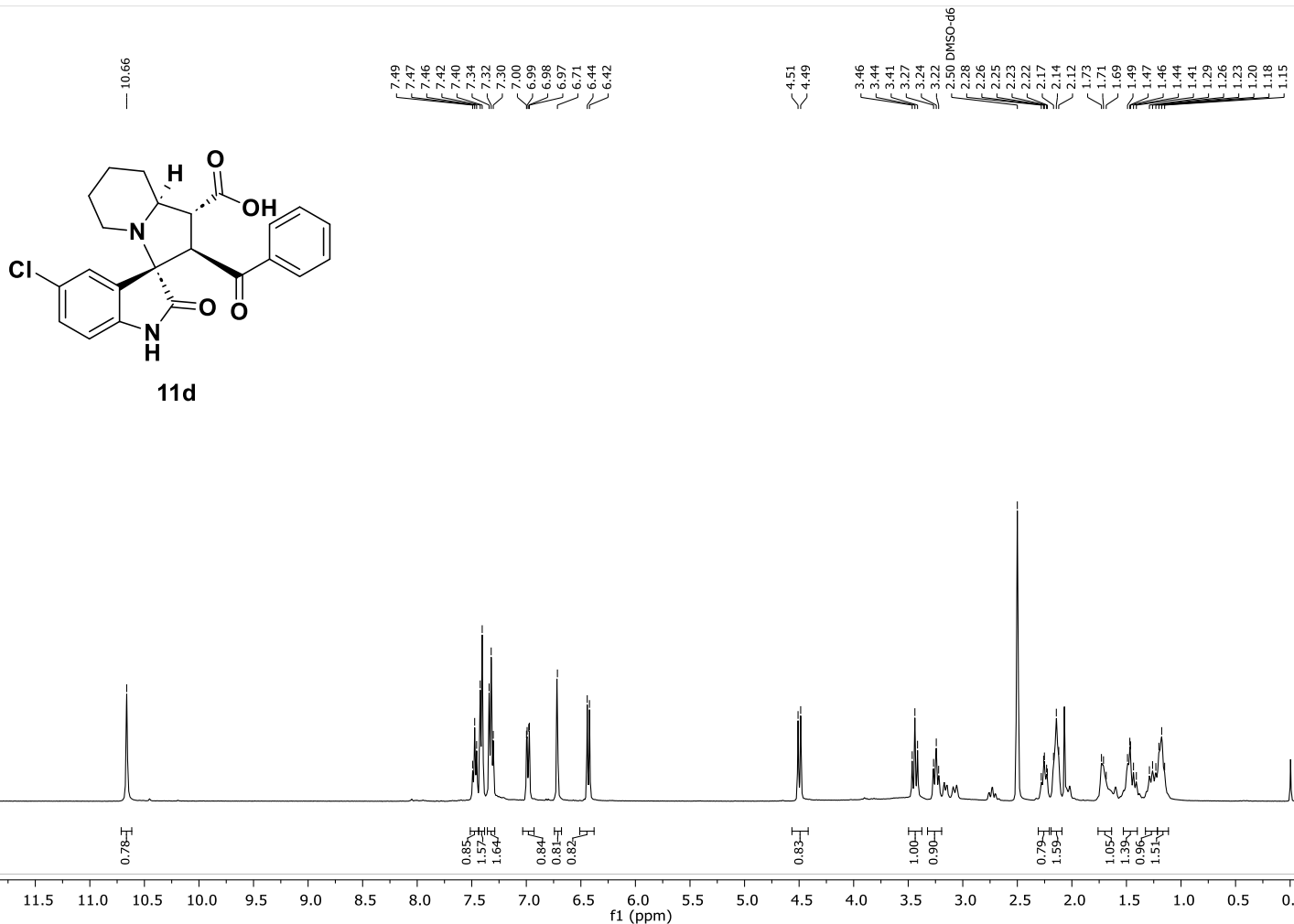


Figure S56. ¹H NMR spectra of compound **11d** recorded at 400 MHz in DMSO-d₆

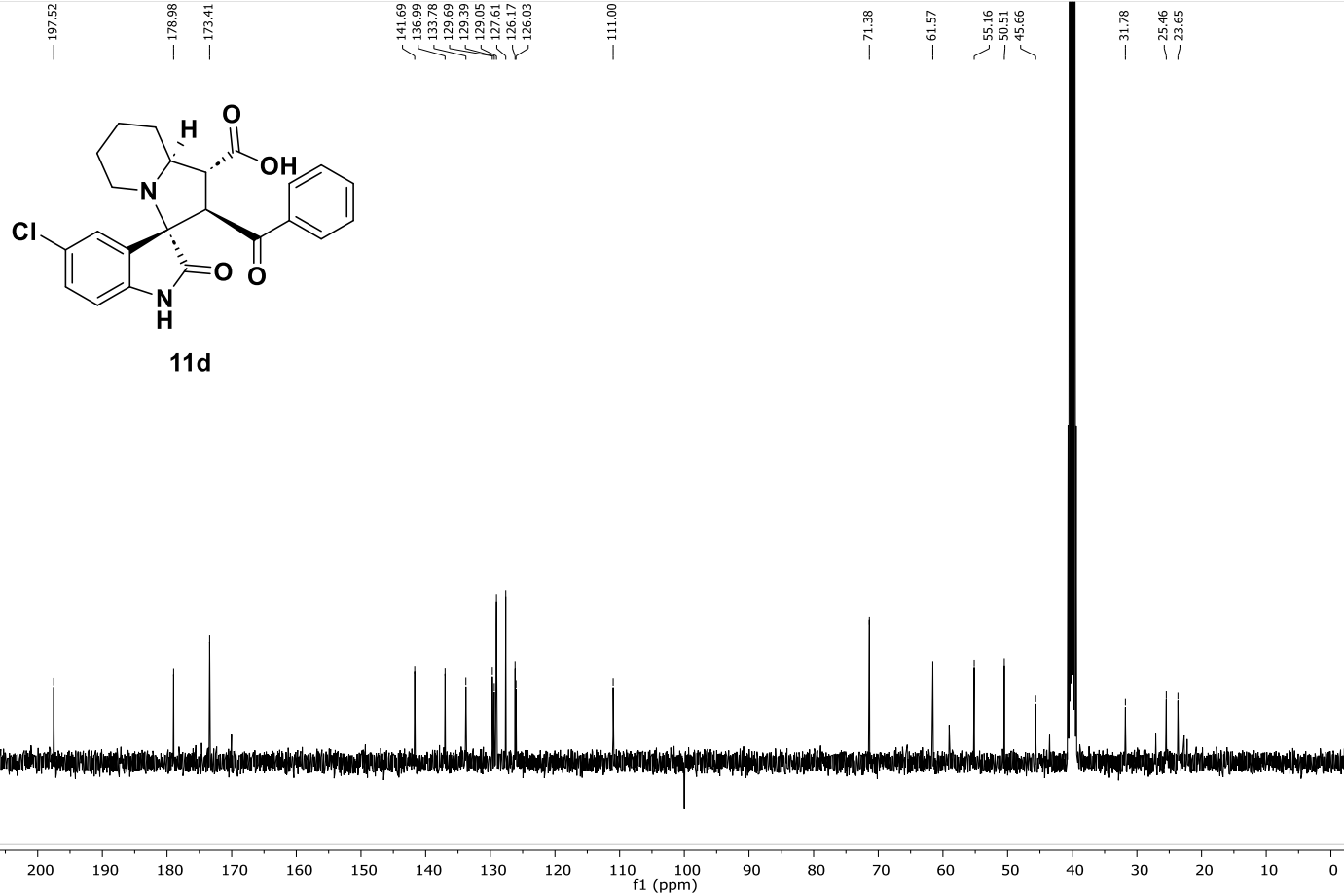


Figure S57. ^{13}C NMR spectra of compound **11d** recorded at 100 MHz in $\text{DMSO}-d_6$

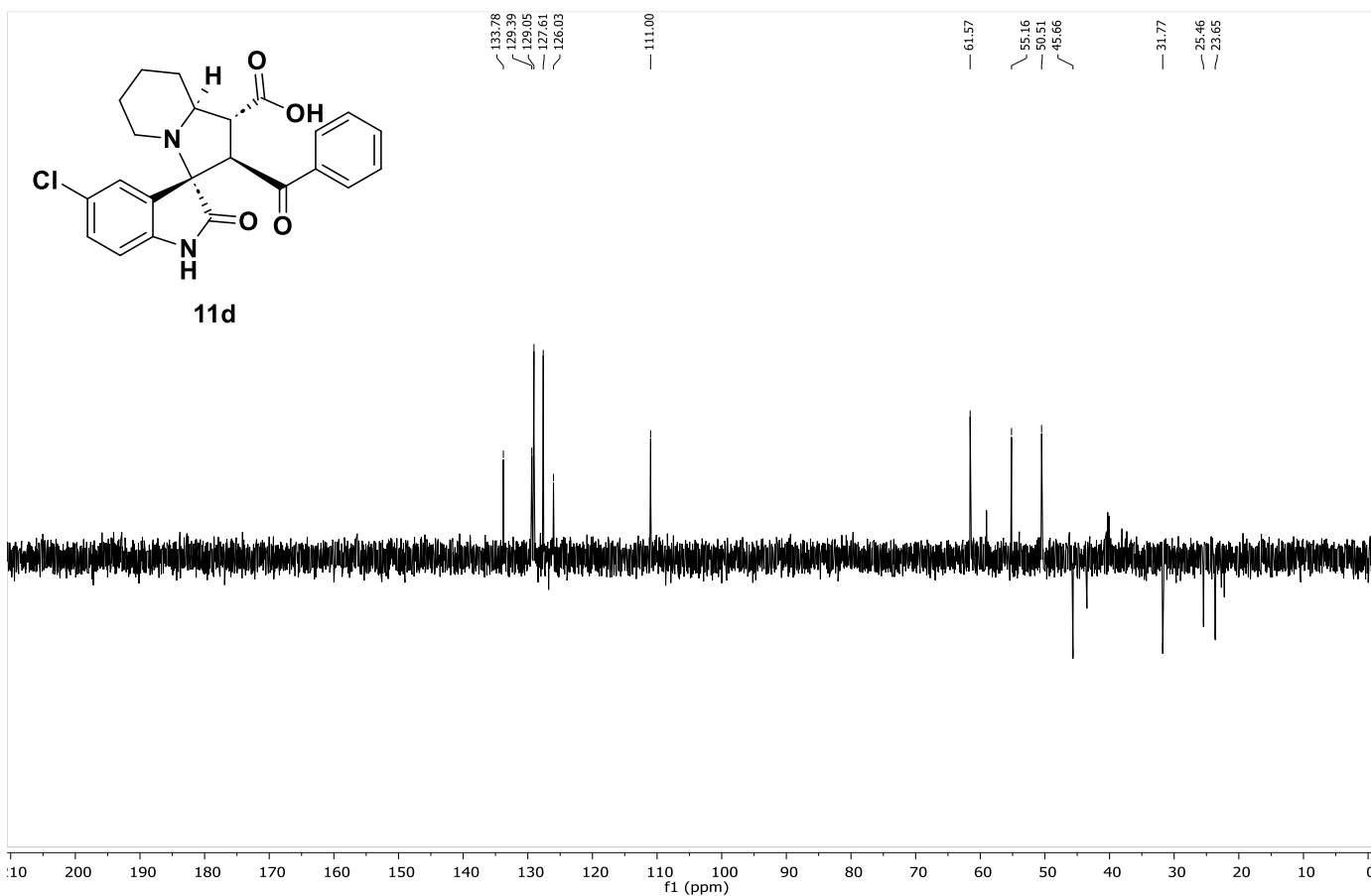


Figure S58. DEPT-135 experiment of compound **11d** in DMSO-*d*₆

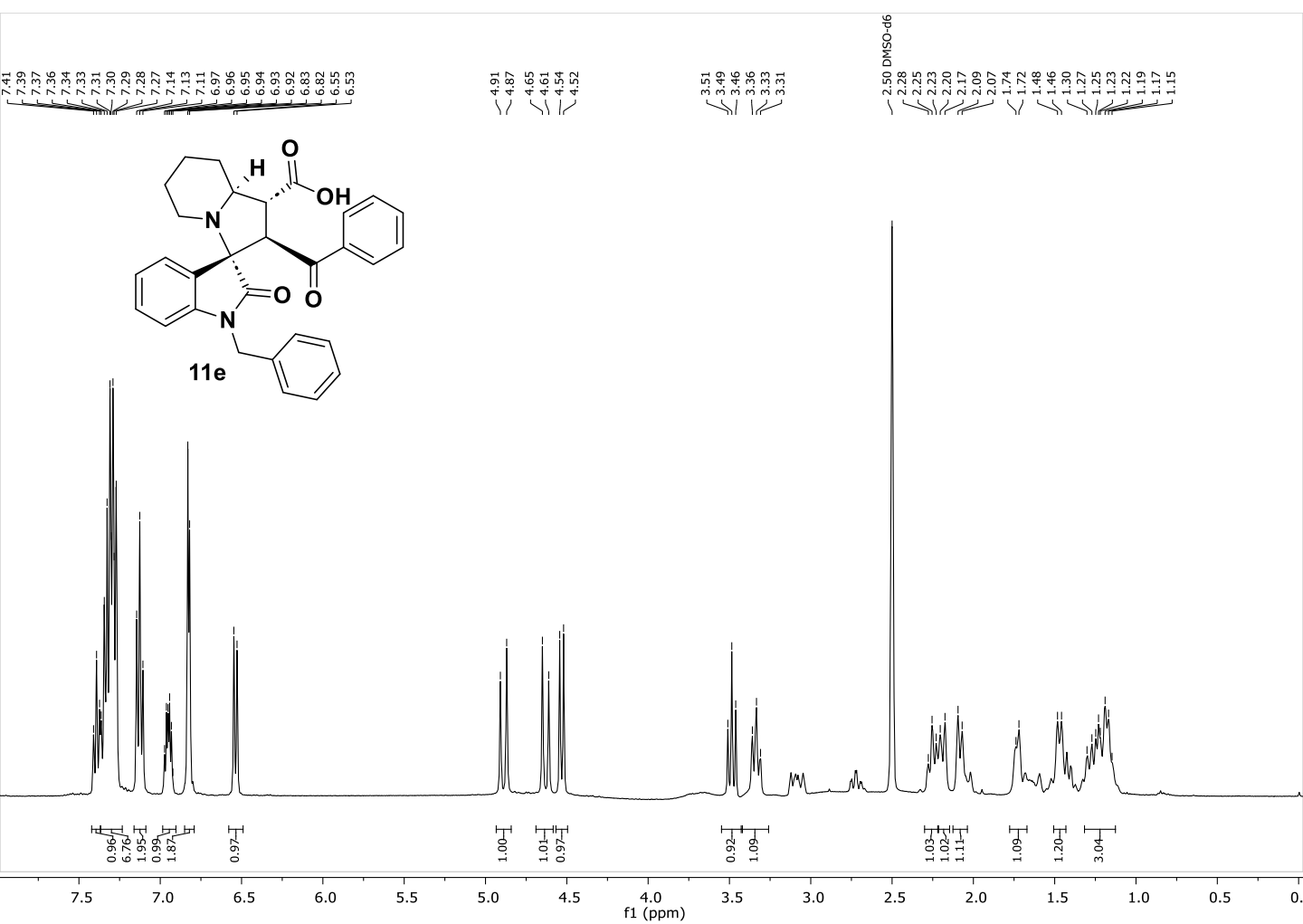


Figure S59. ^1H NMR spectra of compound **11e** recorded at 400 MHz in $\text{DMSO}-d_6$

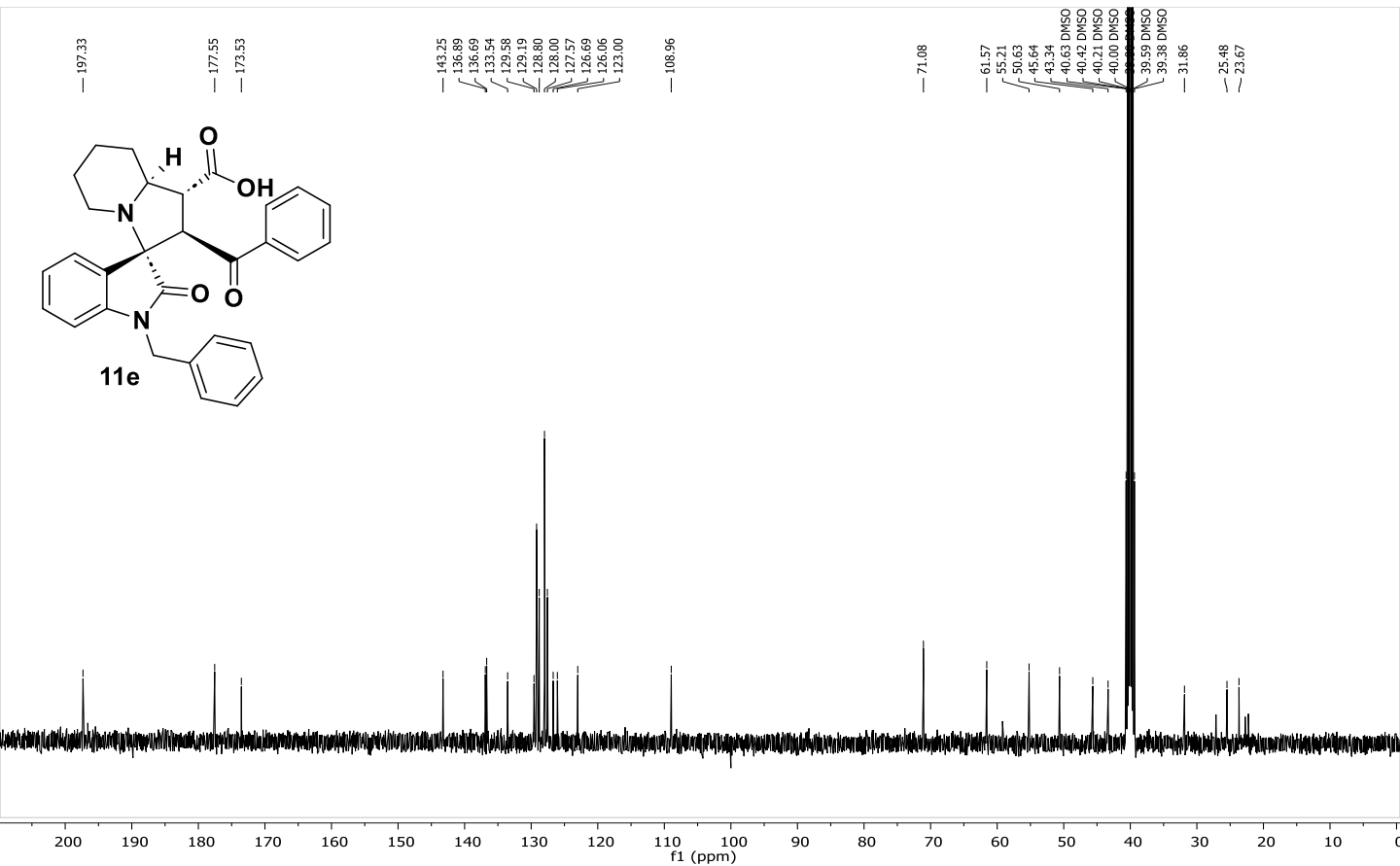


Figure S60. ^{13}C NMR spectra of compound **11e** recorded at 100 MHz in $\text{DMSO}-d_6$

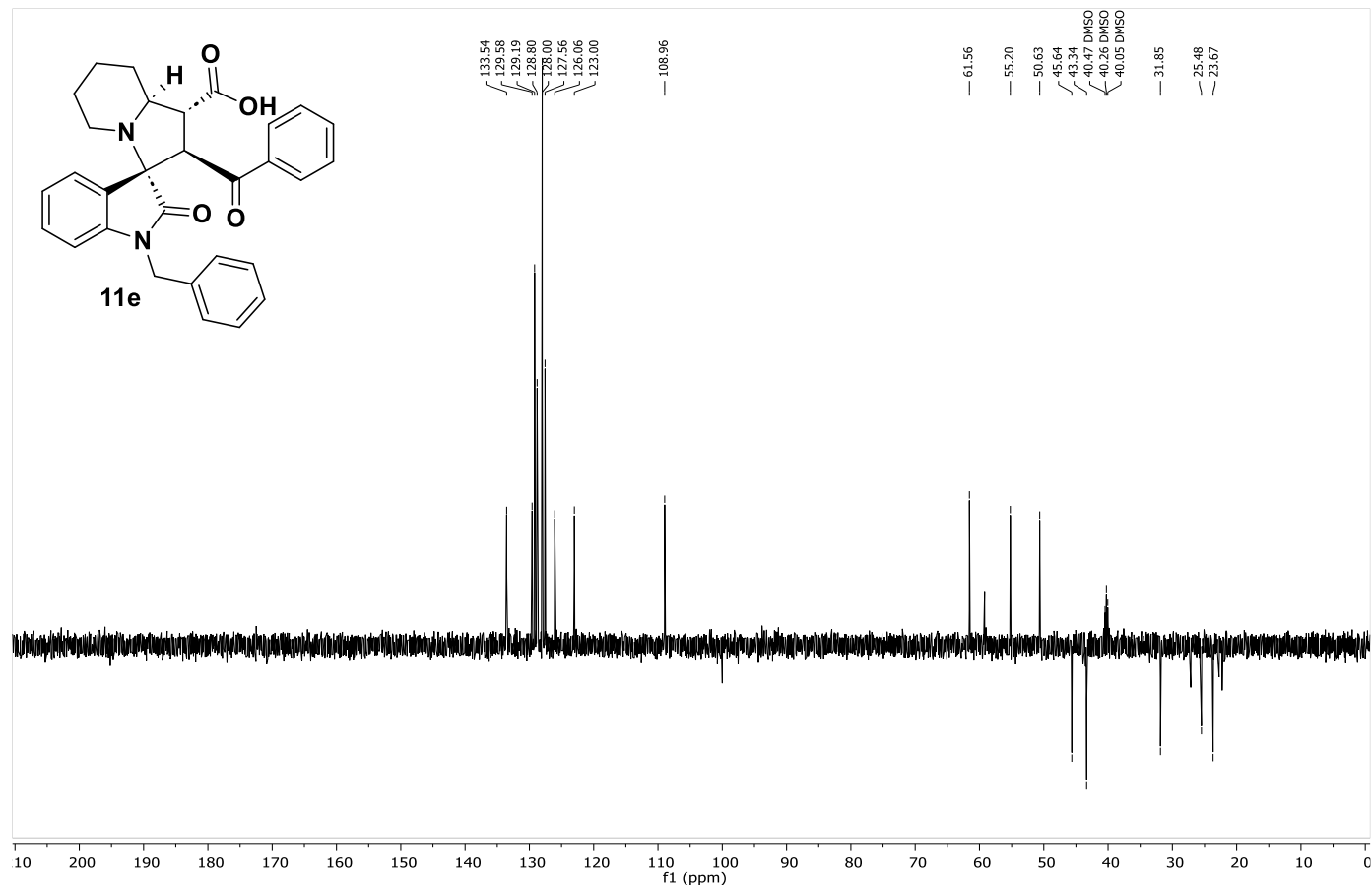
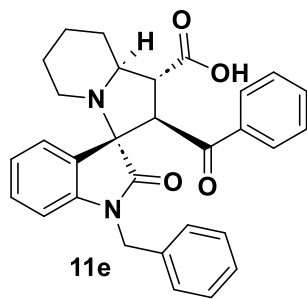
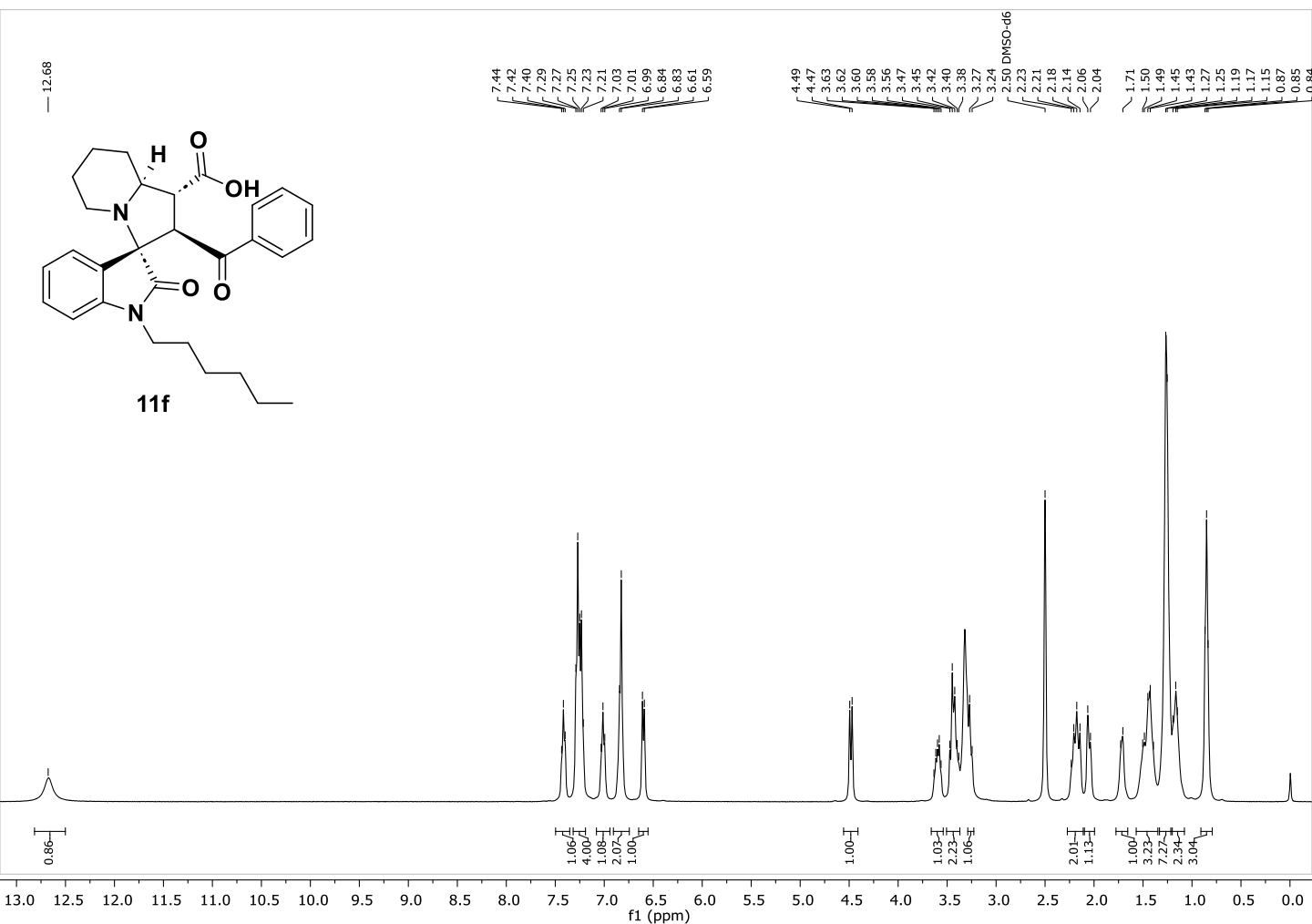


Figure S61. DEPT-135 experiment of compound **11e** in $\text{DMSO}-d_6$



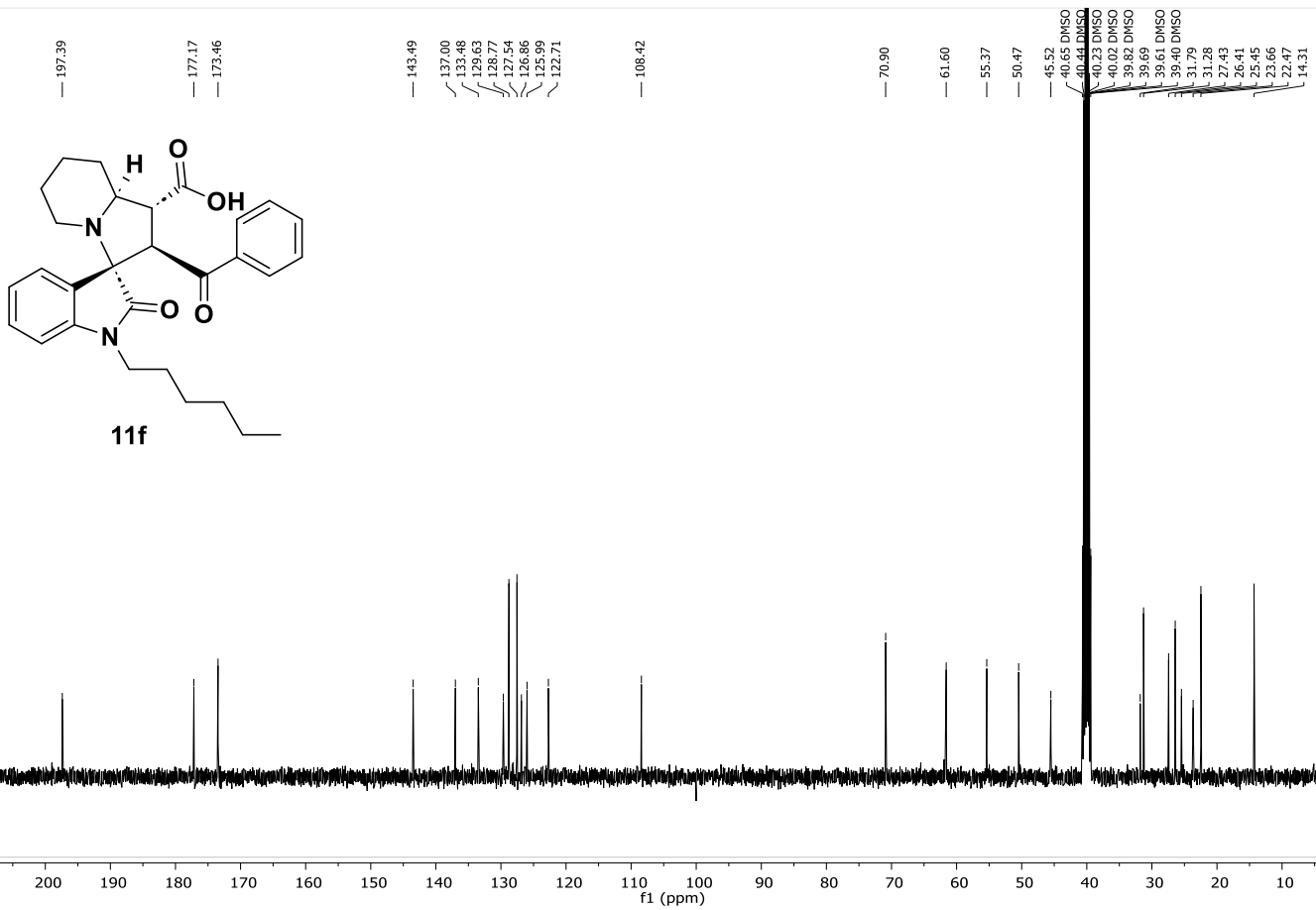


Figure S63. ¹³C NMR spectra of compound **11f** recorded at 100 MHz in DMSO-*d*₆

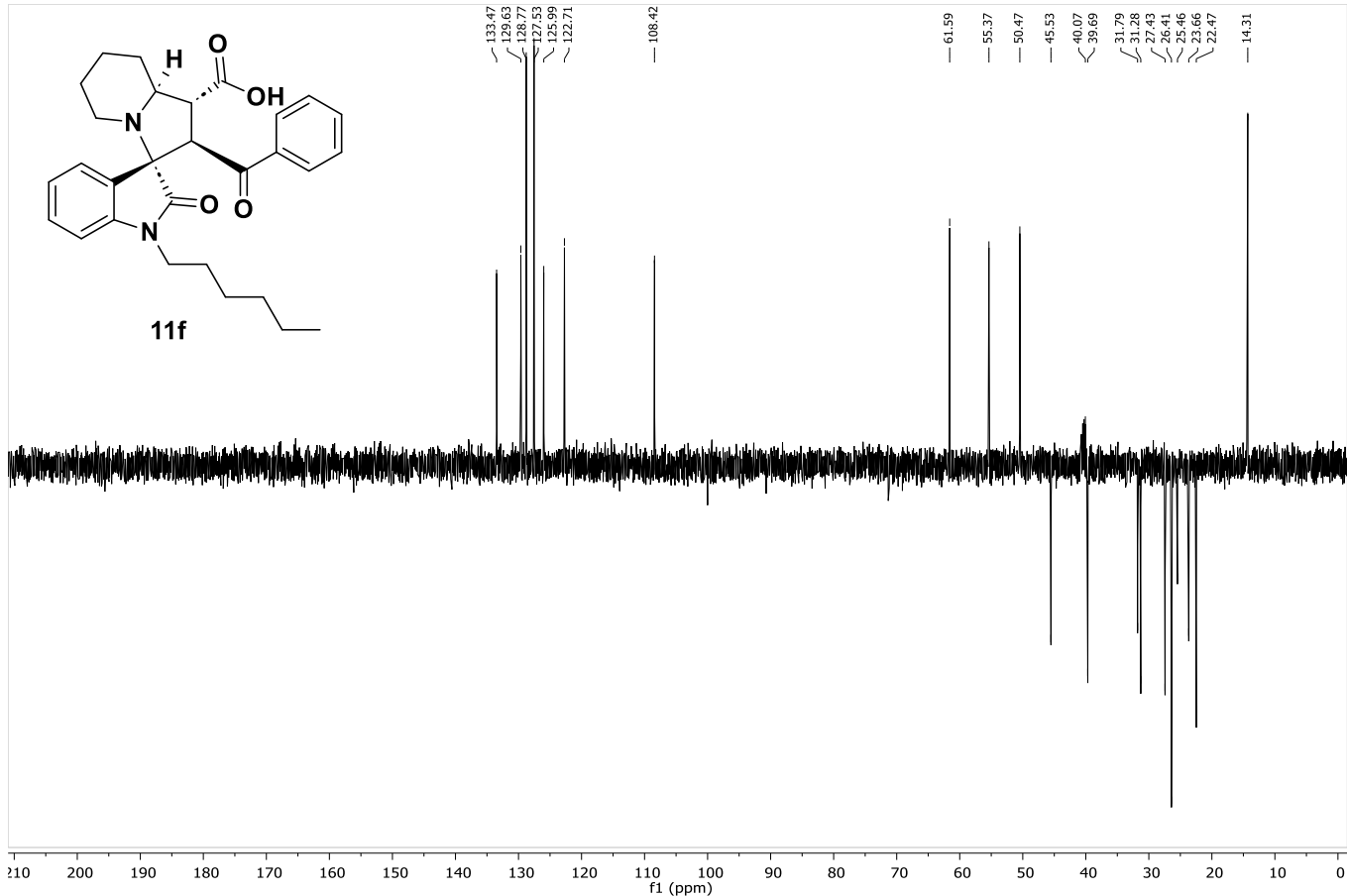


Figure S64. DEPT-135 experiment of compound **11f** in DMSO-*d*₆

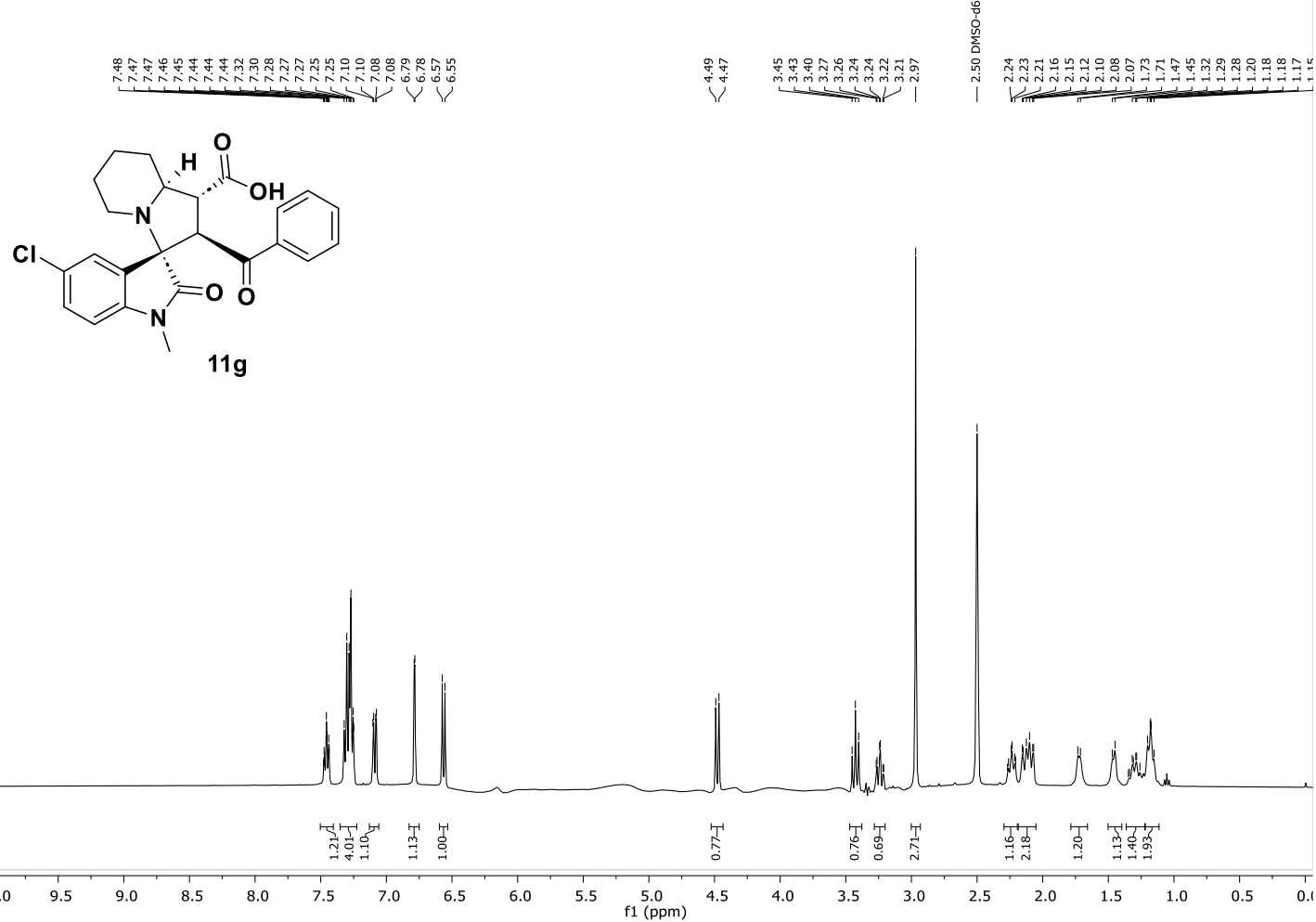
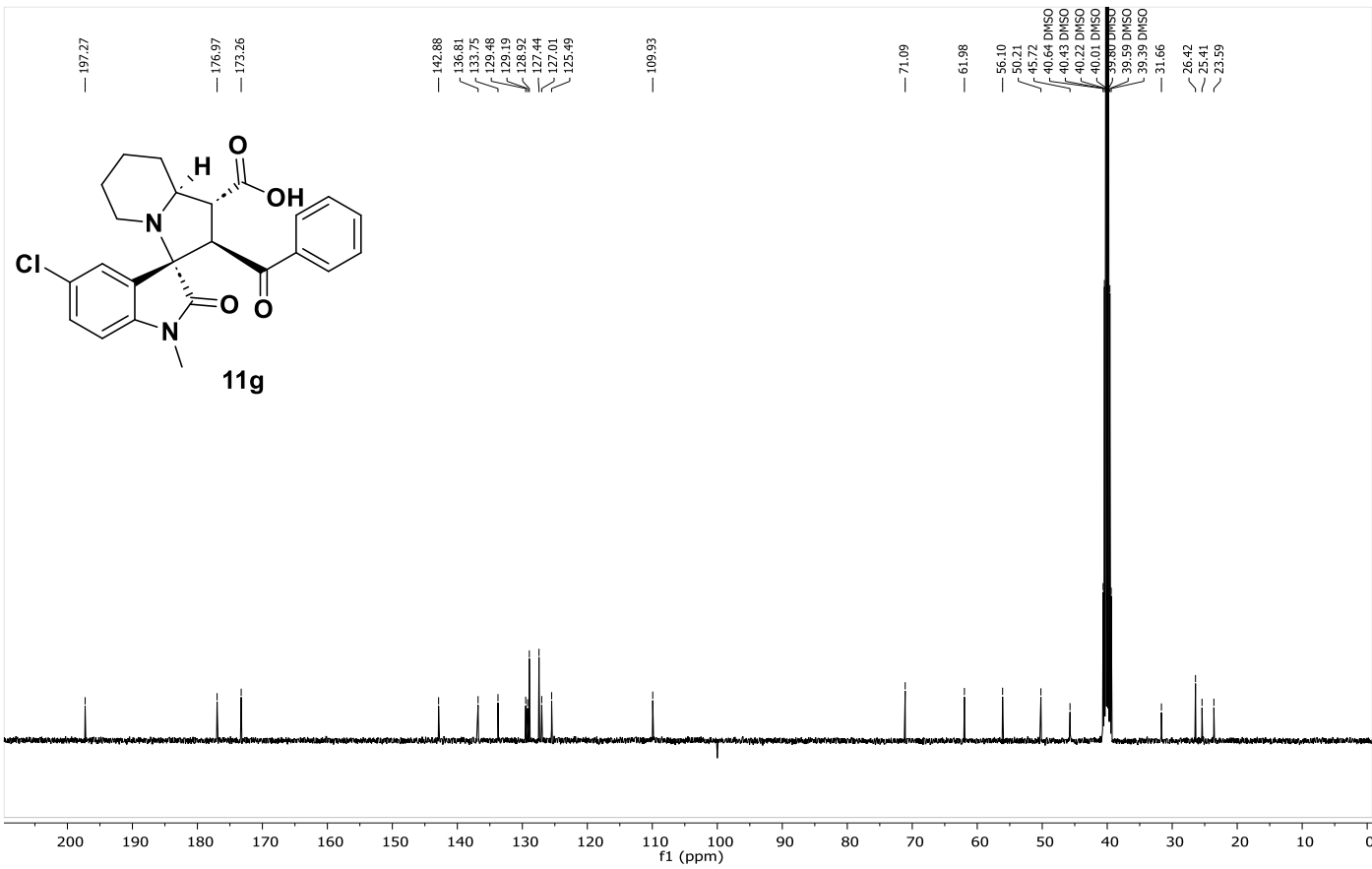


Figure S65. ^1H NMR spectra of compound **11g** recorded at 400 MHz in $\text{DMSO}-d_6$



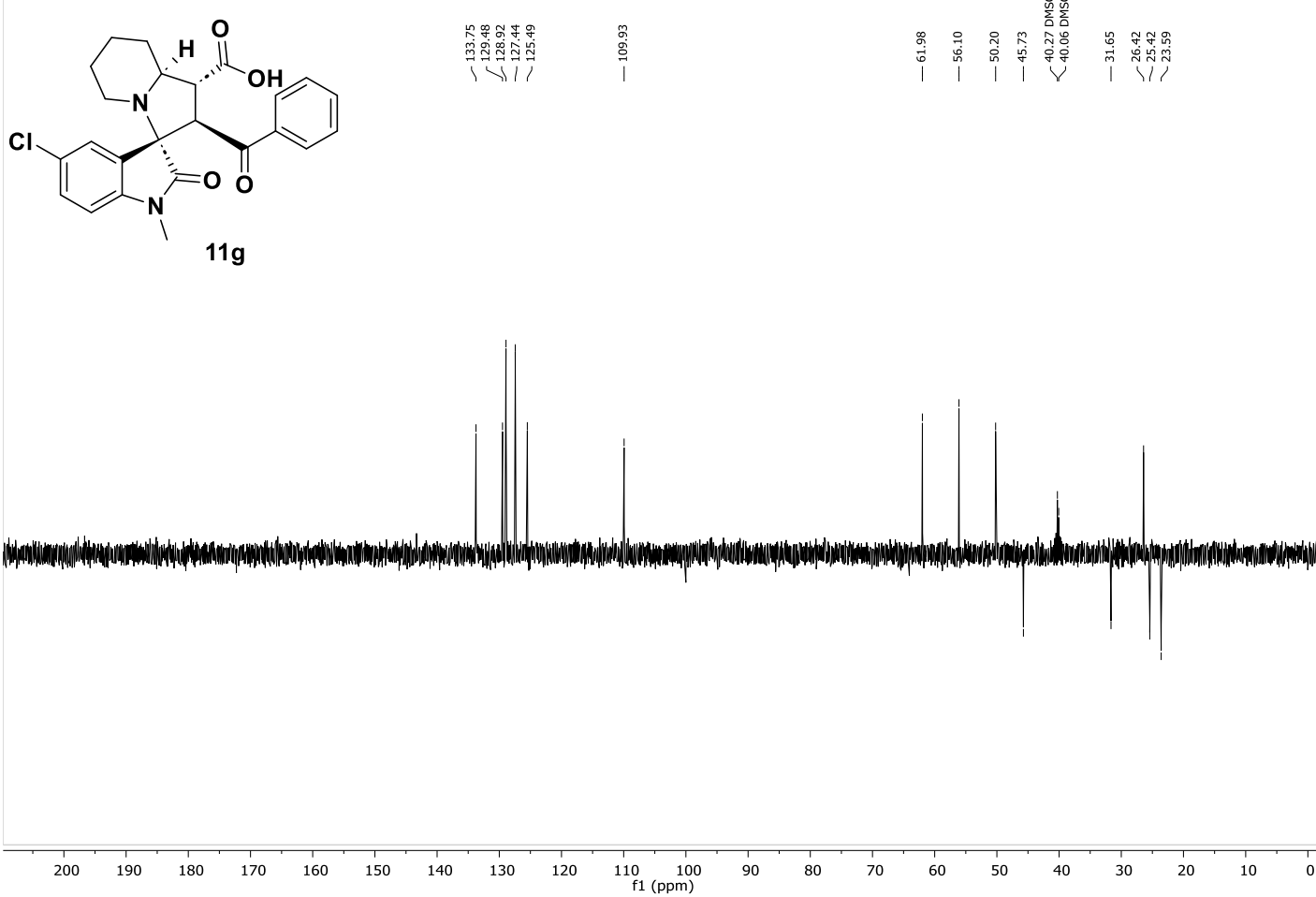


Figure S67. DEPT-135 experiment of compound **11g** in DMSO-*d*₆

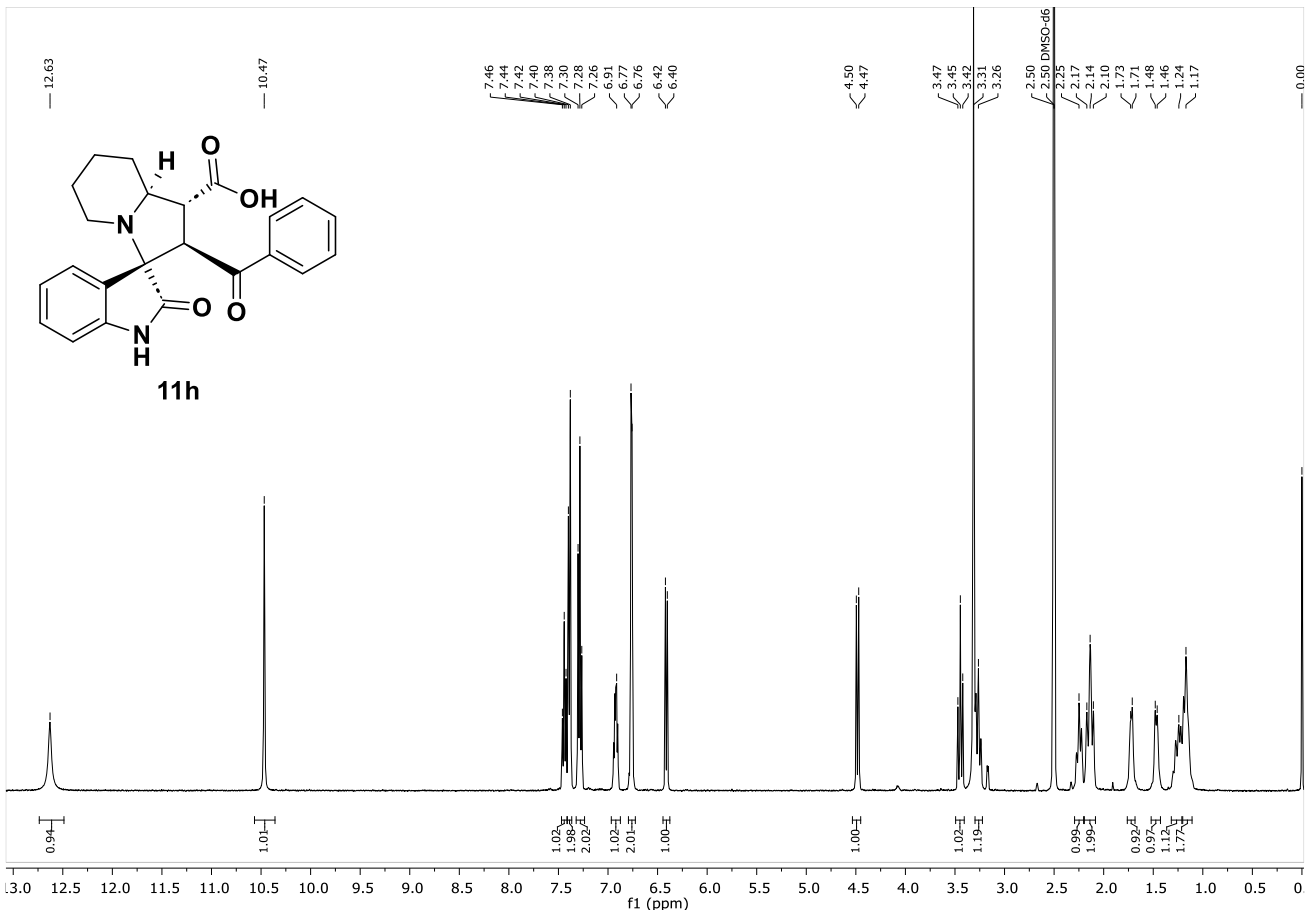


Figure S68. ^1H NMR spectra of compound **11h** recorded at 400 MHz in $\text{DMSO}-d_6$

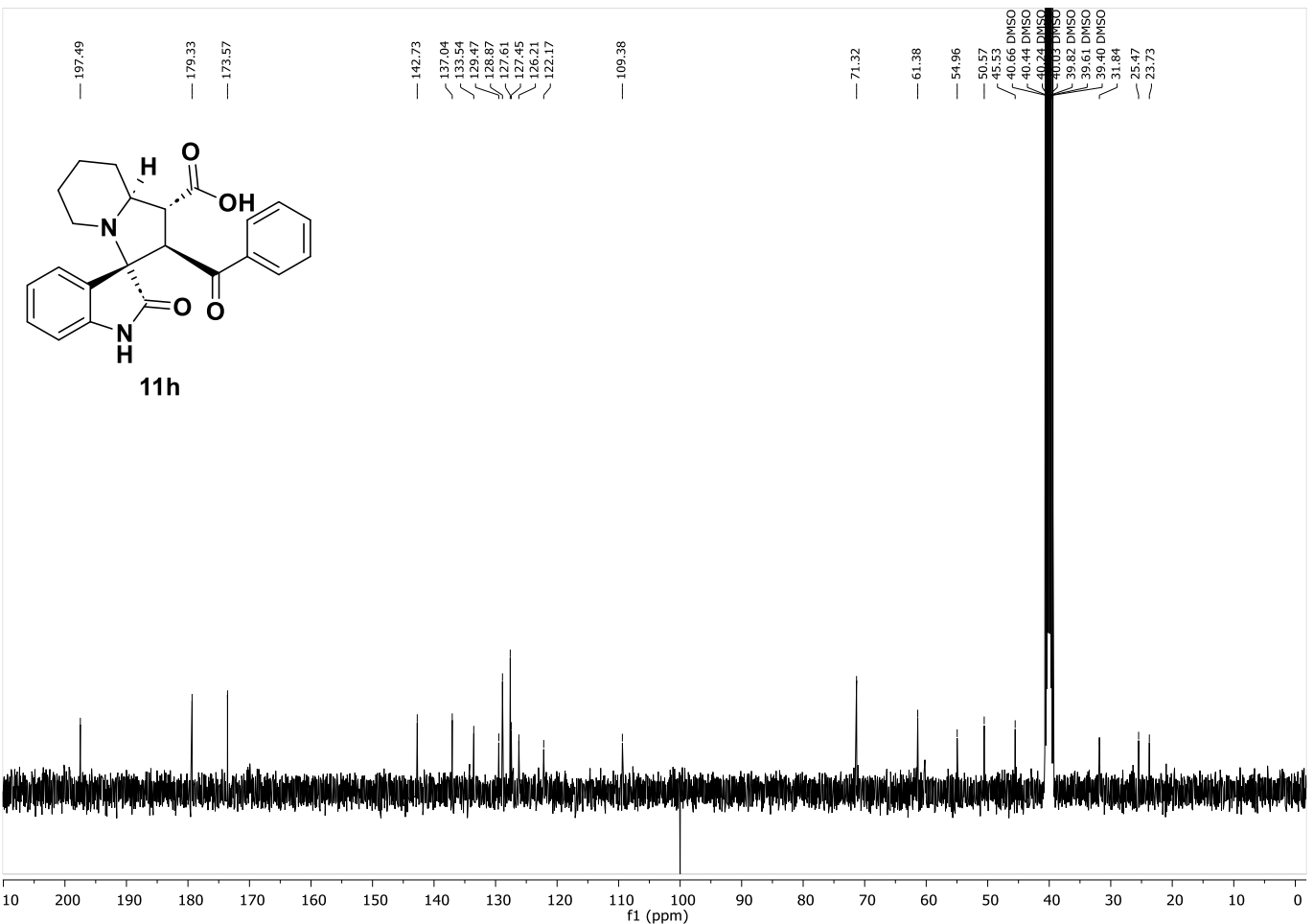


Figure S69. ¹³C NMR spectra of compound **11h** recorded at 100 MHz in DMSO-*d*₆

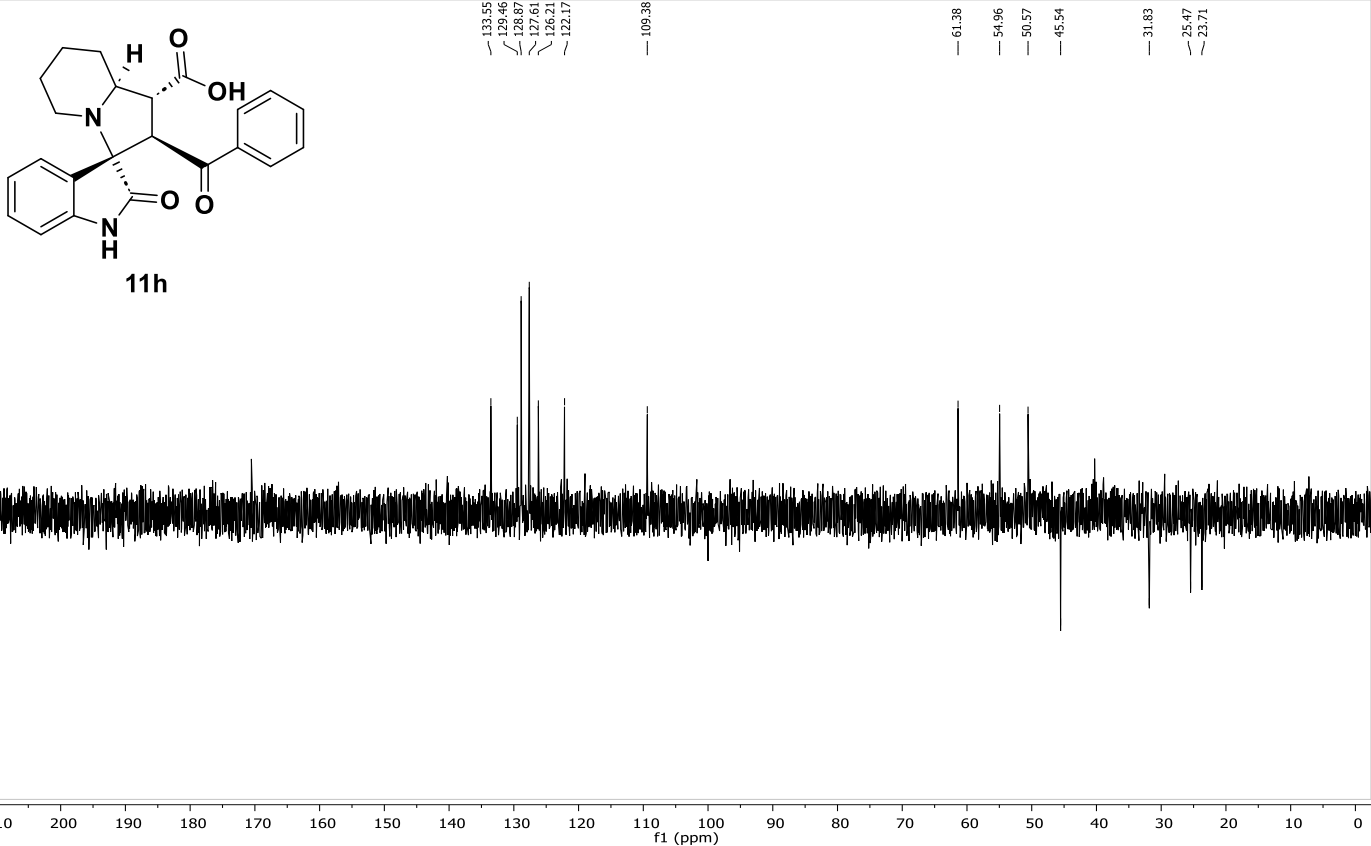


Figure S70. DEPT-135 experiment of compound **11h** in $\text{DMSO}-d_6$

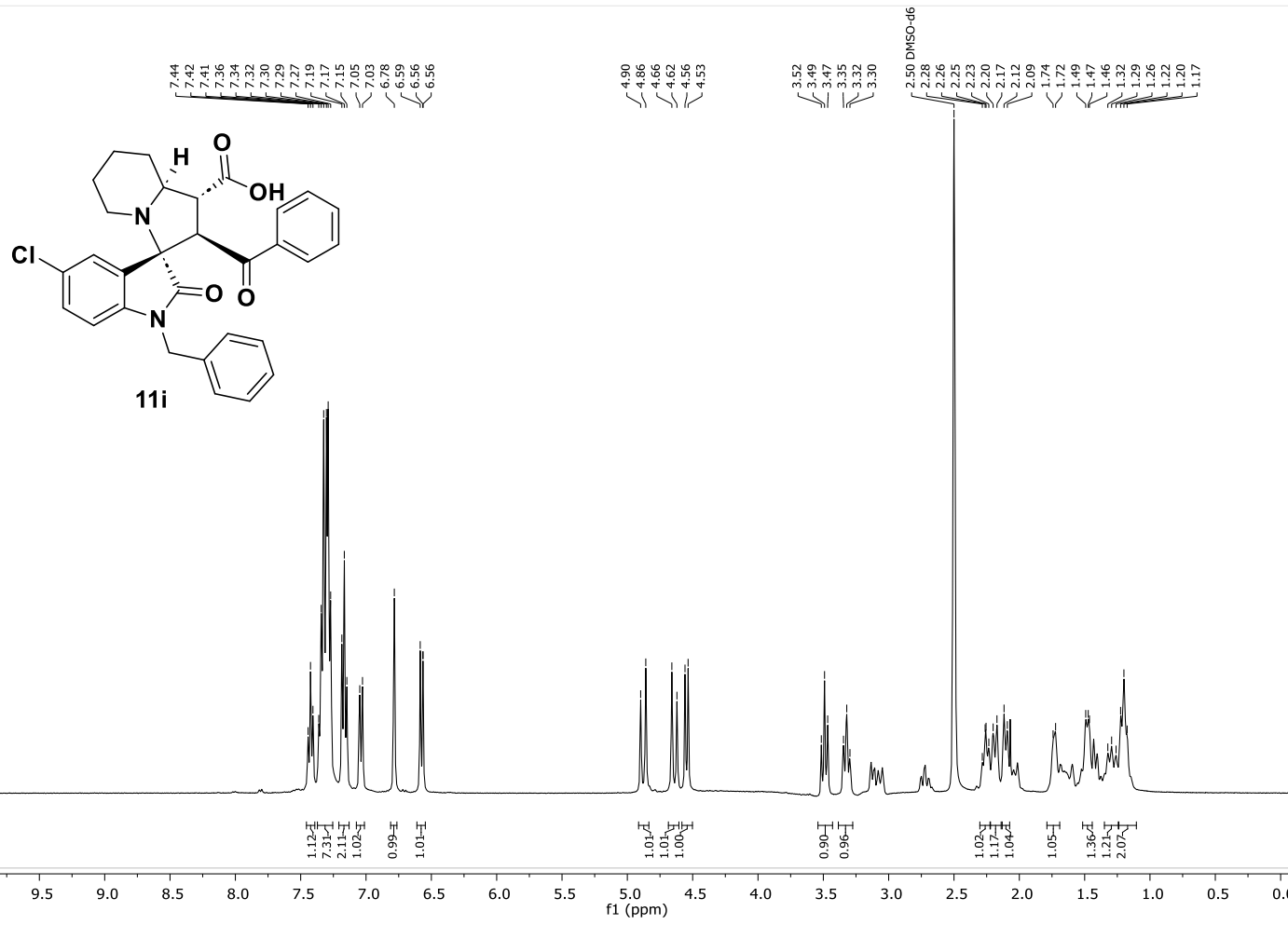


Figure S71. ^1H NMR spectra of compound **11i** recorded at 400 MHz in $\text{DMSO}-d_6$

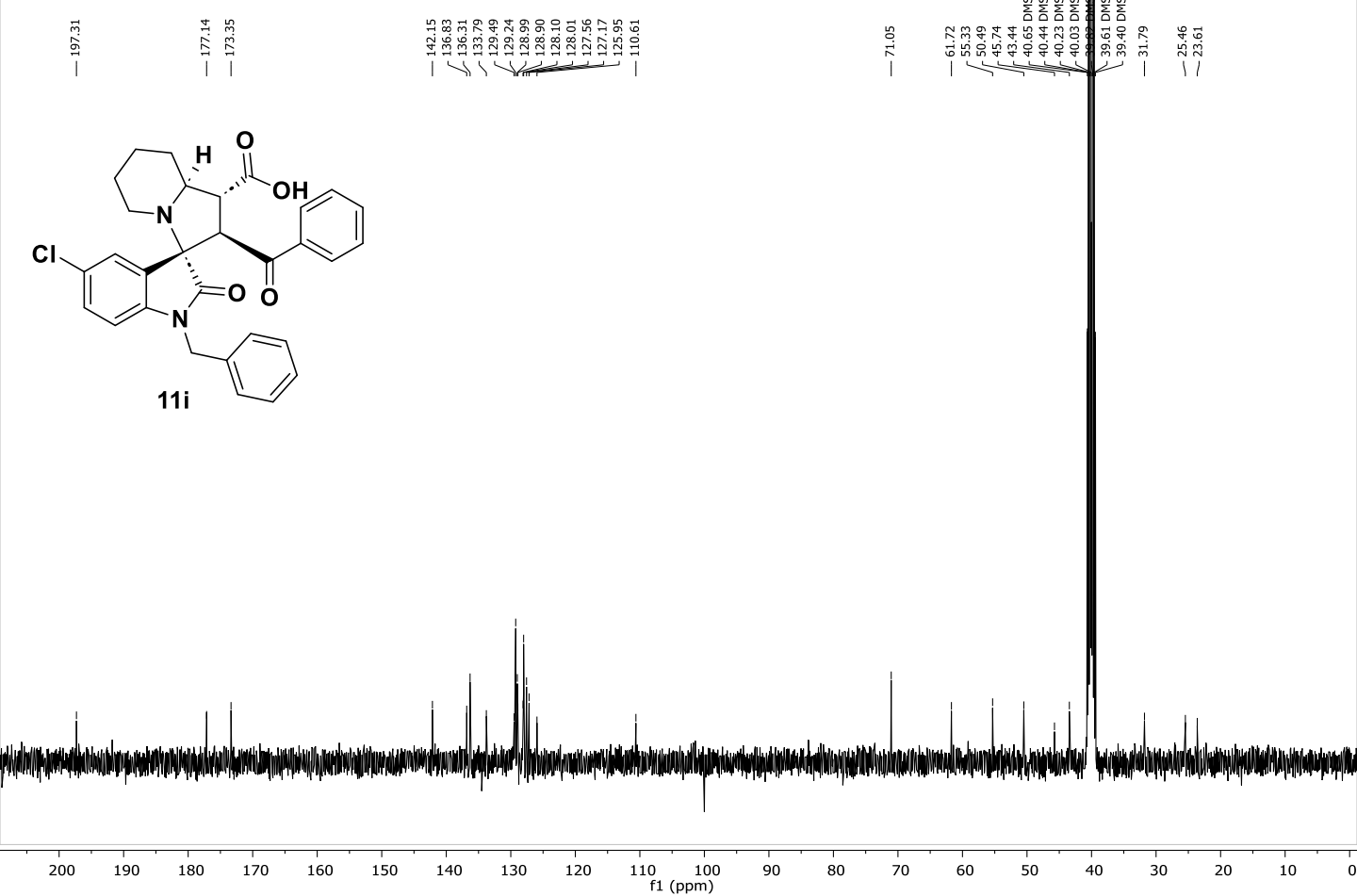


Figure S72. ^{13}C NMR spectra of compound **11i** recorded at 100 MHz in $\text{DMSO}-d_6$

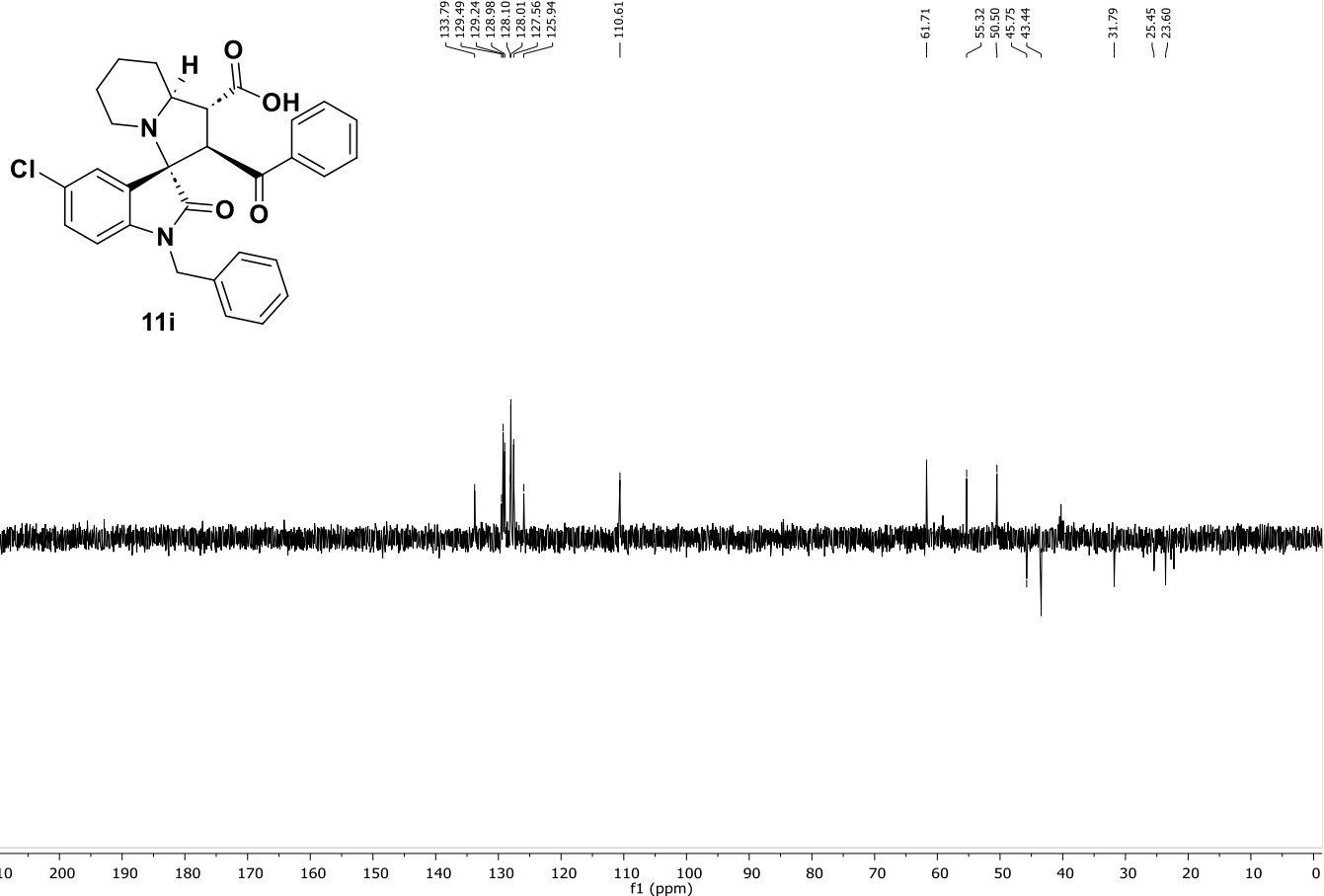


Figure S73. DEPT-135 experiment of compound **11i** in $\text{DMSO}-d_6$

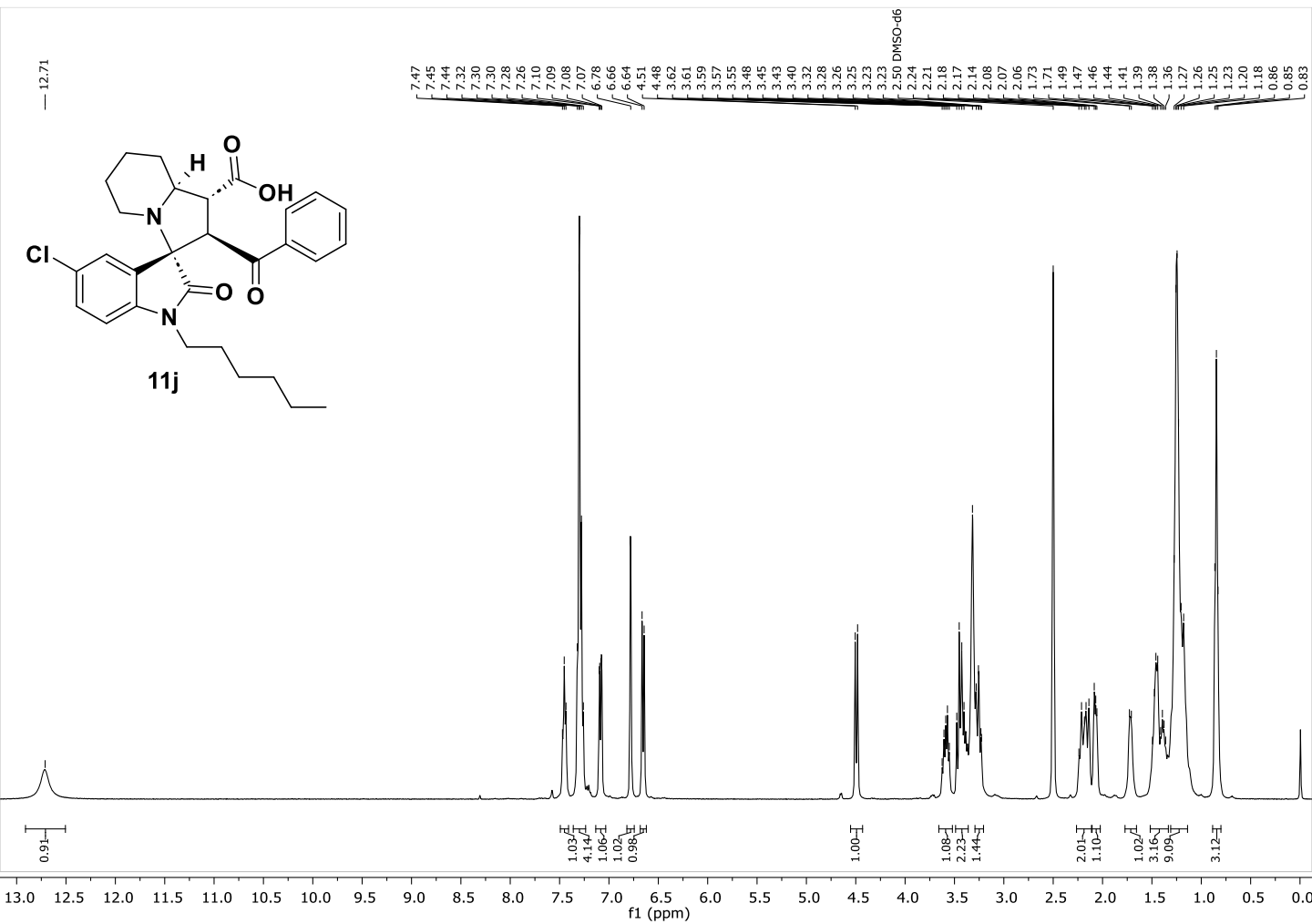


Figure S74. ^1H NMR spectra of compound **11j** recorded at 400 MHz in $\text{DMSO}-d_6$

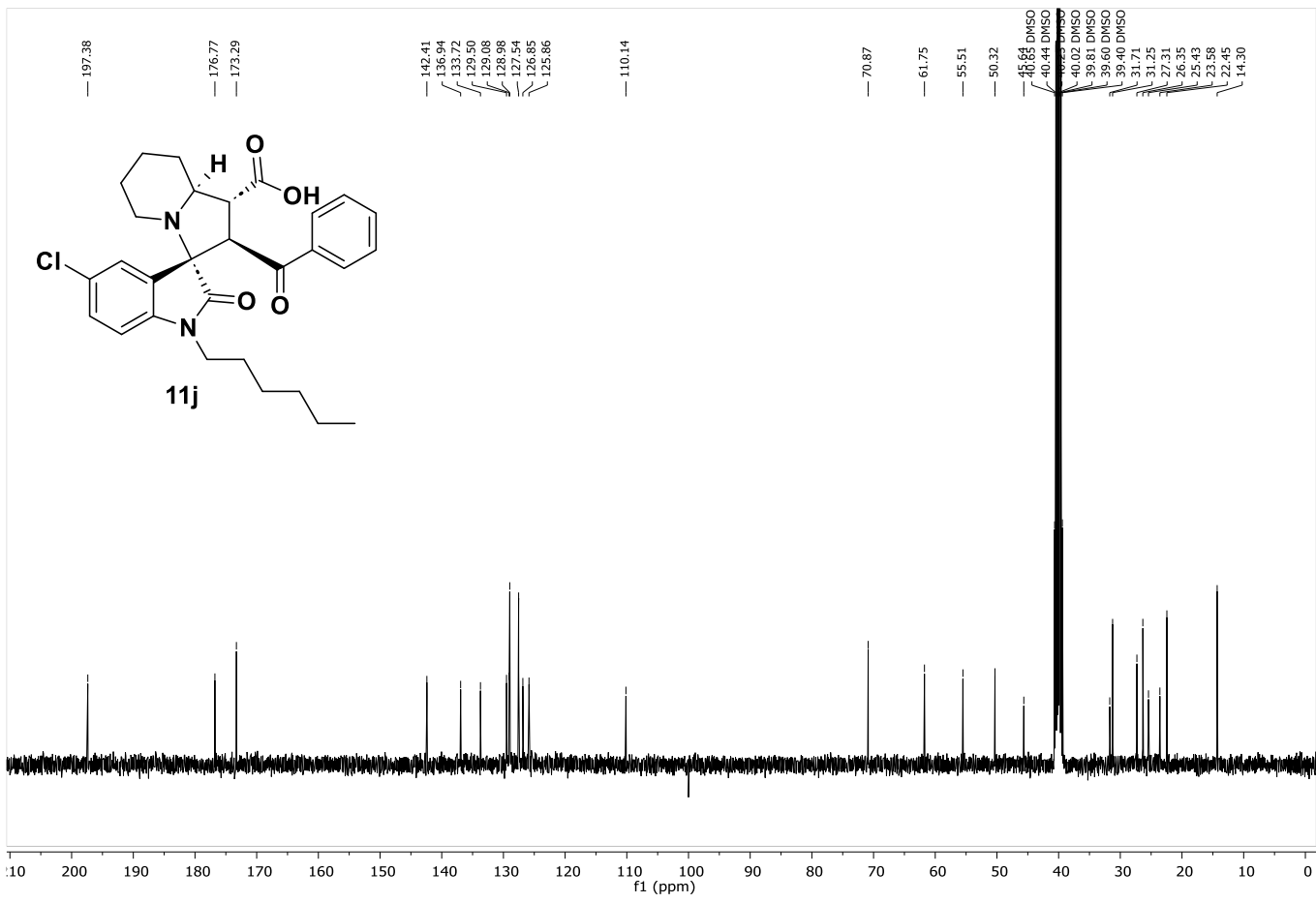


Figure S75. ¹³C NMR spectra of compound **11j** recorded at 100 MHz in DMSO-*d*₆

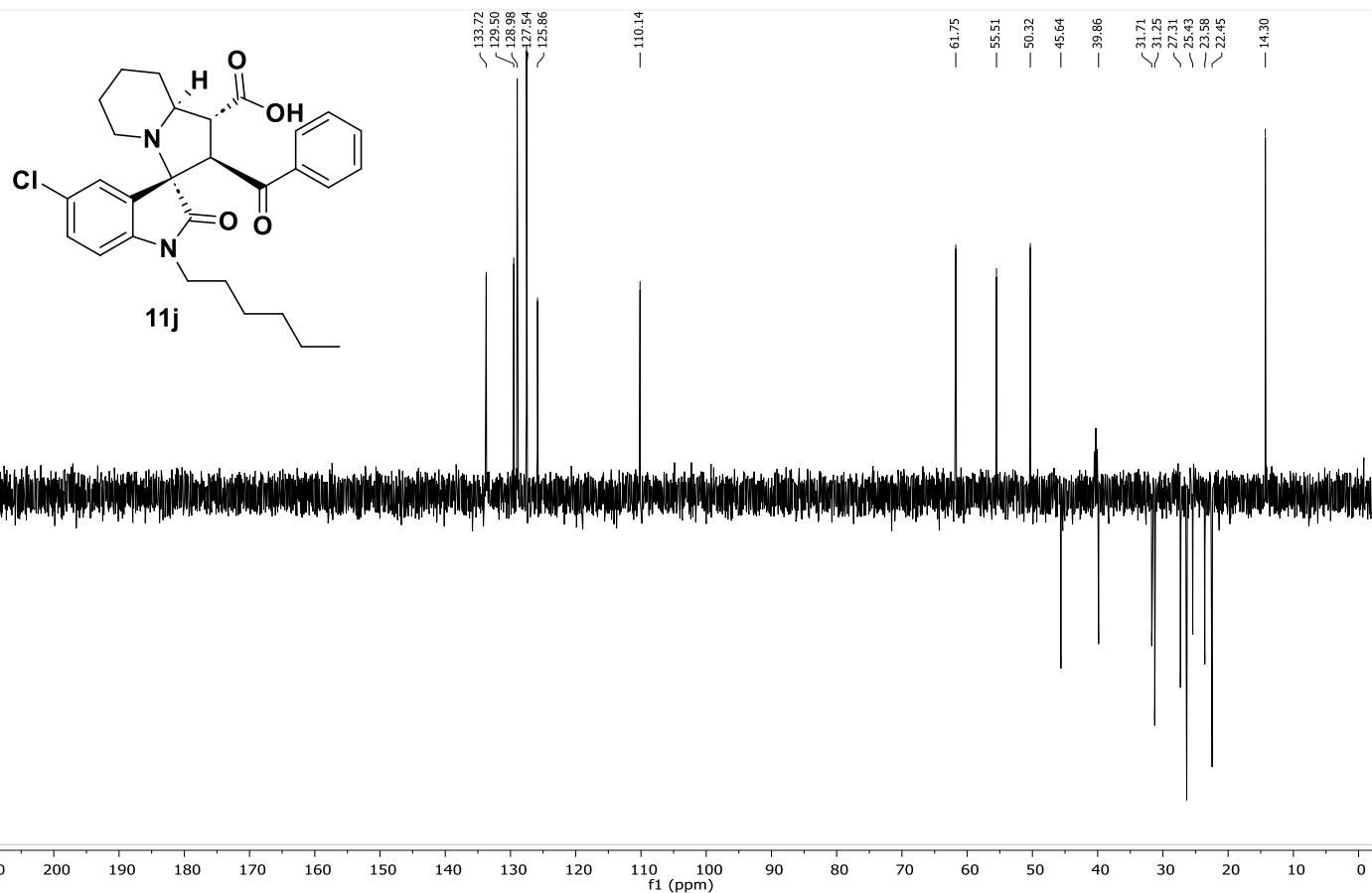


Figure S76. DEPT-135 experiment of compound **11j** in $\text{DMSO}-d_6$

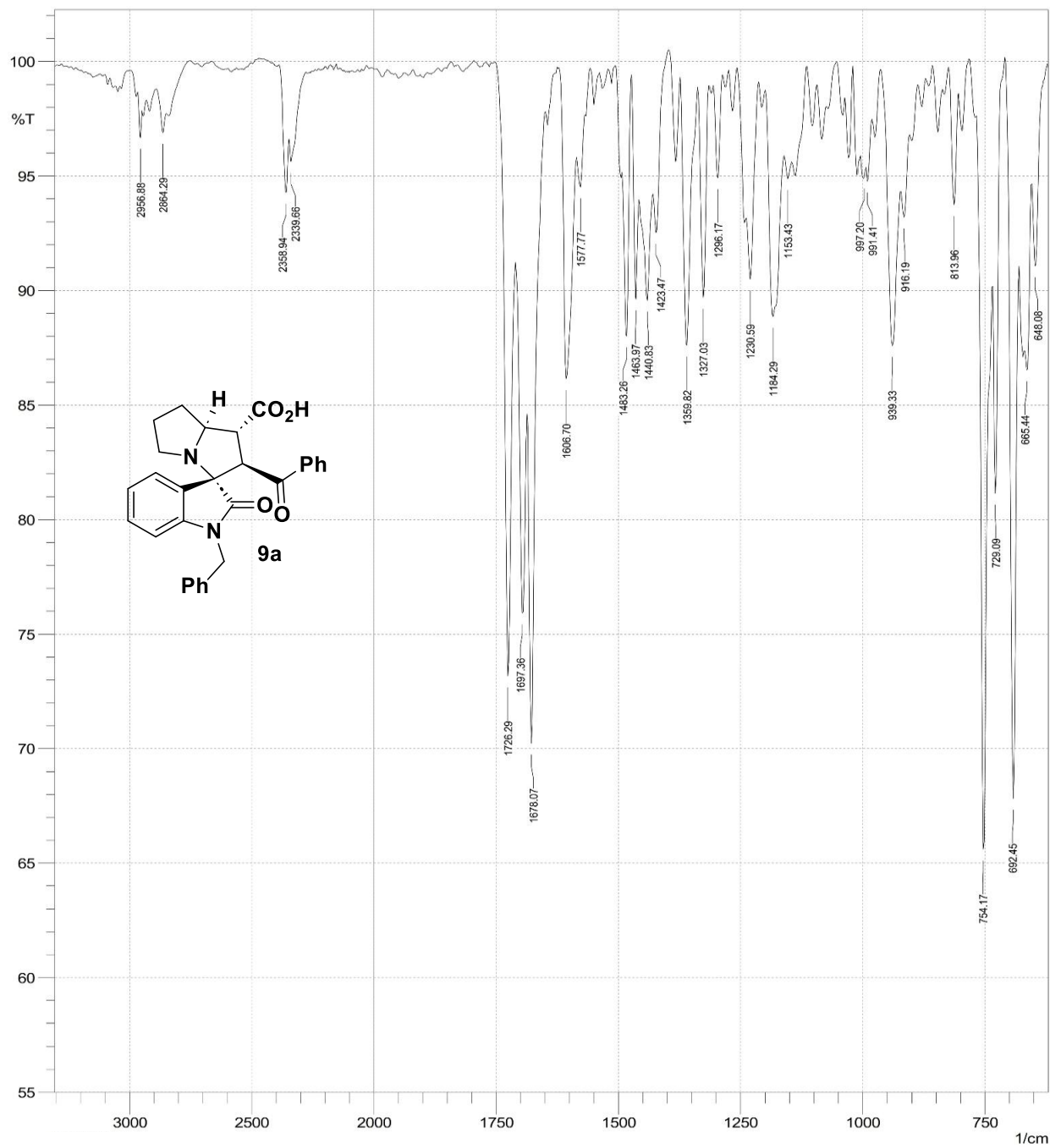


Figure S77. FT-IR spectra of compound **9a**

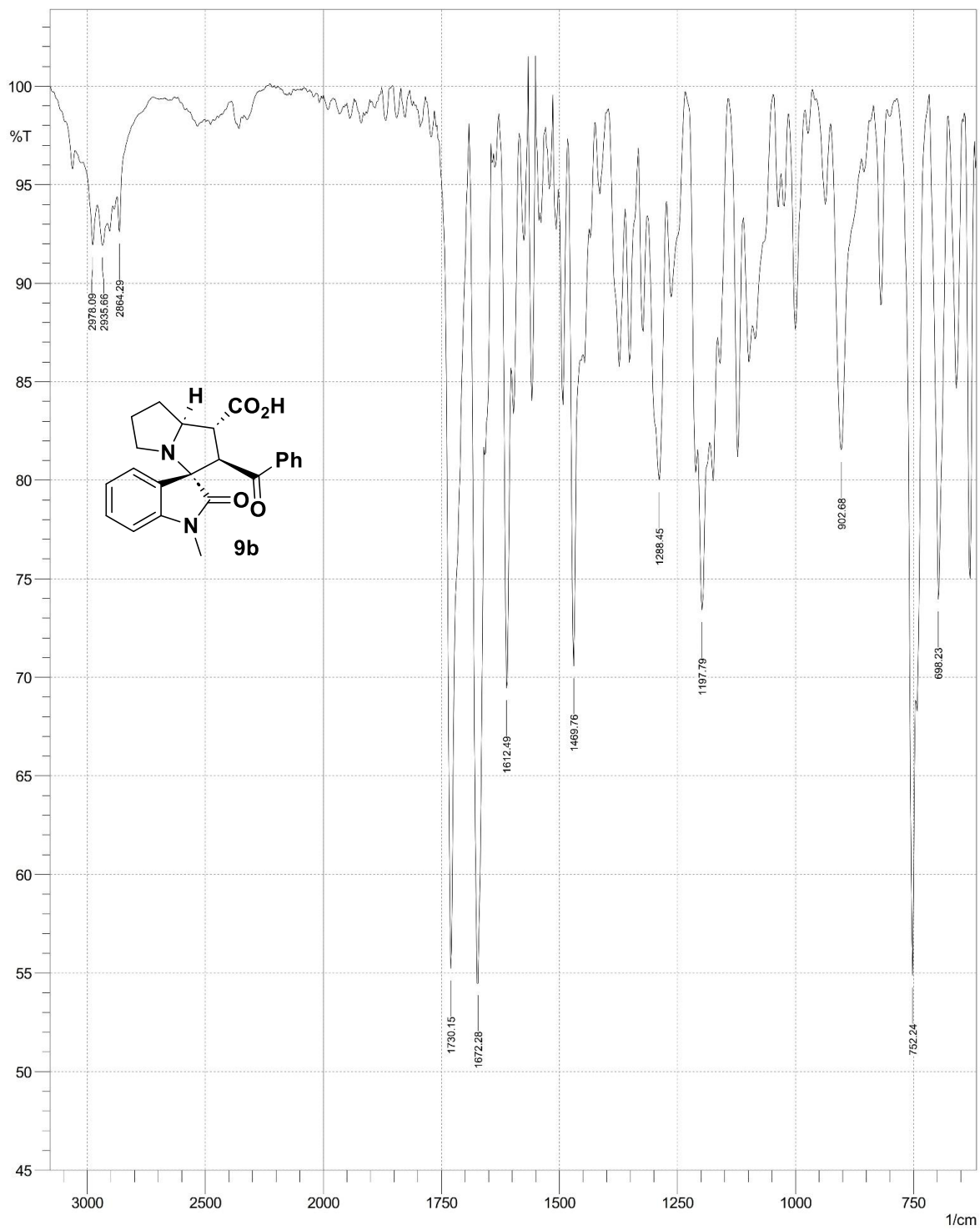


Figure S78. FT-IR spectra of compound **9b**

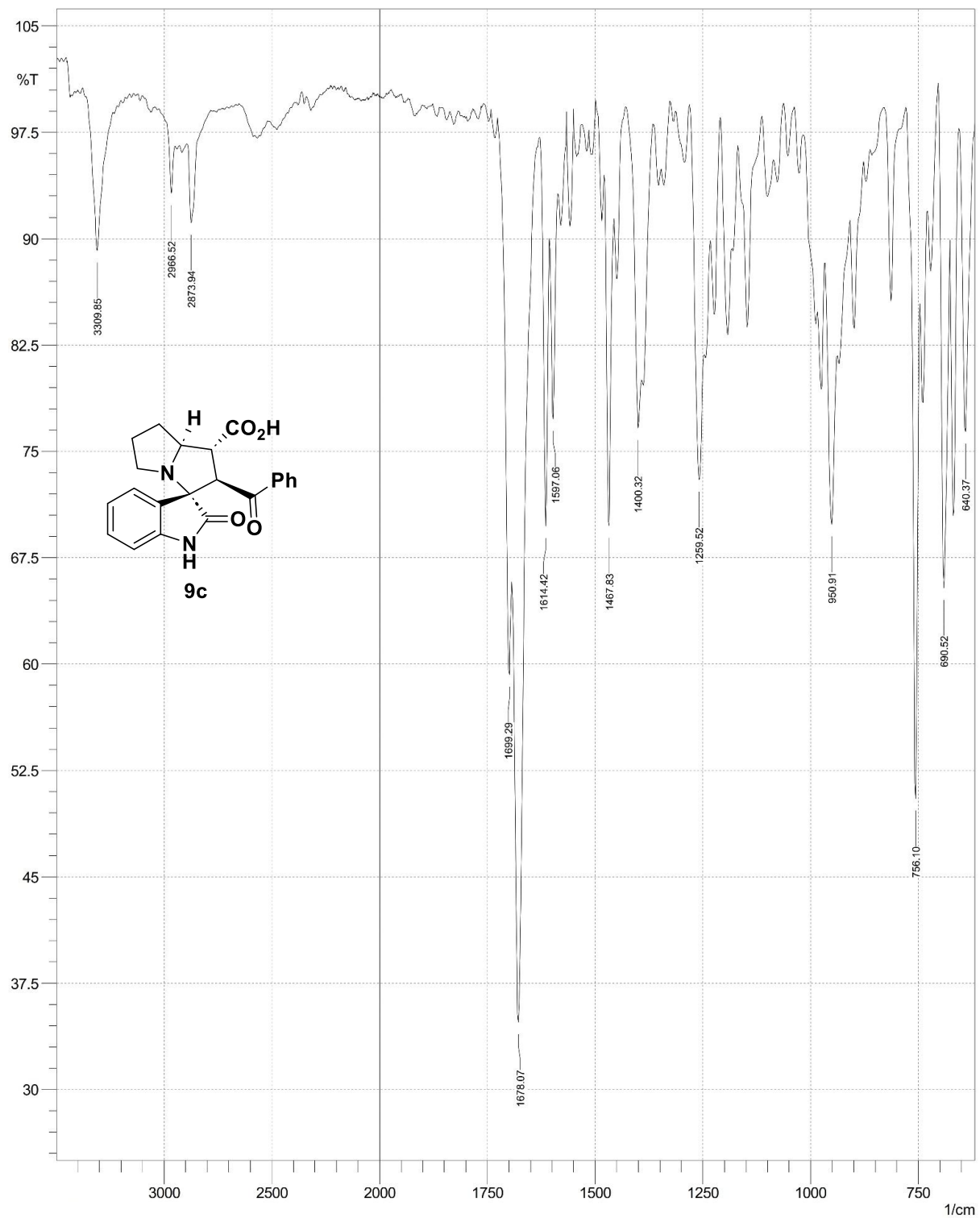


Figure S79. FT-IR spectra of compound 9c

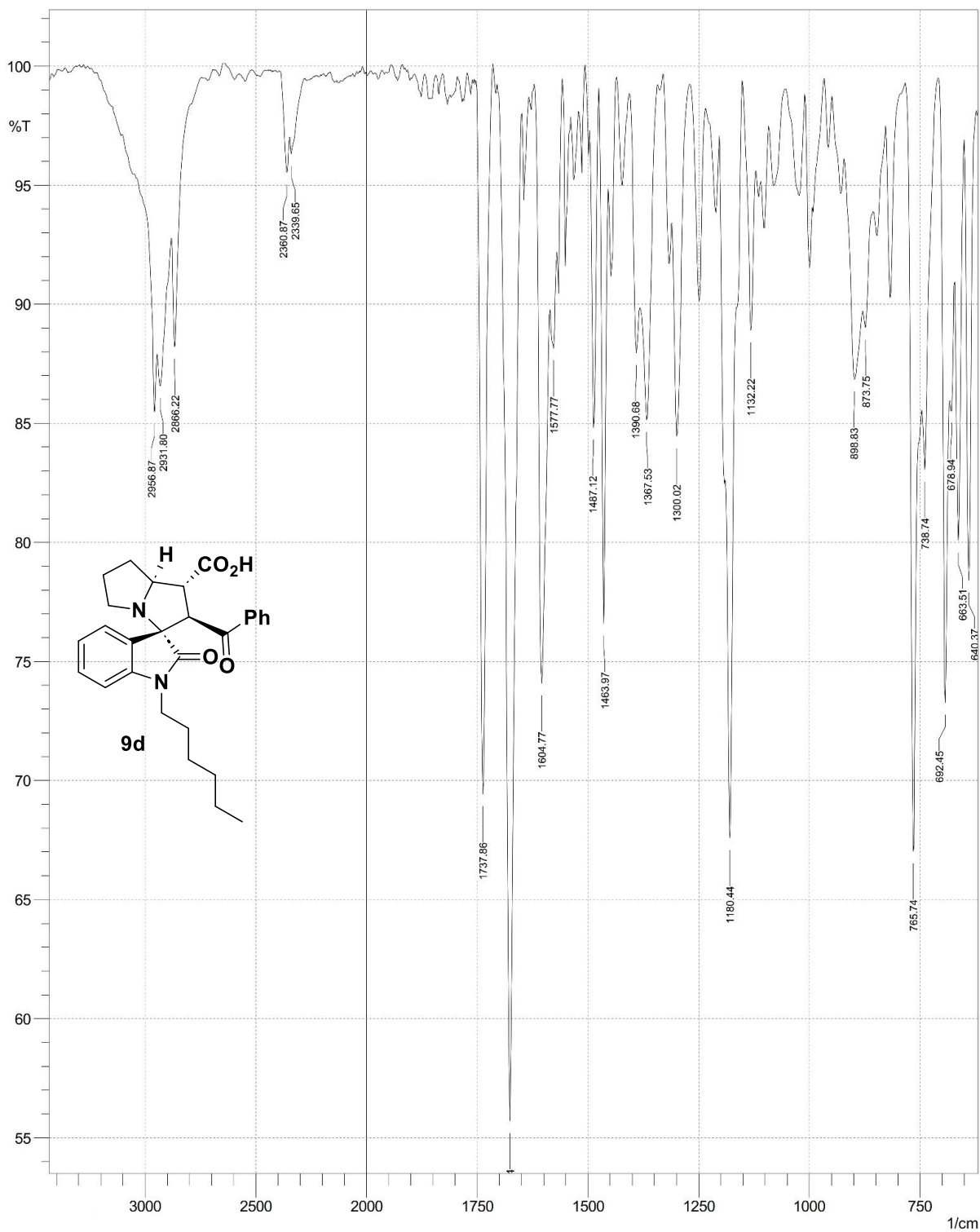


Figure S80. FT-IR spectra of compound **9d**

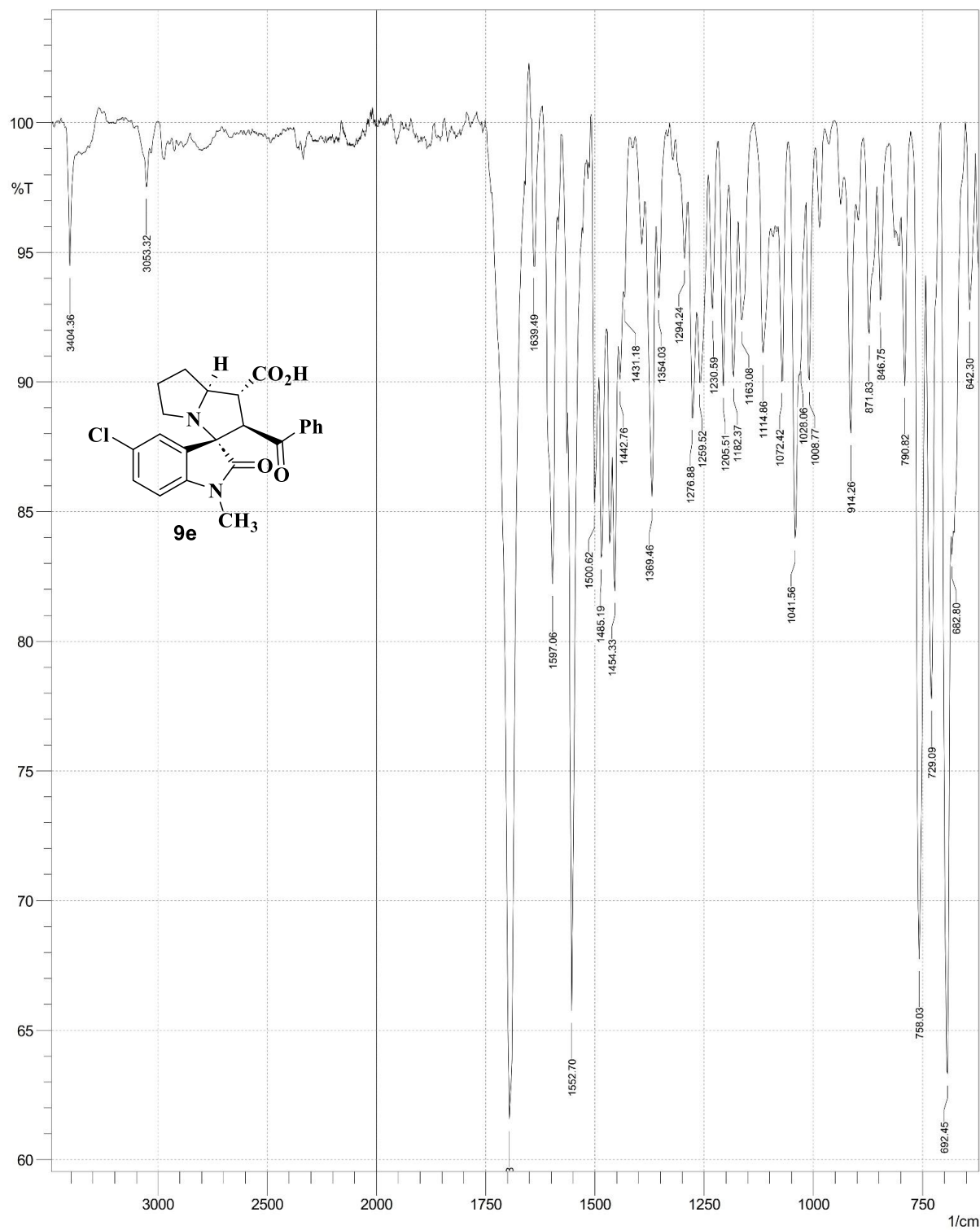


Figure S81. FT-IR spectra of compound **9e**

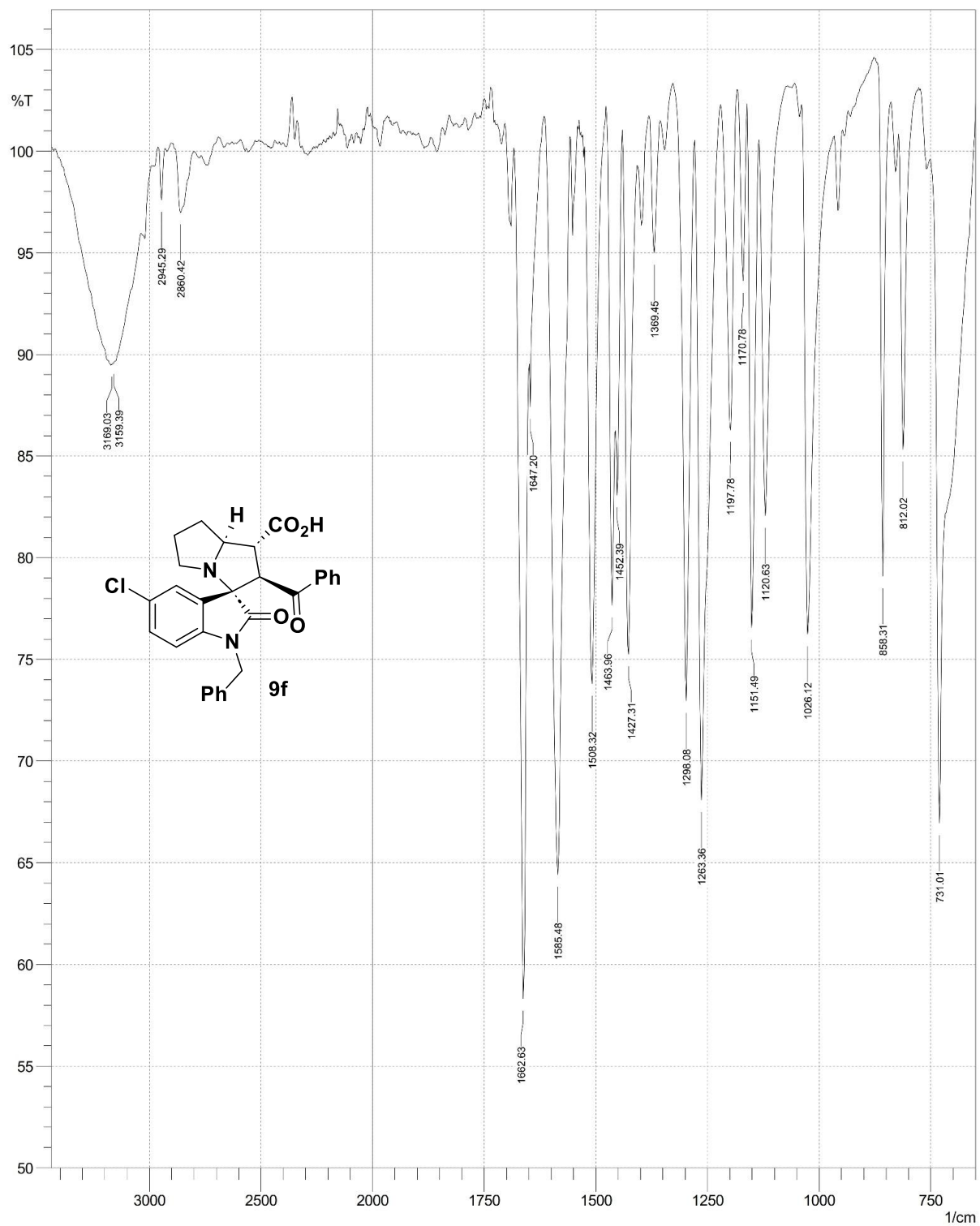


Figure S82. FT-IR spectra of compound **9f**

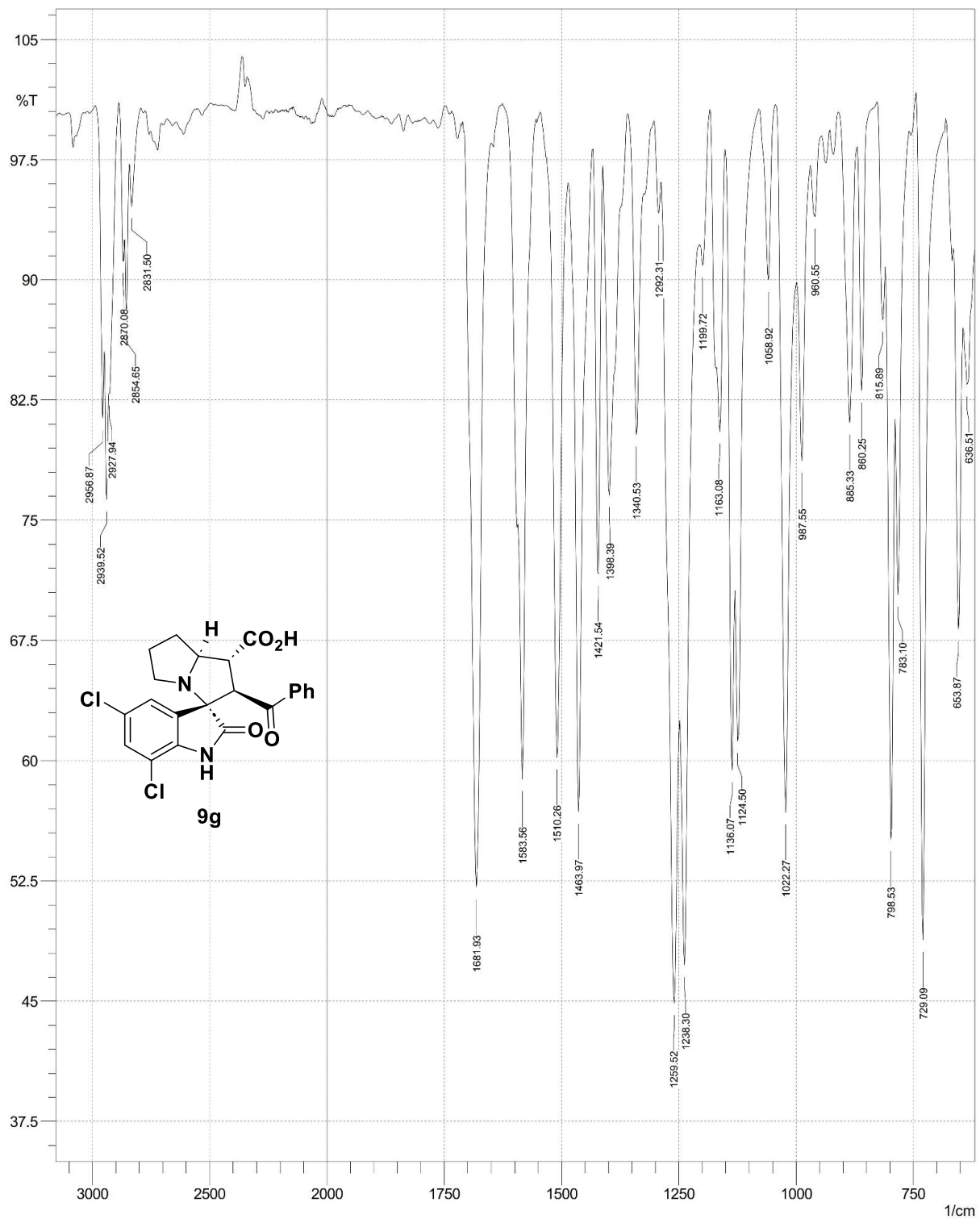


Figure S83. FT-IR spectra of compound **9g**

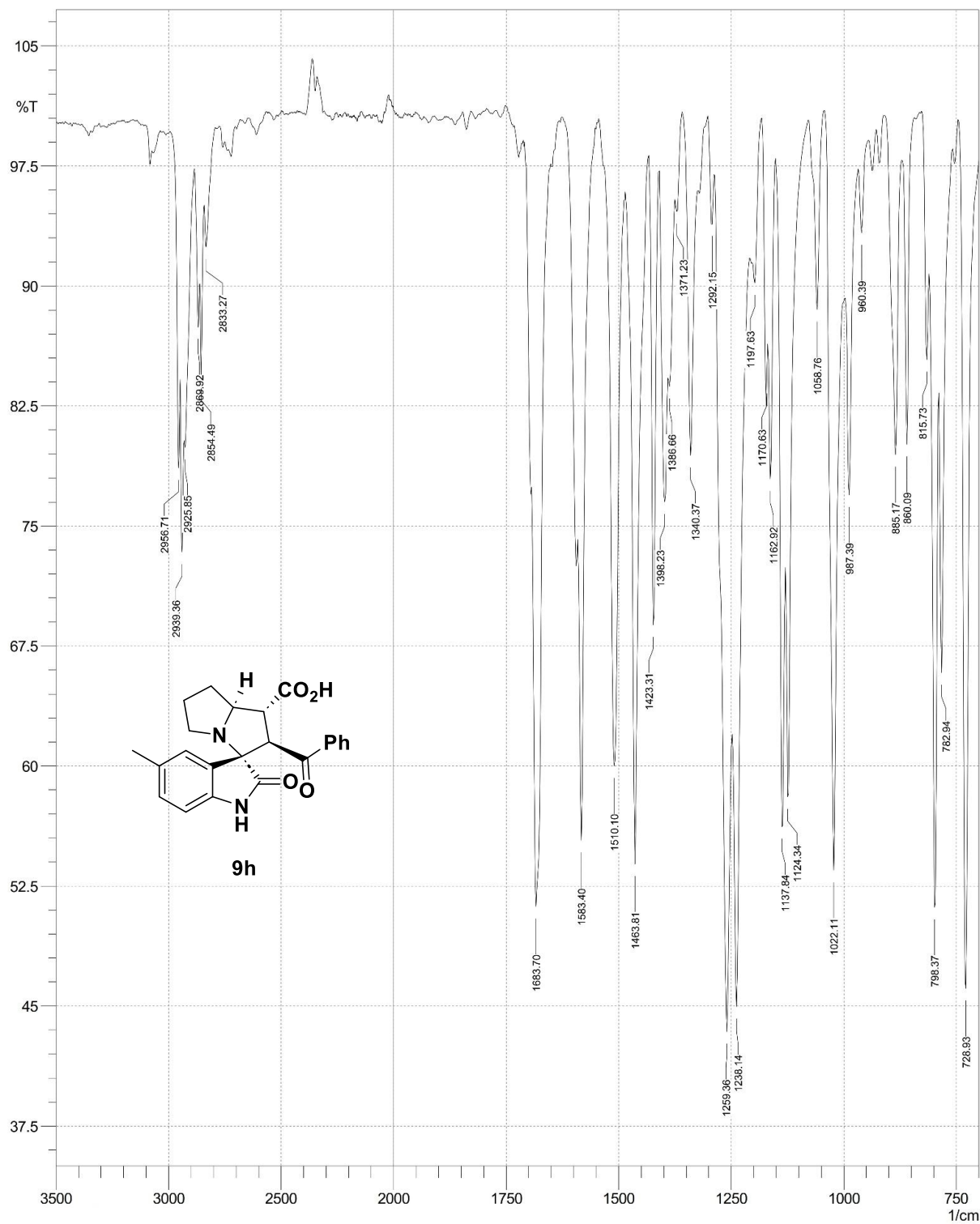


Figure S84. FT-IR spectra of compound **9h**

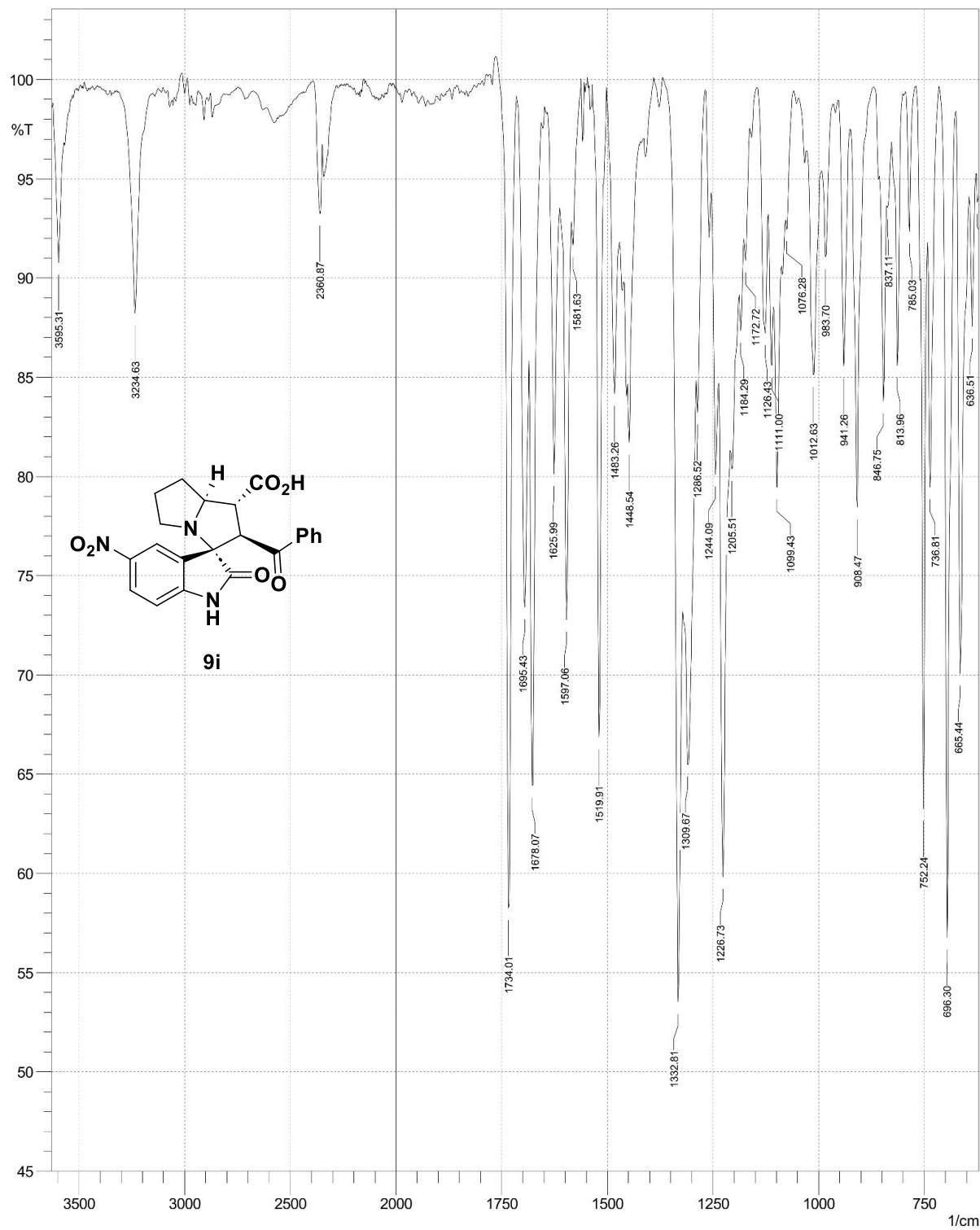


Figure S85. FT-IR spectra of compound **9i**

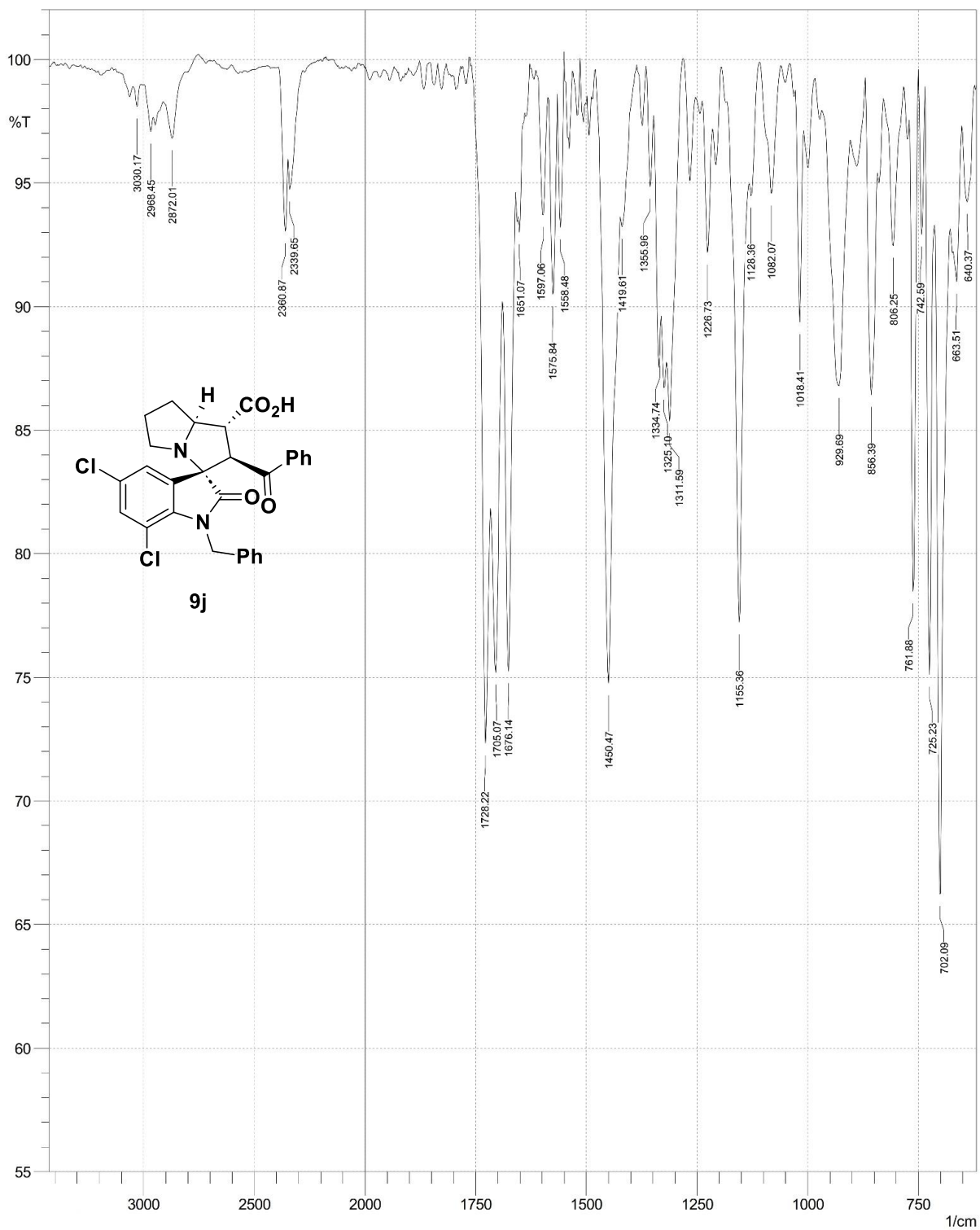


Figure S86. FT-IR spectra of compound **9j**

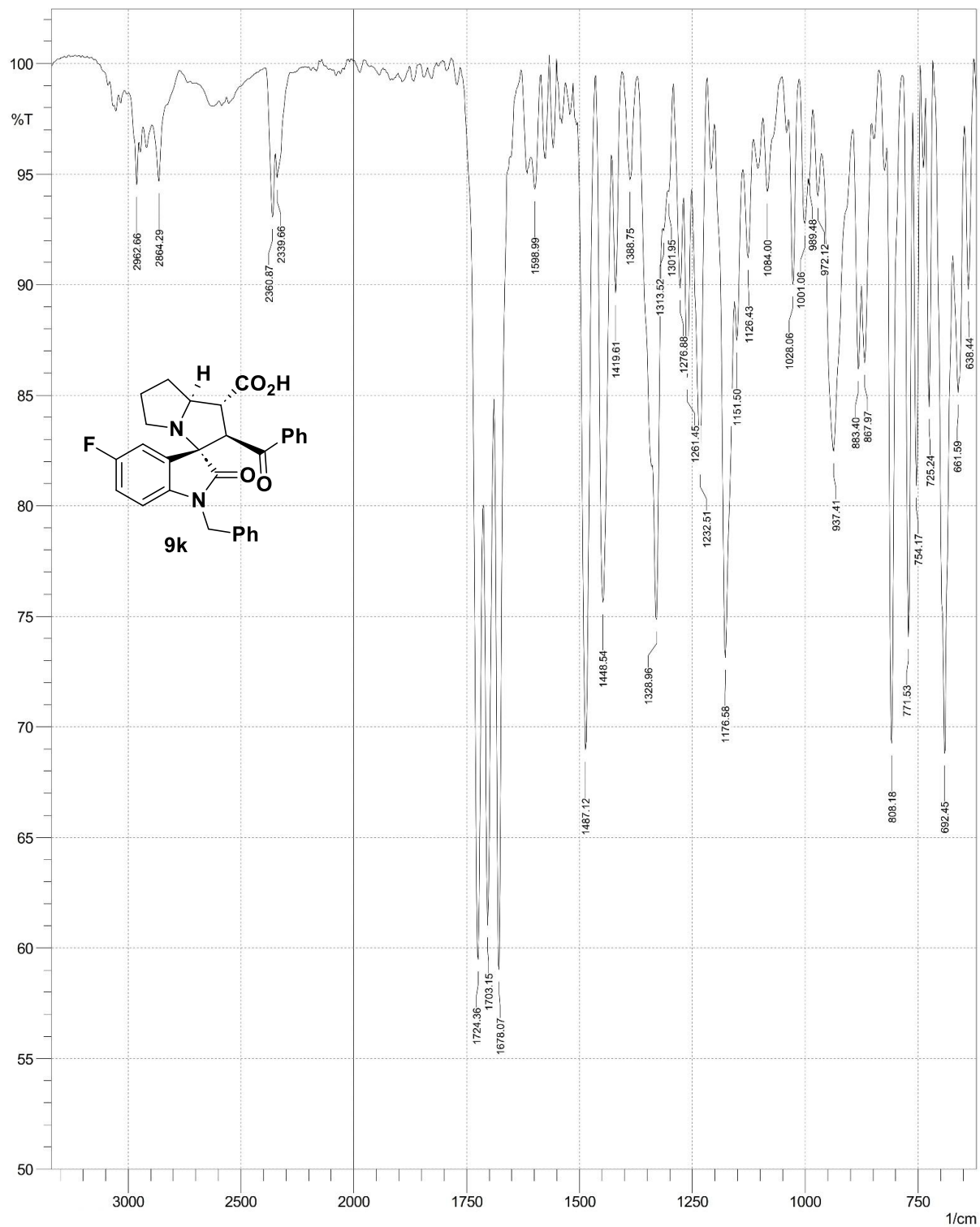


Figure S87. FT-IR spectra of compound **9k**

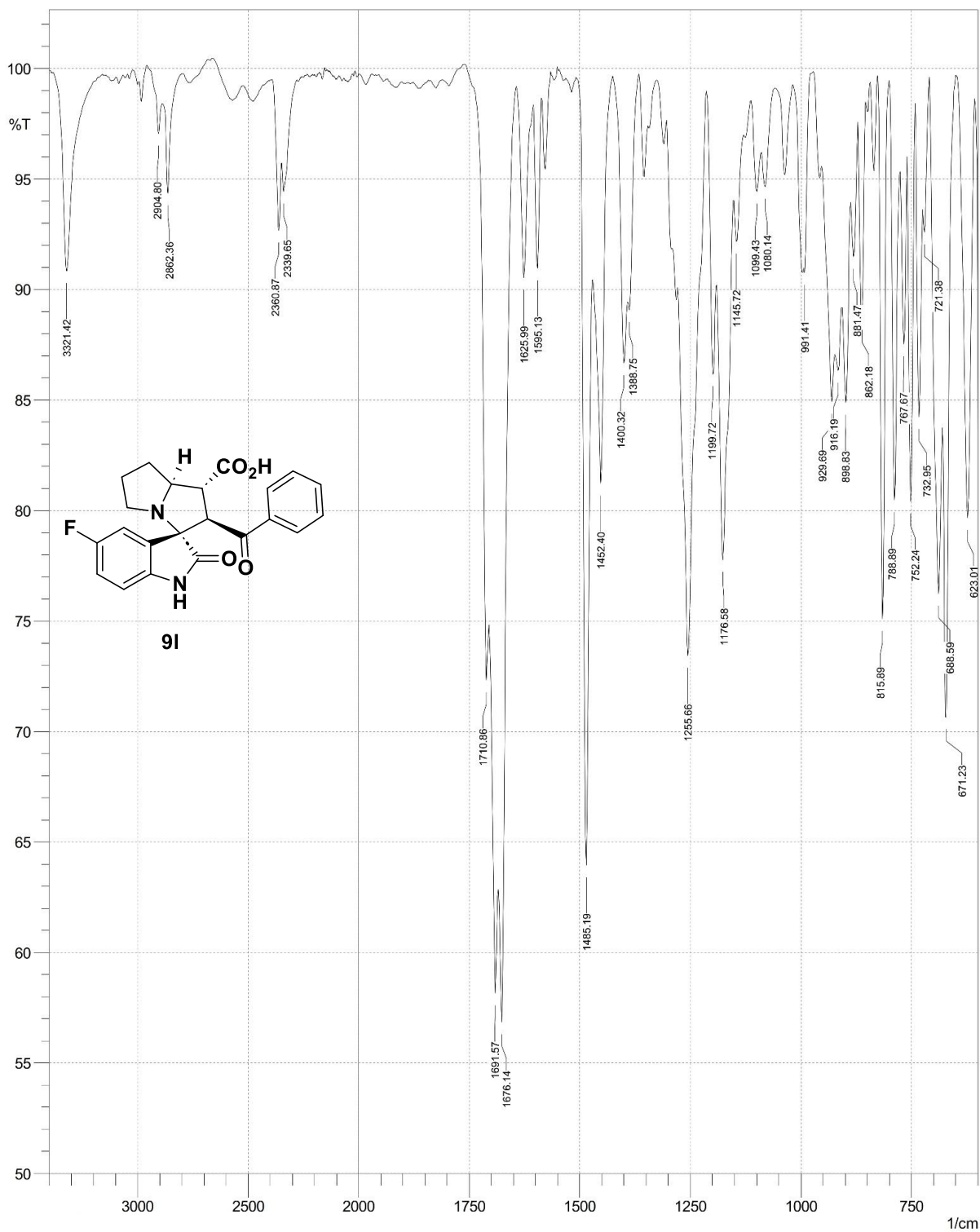


Figure S88. FT-IR spectra of compound **9l**

SHIMADZU

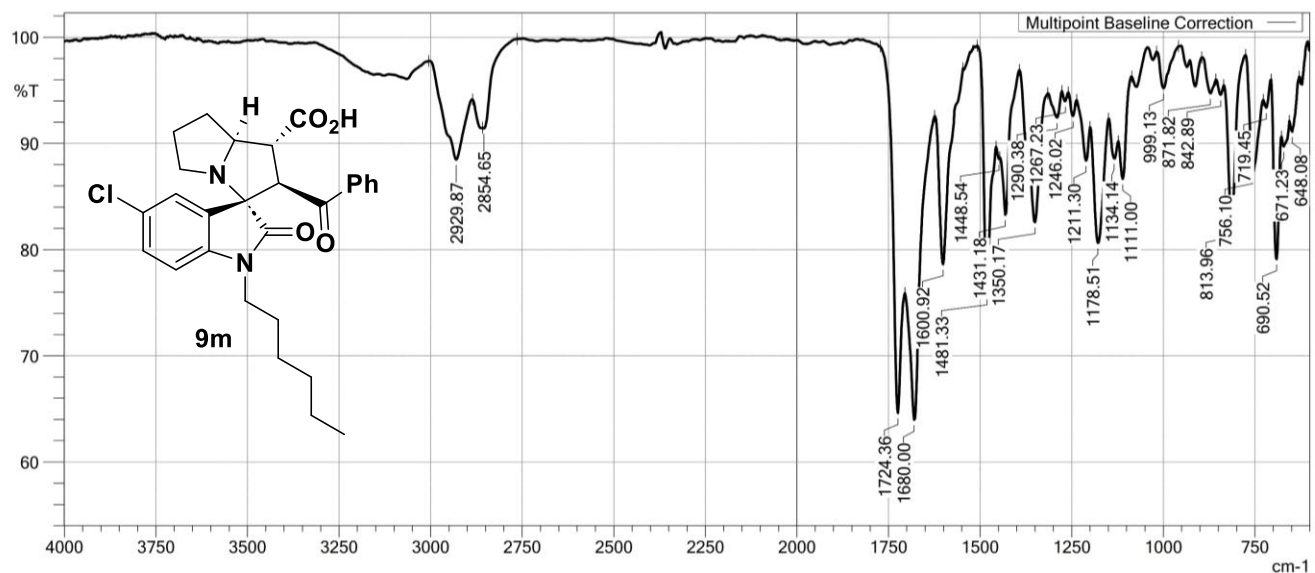


Figure S89. FT-IR spectra of compound **9m**

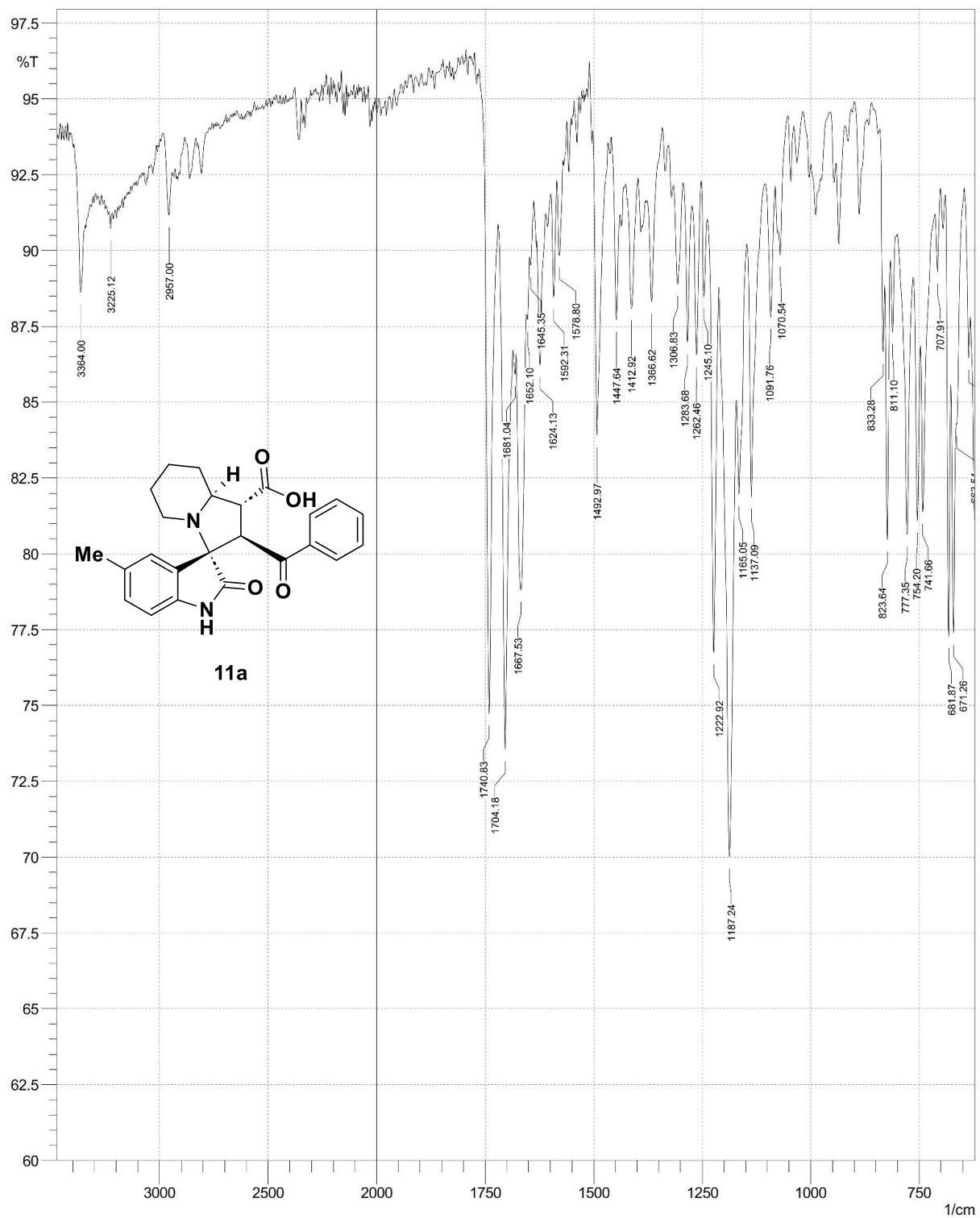


Figure S90. FT-IR spectra of compound 11a

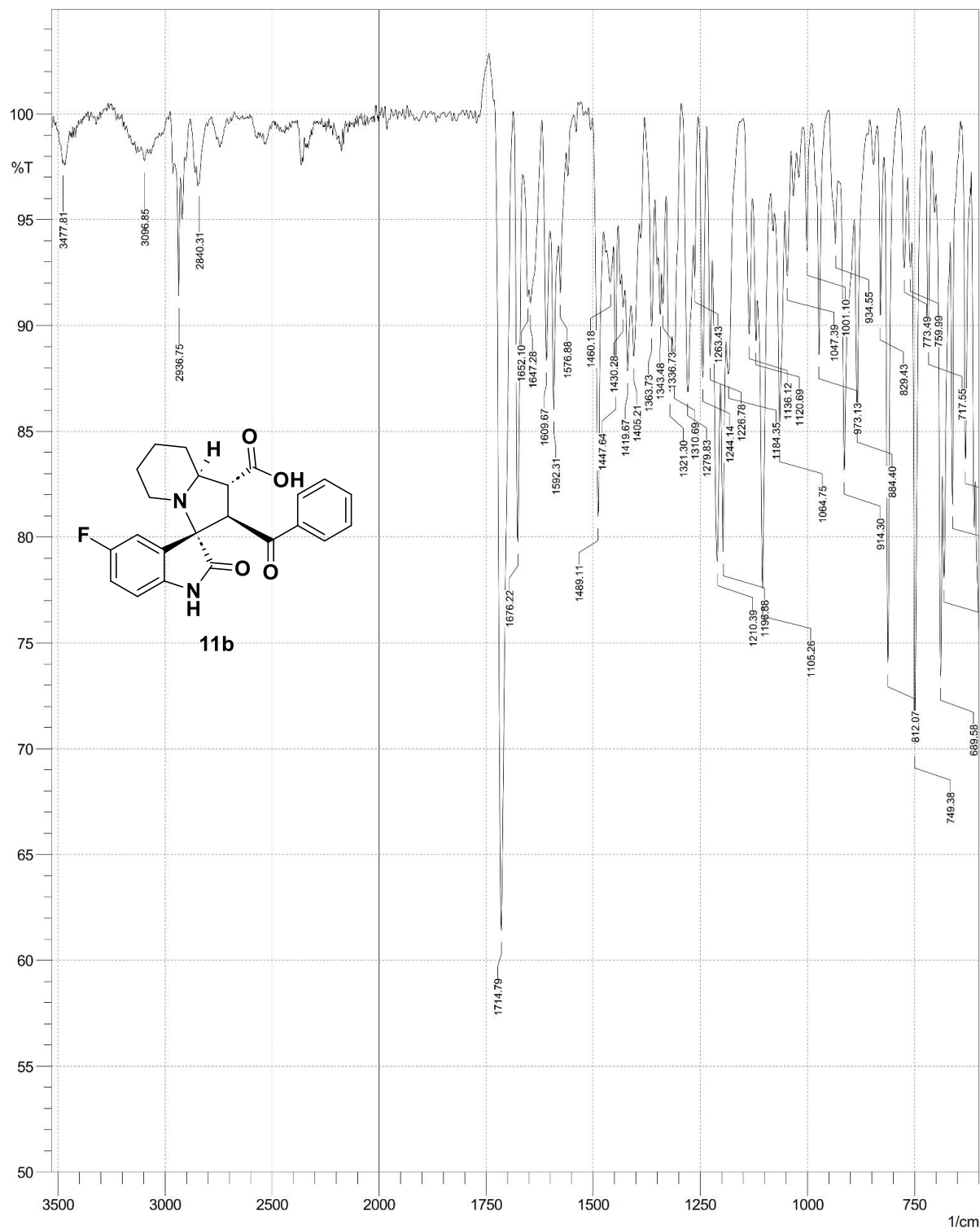


Figure S91. FT-IR spectra of compound **11b**

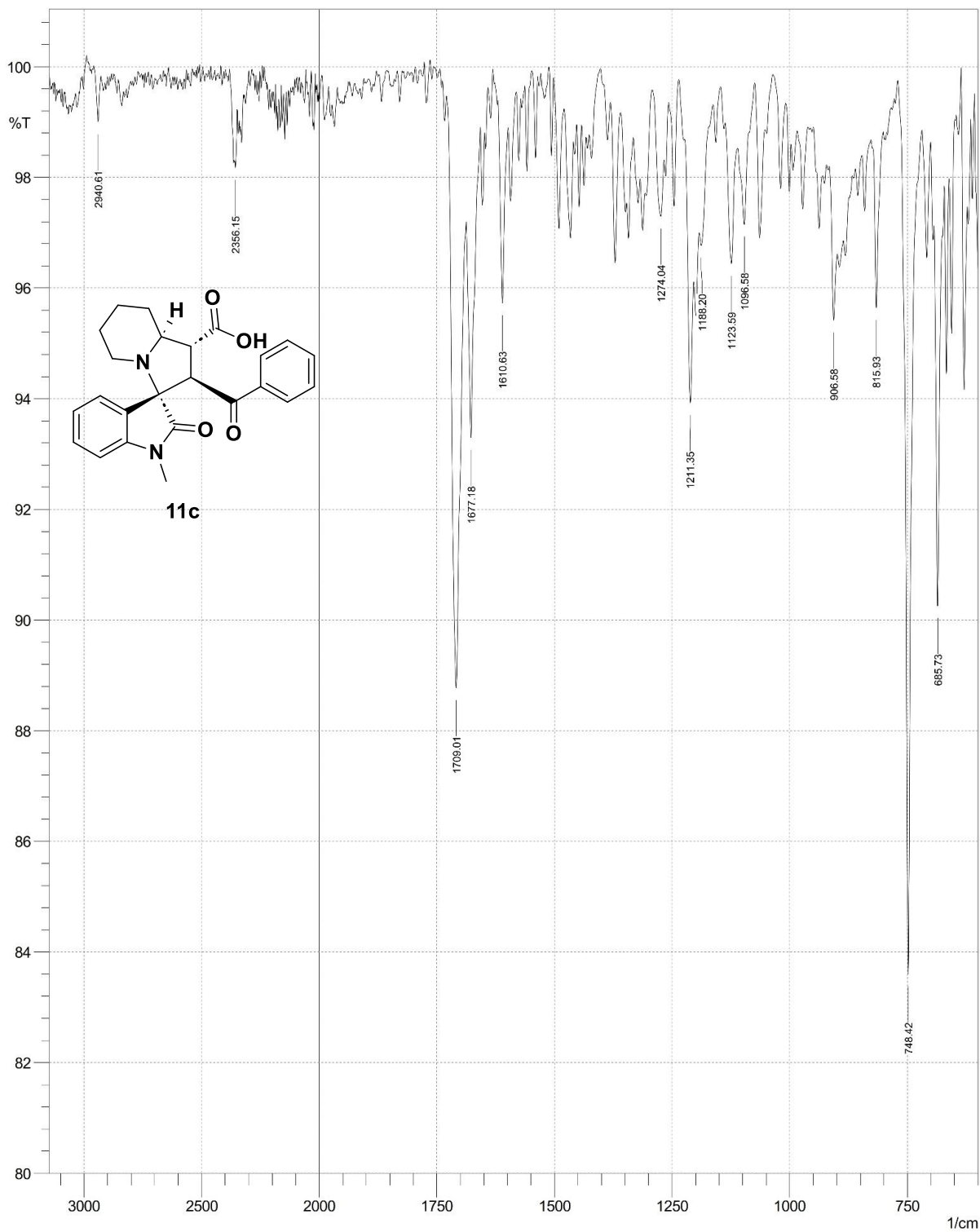


Figure S92. FT-IR spectra of compound **11c**

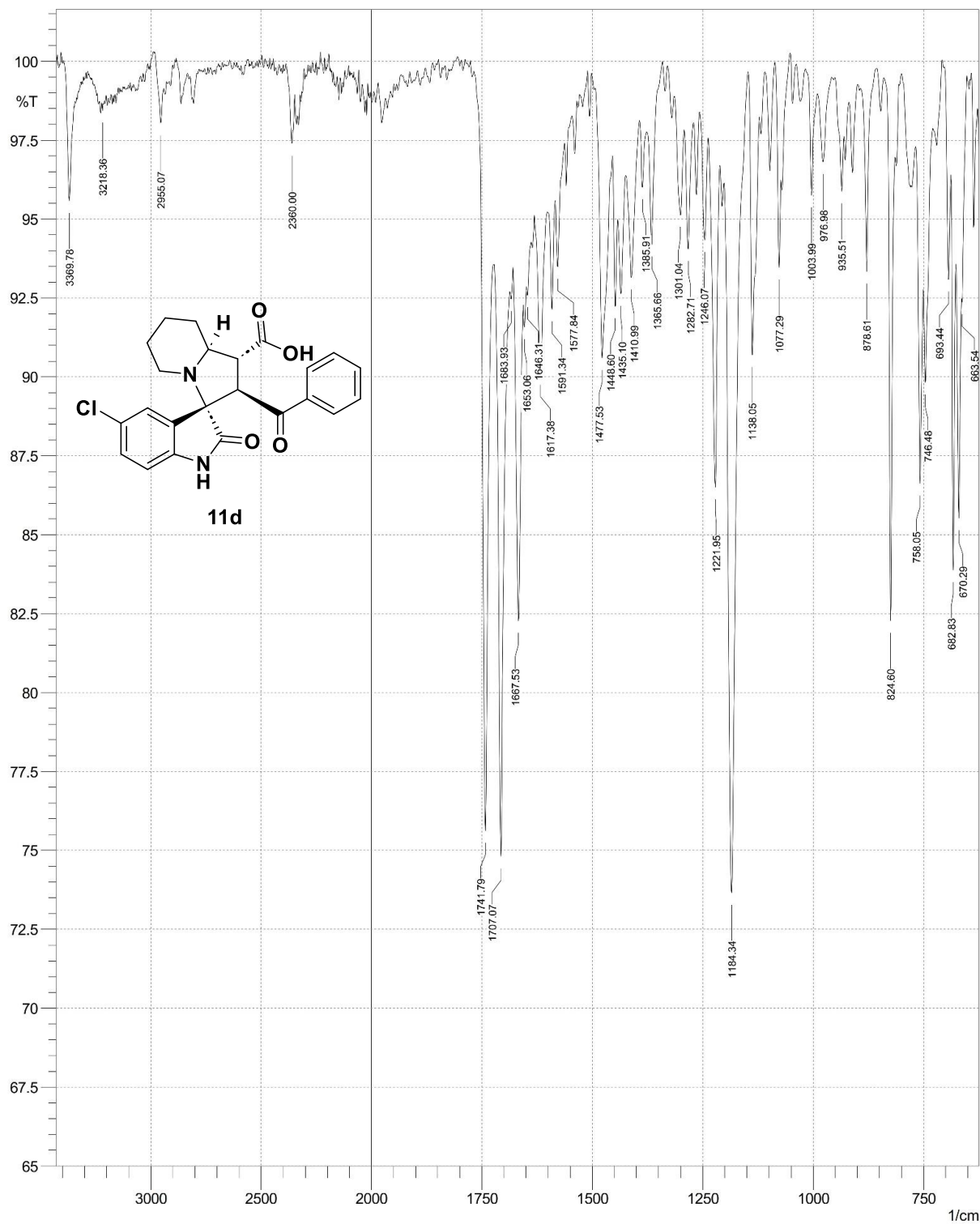


Figure S93. FT-IR spectra of compound **11d**

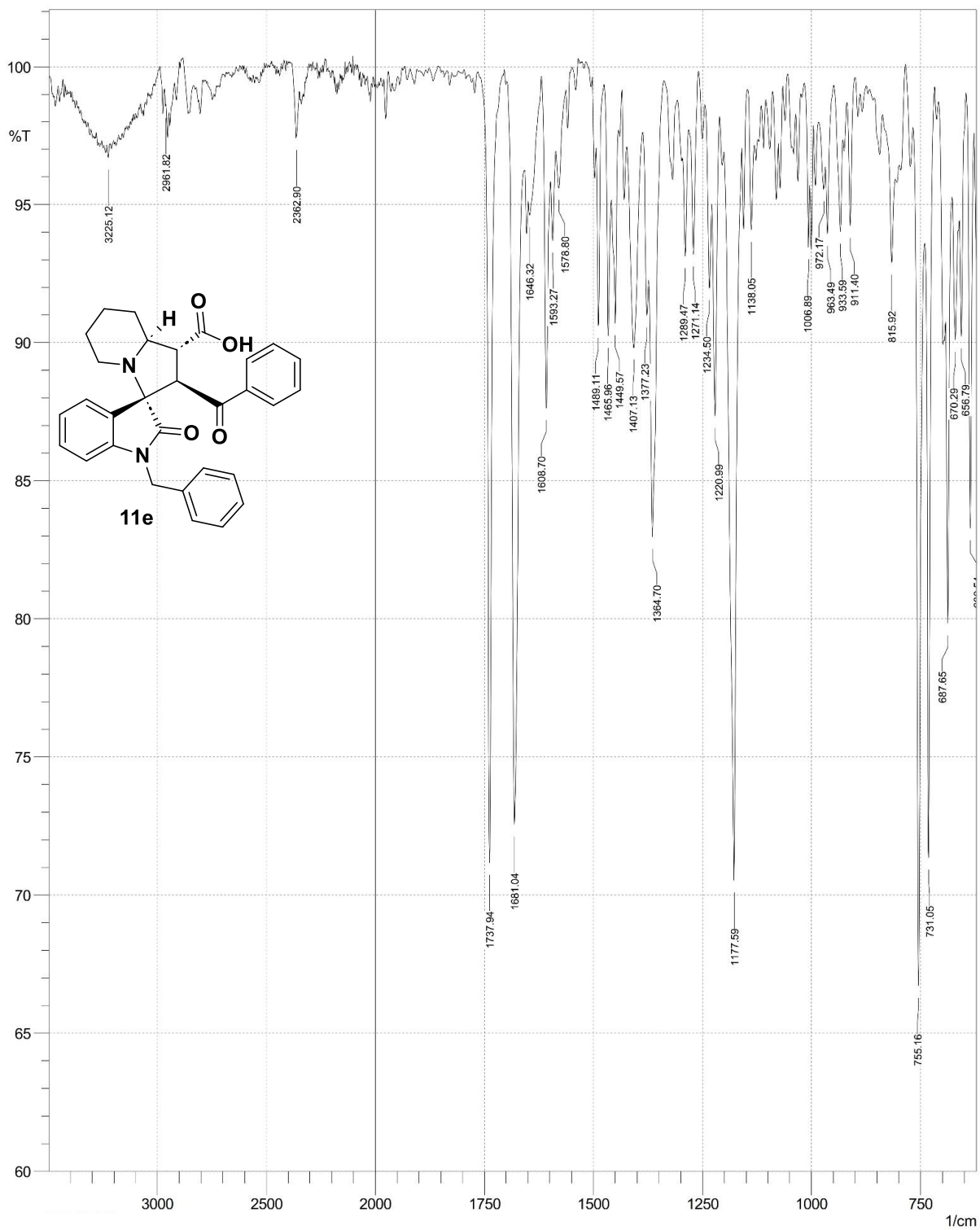


Figure S94. FT-IR spectra of compound **11e**

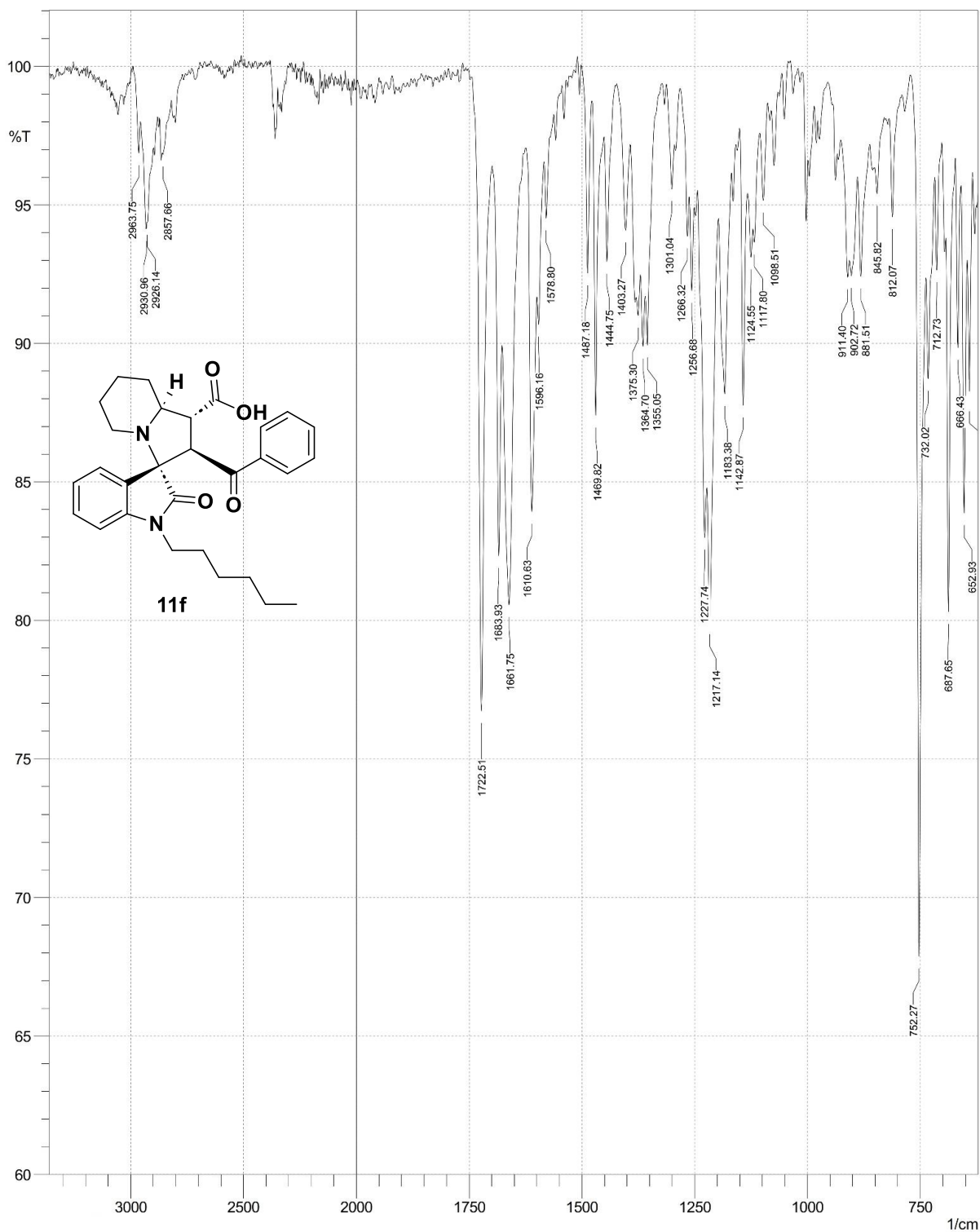


Figure S95. FT-IR spectra of compound **11f**

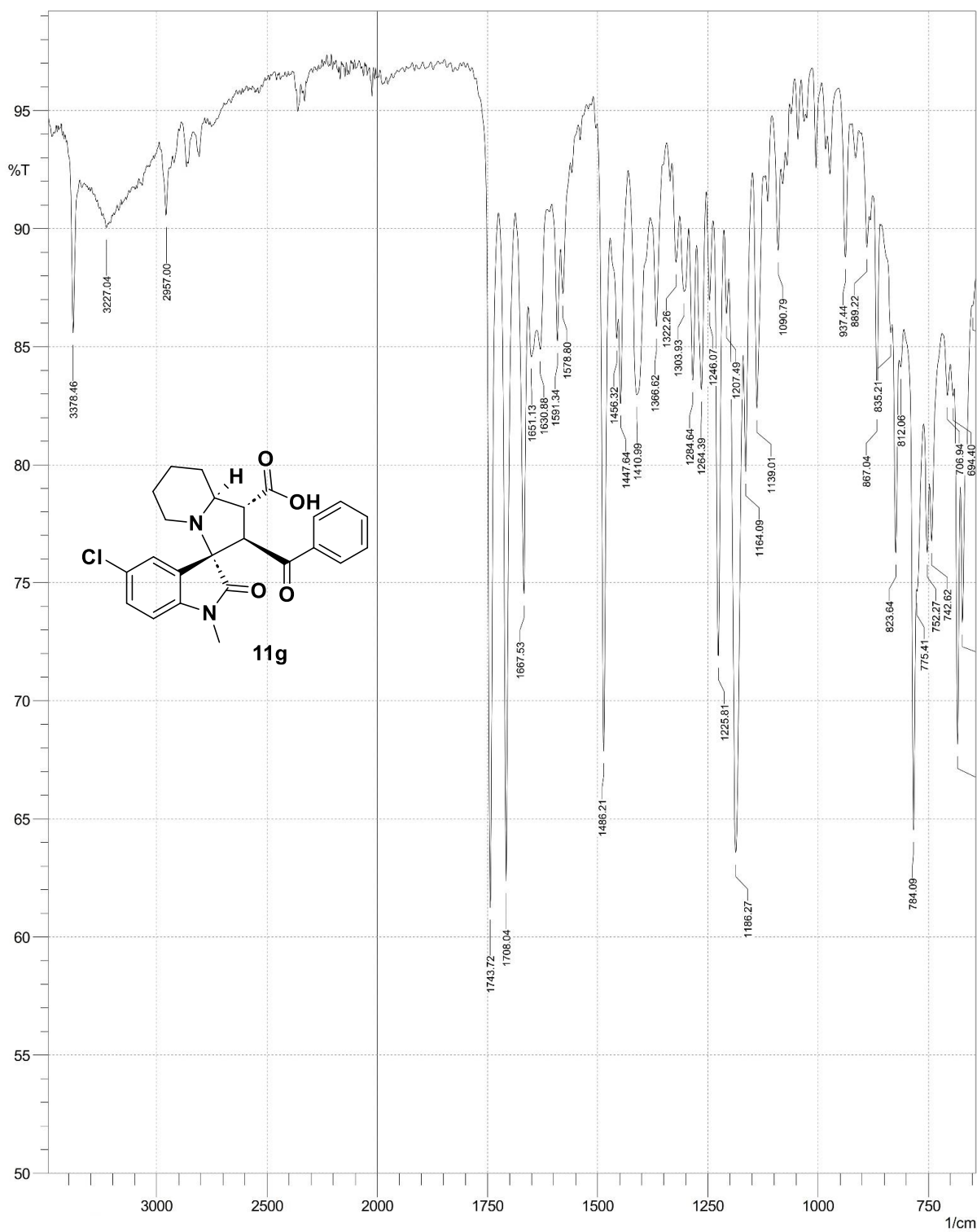


Figure S96. FT-IR spectra of compound **11g**

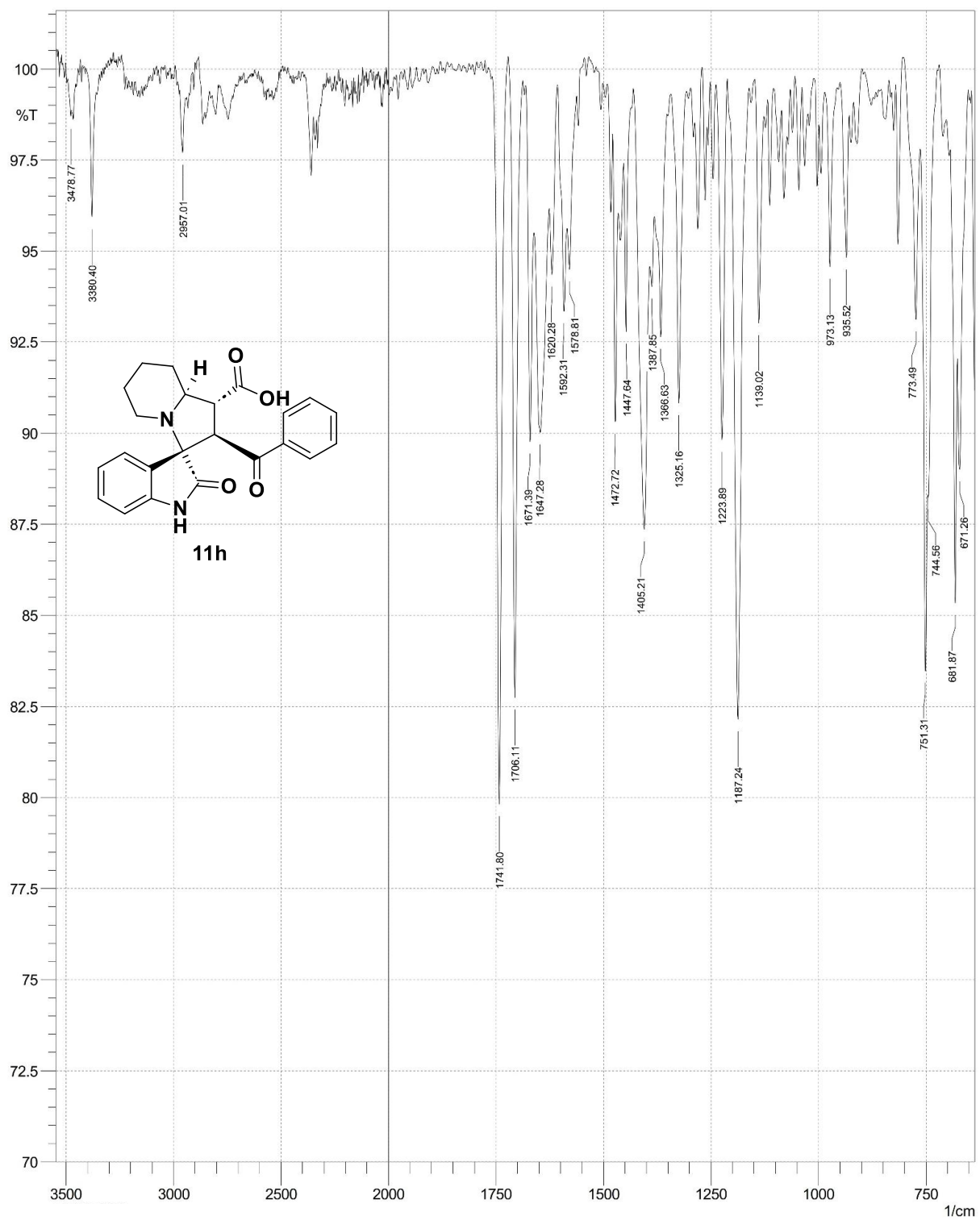


Figure S97. FT-IR spectra of compound **11h**

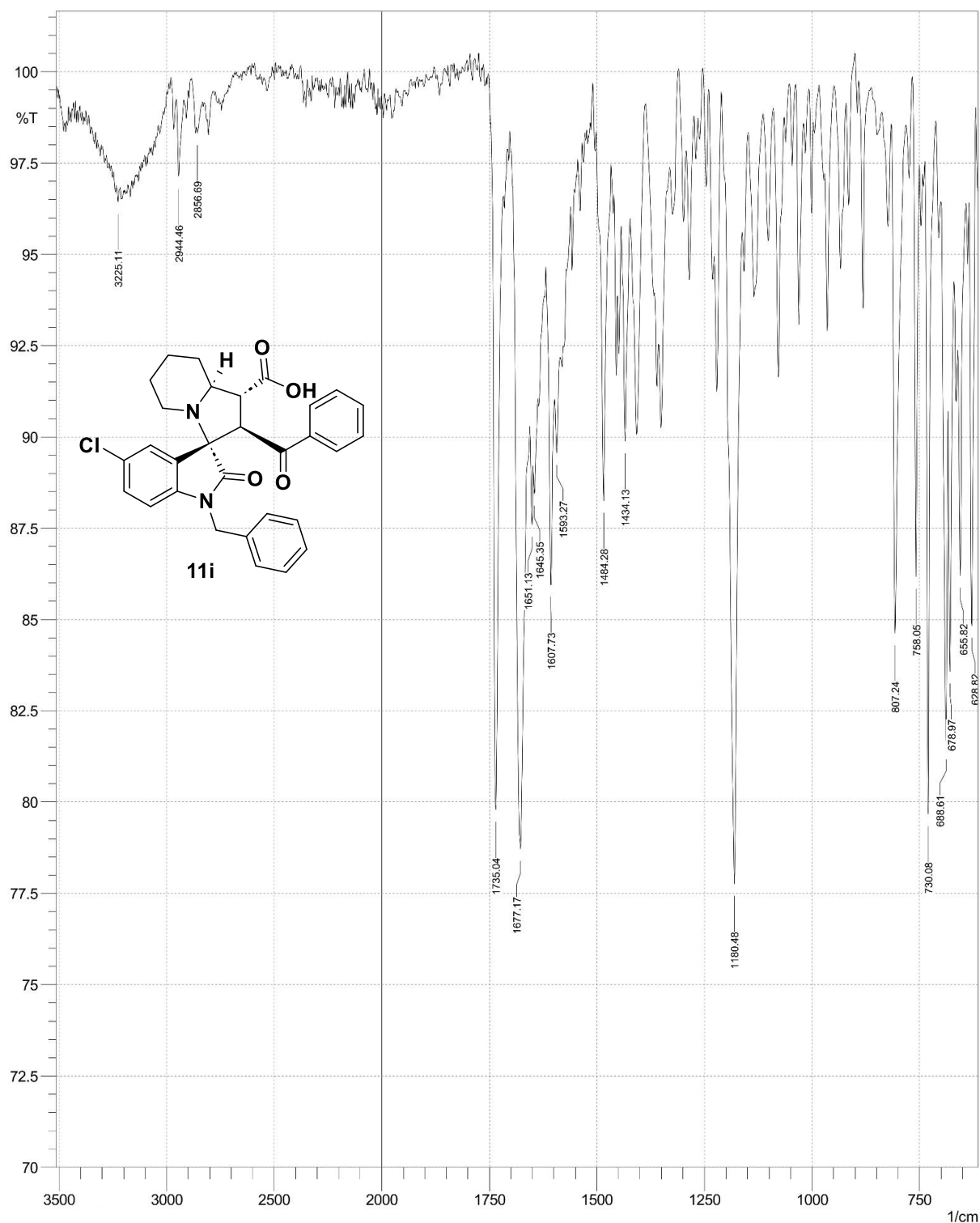


Figure S98. FT-IR spectra of compound **11i**

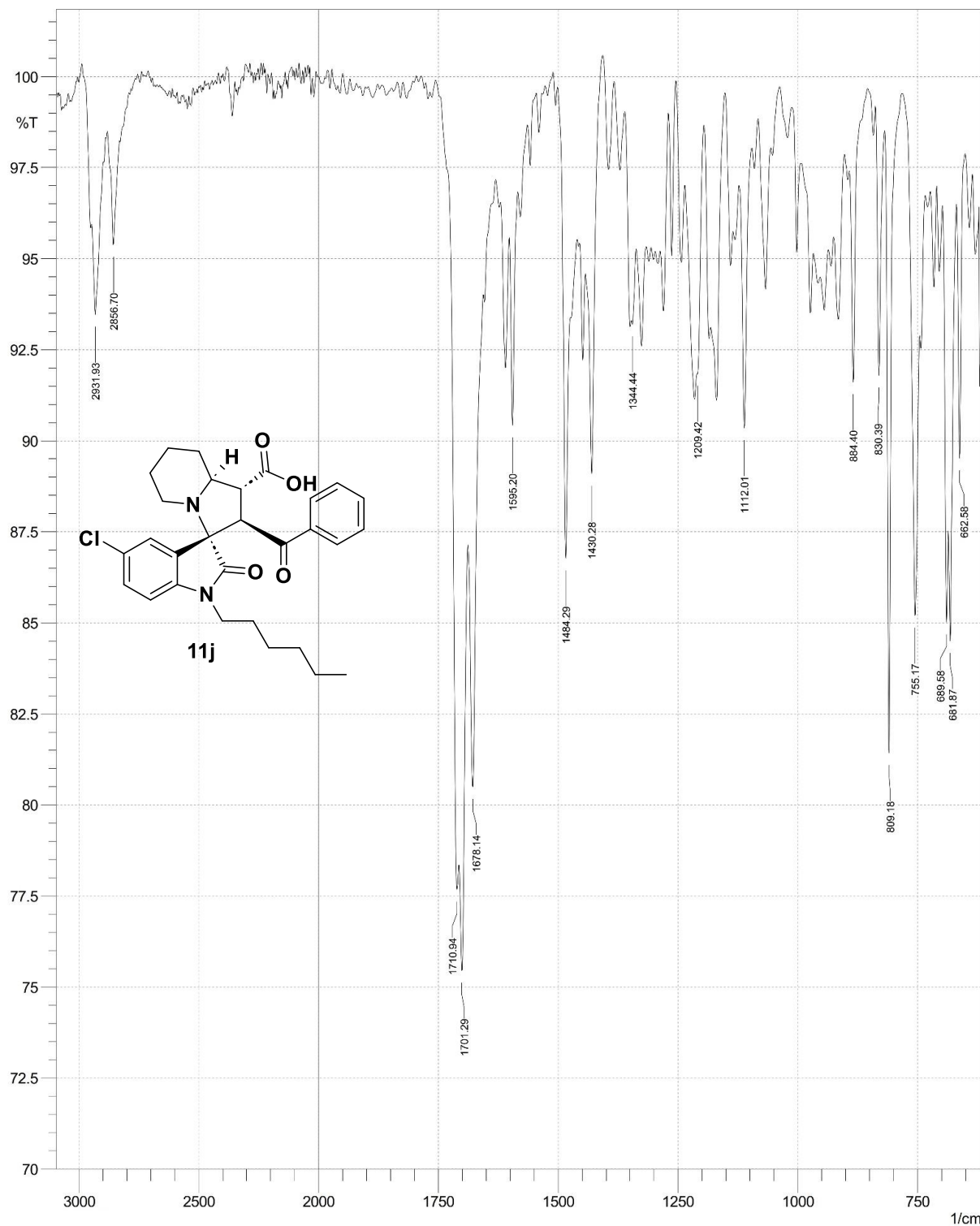


Figure S99. FT-IR spectra of compound **11j**

Table S2. Tested biological pathways and diseases, KEGG database.

Pathway list	
hsa05200	Pathways in cancer - Homo sapiens (human)
hsa04010	MAPK signaling pathway - Homo sapiens (human)
hsa04151	PI3K-Akt signaling pathway - Homo sapiens (human)
hsa05226	Gastric cancer - Homo sapiens (human)
hsa05206	MicroRNAs in cancer - Homo sapiens (human)
hsa01524	Platinum drug resistance - Homo sapiens (human)
hsa05210	Colorectal cancer - Homo sapiens (human)
hsa05225	Hepatocellular carcinoma - Homo sapiens (human) AGE-RAGE signaling pathway in diabetic complications - Homo sapiens (human)
hsa04933	
hsa05169	Epstein-Barr virus infection - Homo sapiens (human)
hsa04014	Ras signaling pathway - Homo sapiens (human)
hsa05161	Hepatitis B - Homo sapiens (human)
hsa05215	Prostate cancer - Homo sapiens (human)
hsa05022	Pathways of neurodegeneration - multiple diseases - Homo sapiens (human)
hsa05170	Human immunodeficiency virus 1 infection - Homo sapiens (human)
hsa04060	Cytokine-cytokine receptor interaction - Homo sapiens (human)
hsa05224	Breast cancer - Homo sapiens (human)
hsa04020	Calcium signaling pathway - Homo sapiens (human)
hsa04810	Regulation of actin cytoskeleton - Homo sapiens (human)
hsa05152	Tuberculosis - Homo sapiens (human)
hsa05212	Pancreatic cancer - Homo sapiens (human)
hsa04350	TGF-beta signaling pathway - Homo sapiens (human)
hsa04115	p53 signaling pathway - Homo sapiens (human)
hsa04520	Adherens junction - Homo sapiens (human)
hsa05203	Viral carcinogenesis - Homo sapiens (human)
hsa04380	Osteoclast differentiation - Homo sapiens (human)
hsa04144	Endocytosis - Homo sapiens (human)
hsa05168	Herpes simplex virus 1 infection - Homo sapiens (human)
hsa04510	Focal adhesion - Homo sapiens (human)
hsa05142	Chagas disease - Homo sapiens (human)
hsa05202	Transcriptional misregulation in cancer - Homo sapiens (human)
hsa04390	Hippo signaling pathway - Homo sapiens (human)
hsa05010	Alzheimer disease - Homo sapiens (human)
hsa04015	Rap1 signaling pathway - Homo sapiens (human)
hsa05165	Human papillomavirus infection - Homo sapiens (human)
hsa04066	HIF-1 signaling pathway - Homo sapiens (human)
hsa05222	Small cell lung cancer - Homo sapiens (human)
hsa01522	Endocrine resistance - Homo sapiens (human)

hsa05417	Lipid and atherosclerosis - Homo sapiens (human)
hsa04071	Sphingolipid signaling pathway - Homo sapiens (human)
hsa04640	Hematopoietic cell lineage - Homo sapiens (human)
hsa05205	Proteoglycans in cancer - Homo sapiens (human)
hsa05418	Fluid shear stress and atherosclerosis - Homo sapiens (human)
hsa05014	Amyotrophic lateral sclerosis - Homo sapiens (human)
hsa04210	Apoptosis - Homo sapiens (human)
hsa01521	EGFR tyrosine kinase inhibitor resistance - Homo sapiens (human)
hsa05163	Human cytomegalovirus infection - Homo sapiens (human)
hsa05220	Chronic myeloid leukemia - Homo sapiens (human) Viral protein interaction with cytokine and cytokine receptor - Homo sapiens (human)
hsa04061	Toxoplasmosis - Homo sapiens (human)
hsa04310	Wnt signaling pathway - Homo sapiens (human)
hsa05132	Salmonella infection - Homo sapiens (human)
hsa05162	Measles - Homo sapiens (human)
hsa04215	Apoptosis - multiple species - Homo sapiens (human)
hsa05016	Huntington disease - Homo sapiens (human)
hsa05207	Chemical carcinogenesis - receptor activation - Homo sapiens (human)
hsa04360	Axon guidance - Homo sapiens (human)
hsa05143	African trypanosomiasis - Homo sapiens (human) Epithelial cell signaling in Helicobacter pylori infection - Homo sapiens (human)
hsa05120	Estrogen signaling pathway - Homo sapiens (human)
hsa04330	Notch signaling pathway - Homo sapiens (human)
hsa04932	Non-alcoholic fatty liver disease - Homo sapiens (human)
hsa04630	JAK-STAT signaling pathway - Homo sapiens (human)
hsa03082	ATP-dependent chromatin remodeling - Homo sapiens (human)
hsa04672	Intestinal immune network for IgA production - Homo sapiens (human)
hsa05416	Viral myocarditis - Homo sapiens (human)
hsa04140	Autophagy - animal - Homo sapiens (human)
hsa05020	Prion disease - Homo sapiens (human)
hsa04218	Cellular senescence - Homo sapiens (human)
hsa04062	Chemokine signaling pathway - Homo sapiens (human)
hsa04141	Protein processing in endoplasmic reticulum - Homo sapiens (human)
hsa05219	Bladder cancer - Homo sapiens (human)
hsa04530	Tight junction - Homo sapiens (human)
hsa04217	Necroptosis - Homo sapiens (human)
hsa05223	Non-small cell lung cancer - Homo sapiens (human)
hsa04919	Thyroid hormone signaling pathway - Homo sapiens (human)
hsa04650	Natural killer cell mediated cytotoxicity - Homo sapiens (human)
hsa04657	IL-17 signaling pathway - Homo sapiens (human)

hsa03260	Virion - Human immunodeficiency virus - Homo sapiens (human)
hsa05012	Parkinson disease - Homo sapiens (human)
hsa05230	Central carbon metabolism in cancer - Homo sapiens (human)
hsa04670	Leukocyte transendothelial migration - Homo sapiens (human)
hsa00983	Drug metabolism - other enzymes - Homo sapiens (human)
hsa04068	FoxO signaling pathway - Homo sapiens (human)
hsa05134	Legionellosis - Homo sapiens (human)
hsa04261	Adrenergic signaling in cardiomyocytes - Homo sapiens (human)
hsa05133	Pertussis - Homo sapiens (human)
hsa04928	Parathyroid hormone synthesis, secretion and action - Homo sapiens (human)
hsa04022	cGMP-PKG signaling pathway - Homo sapiens (human)
hsa03250	Viral life cycle - HIV-1 - Homo sapiens (human)
hsa04064	NF-kappa B signaling pathway - Homo sapiens (human)
hsa04613	Neutrophil extracellular trap formation - Homo sapiens (human)
hsa04926	Relaxin signaling pathway - Homo sapiens (human)
hsa05164	Influenza A - Homo sapiens (human)
hsa05131	Shigellosis - Homo sapiens (human)
hsa04722	Neurotrophin signaling pathway - Homo sapiens (human)
hsa05218	Melanoma - Homo sapiens (human)
hsa05160	Hepatitis C - Homo sapiens (human)
hsa04371	Apelin signaling pathway - Homo sapiens (human)
hsa03083	Polycomb repressive complex - Homo sapiens (human)
hsa04012	ErbB signaling pathway - Homo sapiens (human)
hsa04726	Serotonergic synapse - Homo sapiens (human)
hsa04148	Efferocytosis - Homo sapiens (human)
hsa05204	Chemical carcinogenesis - DNA adducts - Homo sapiens (human)
hsa04750	Inflammatory mediator regulation of TRP channels - Homo sapiens (human)
hsa04610	Complement and coagulation cascades - Homo sapiens (human)
hsa04340	Hedgehog signaling pathway - Homo sapiens (human)
hsa04623	Cytosolic DNA-sensing pathway - Homo sapiens (human)
hsa04213	Longevity regulating pathway - multiple species - Homo sapiens (human)
hsa04725	Cholinergic synapse - Homo sapiens (human)
hsa05221	Acute myeloid leukemia - Homo sapiens (human)
hsa05031	Amphetamine addiction - Homo sapiens (human)
hsa00982	Drug metabolism - cytochrome P450 - Homo sapiens (human)
hsa00480	Glutathione metabolism - Homo sapiens (human)
hsa04668	TNF signaling pathway - Homo sapiens (human)
hsa05166	Human T-cell leukemia virus 1 infection - Homo sapiens (human)
hsa04621	NOD-like receptor signaling pathway - Homo sapiens (human)
hsa05130	Pathogenic Escherichia coli infection - Homo sapiens (human)

hsa05034	Alcoholism - Homo sapiens (human)
hsa05213	Endometrial cancer - Homo sapiens (human)
hsa05167	Kaposi sarcoma-associated herpesvirus infection - Homo sapiens (human)
hsa01100	Metabolic pathways - Homo sapiens (human)
hsa04080	Neuroactive ligand-receptor interaction - Homo sapiens (human)
hsa00980	Metabolism of xenobiotics by cytochrome P450 - Homo sapiens (human)
hsa04110	Cell cycle - Homo sapiens (human)
hsa05146	Amoebiasis - Homo sapiens (human)
hsa04936	Alcoholic liver disease - Homo sapiens (human)
hsa05415	Diabetic cardiomyopathy - Homo sapiens (human)
hsa04659	Th17 cell differentiation - Homo sapiens (human)

ID	Silicos-IT class	GI absorption	BBB permeant	Pgp substrate	CYP1A2 inhibitor	CYP2C19 inhibitor	CYP2C9 inhibitor	CYP2D6 inhibitor	CYP3A4 inhibitor	log Kp (cm/s)
9a	Poorly soluble	High	Yes	Yes	No	No	Yes	Yes	Yes	-8.17
9b	Moderately soluble	High	No	Yes	No	No	No	No	No	-8.77
9c	Moderately soluble	High	No	Yes	No	No	No	No	No	-8.82
9d	Poorly soluble	High	Yes	Yes	No	No	Yes	Yes	Yes	-7.54
9e	Moderately soluble	High	No	Yes	No	No	No	Yes	Yes	-8.58
9f	Poorly soluble	High	No	Yes	No	No	Yes	Yes	Yes	-7.94
9g	Poorly soluble	High	No	Yes	No	No	No	Yes	Yes	-8.34
9h	Moderately soluble	High	No	Yes	No	No	No	No	No	-8.64
9i	Moderately soluble	High	No	Yes	No	No	No	No	No	-9.21
9j	Poorly soluble	High	No	Yes	No	No	Yes	Yes	Yes	-7.71
9k	Poorly soluble	High	Yes	Yes	No	No	Yes	Yes	Yes	-8.21
9l	Moderately soluble	High	No	Yes	No	No	No	No	No	-8.85
9m	Poorly soluble	High	No	Yes	No	Yes	Yes	Yes	Yes	-7.3
11a	Moderately soluble	High	No	Yes	No	No	No	Yes	No	-8.48
11b	Moderately soluble	High	No	Yes	No	No	No	Yes	No	-8.68
11c	Moderately soluble	High	No	Yes	No	No	No	Yes	Yes	-8.6
11d	Moderately soluble	High	No	Yes	No	No	No	Yes	Yes	-8.41
11e	Poorly soluble	High	Yes	Yes	No	No	Yes	Yes	Yes	-8.00
11f	Poorly soluble	High	No	Yes	No	No	No	Yes	Yes	-7.37
11g	Moderately soluble	High	Yes	Yes	No	No	No	Yes	Yes	-8.37
11h	Moderately soluble	High	No	Yes	No	No	No	No	No	-8.65
11i	Poorly soluble	High	No	Yes	No	No	Yes	Yes	Yes	-7.77
11j	Poorly soluble	High	No	Yes	No	No	Yes	Yes	Yes	-7.14

ID	Lipinski #violations	Ghose #violations	Veber #violations	Egan #violations	Muegge #violations	Bioavailability Score	PAINS #alerts	Brenk #alerts	Leadlikeness #violations	Synthetic Accessibility
9a	0	1	0	0	0	0.55	0	0	1	4.97
9b	0	0	0	0	0	0.55	0	0	1	4.53
9c	0	0	0	0	0	0.55	0	0	1	4.4
9d	0	1	0	0	0	0.55	0	0	2	5.14
9e	0	0	0	0	0	0.55	0	0	1	4.61
9f	1	2	0	0	0	0.55	0	0	1	5.03
9g	0	0	0	0	0	0.55	0	0	1	4.58
9h	0	0	0	0	0	0.55	0	0	1	4.56
9i	0	0	0	1	0	0.55	0	2	1	4.69
9j	1	2	0	0	0	0.55	0	0	1	5.12
9k	0	2	0	0	0	0.55	0	0	1	5.07
9l	0	0	0	0	0	0.55	0	0	1	4.52
9m	0	2	0	0	0	0.55	0	0	2	5.22
11a	0	0	0	0	0	0.55	0	0	1	4.67
11b	0	0	0	0	0	0.55	0	0	1	4.63
11c	0	0	0	0	0	0.55	0	0	1	4.64
11d	0	0	0	0	0	0.55	0	0	1	4.59
11e	0	2	0	0	0	0.55	0	0	1	5.08
11f	0	1	0	0	0	0.55	0	0	2	5.26
11g	0	0	0	0	0	0.55	0	0	1	4.72
11h	0	0	0	0	0	0.55	0	0	1	4.51
11i	1	2	0	0	0	0.55	0	0	1	5.15
11j	1	2	0	0	0	0.55	0	0	2	5.34

Table S4. Docking scores of the evaluated spirooxindoles **9a-m** and spirooxindoles **11a-j**.

Compound	Energy (Kcal/mol)	Target protein
9c	-7,1	10GS
9b	-7	10GS
9d	-6,6	10GS
9e	-7,1	10GS
9f	-7,3	10GS
9g	-7	10GS
9h	-7,1	10GS
9j	-7,4	10GS
9k	-7,4	10GS
9l	-7,1	10GS
9m	-6,8	10GS
11e	-7,2	10GS
11f	-6,7	10GS
11g	-6,9	10GS
11a	-6,9	10GS
11i	-7,3	10GS
11j	-7	10GS
9c	-7,5	1A3B
9b	-7,7	1A3B
9d	-6,5	1A3B
9e	-7,4	1A3B
9f	-7,9	1A3B
9g	-7,6	1A3B
9h	-7,5	1A3B
9j	-7,6	1A3B
9k	-7,2	1A3B
9l	-7,6	1A3B

9m	-6,9	1A3B
11e	-7,7	1A3B
11f	-7,8	1A3B
11g	-7,5	1A3B
11a	-7,8	1A3B
11i	-8,3	1A3B
11j	-7,3	1A3B
9c	-5,9	1H66
9b	-5,5	1H66
9d	-5	1H66
9e	-5,5	1H66
9f	-4,9	1H66
9g	-5,5	1H66
9h	-5,5	1H66
9j	-5,1	1H66
9k	-5,4	1H66
9l	-5,4	1H66
9m	-5,2	1H66
11e	-5,3	1H66
11f	-5,1	1H66
11g	-5,5	1H66
11a	-5,4	1H66
11i	-5,2	1H66
11j	-5,1	1H66
9c	-5,7	1H69
9b	-6,1	1H69
9d	-5	1H69
9e	-5,3	1H69
9f	-5,1	1H69
9g	-5,4	1H69

9h	-5,4	1H69
9j	-5,1	1H69
9k	-5,2	1H69
9l	-5,3	1H69
9m	-5	1H69
11e	-5,3	1H69
11f	-5,3	1H69
11g	-5,4	1H69
11a	-6,3	1H69
11i	-5,4	1H69
11j	-4,8	1H69
9c	-9,1	1NMS
9b	-8,7	1NMS
9d	-6,8	1NMS
9e	-9,3	1NMS
9f	-8,3	1NMS
9g	-9,4	1NMS
9h	-9,4	1NMS
9j	-7,3	1NMS
9k	-8,5	1NMS
9l	-9,2	1NMS
9m	-8	1NMS
11e	-7,8	1NMS
11f	-7,7	1NMS
11g	-8	1NMS
11a	-8,8	1NMS
11i	-7,4	1NMS
11j	-6,7	1NMS
9c	-8,6	1PY5
9b	-8,7	1PY5

9d	-7,5	1PY5
9e	-7,9	1PY5
9f	-6,1	1PY5
9g	-8,8	1PY5
9h	-7,7	1PY5
9j	-5,8	1PY5
9k	-5,5	1PY5
9l	-8,6	1PY5
9m	-6,9	1PY5
11e	-5,7	1PY5
11f	-5,1	1PY5
11g	-6,1	1PY5
11a	-7,8	1PY5
11i	-6,1	1PY5
11j	-5,2	1PY5
9c	-8,6	2FGI
9b	-8,9	2FGI
9d	-6,6	2FGI
9e	-8,7	2FGI
9f	-8	2FGI
9g	-7,7	2FGI
9h	-8,8	2FGI
9j	-7,1	2FGI
9k	-8,8	2FGI
9l	-8,9	2FGI
9m	-6,7	2FGI
11e	-8,6	2FGI
11f	-6,9	2FGI
11g	-7,9	2FGI
11a	-8,9	2FGI

11i	-7,1	2FGI
11j	-7,5	2FGI
9c	-8,5	2I0V
9b	-8,6	2I0V
9d	-8,6	2I0V
9e	-8,5	2I0V
9f	-7,1	2I0V
9g	-8,7	2I0V
9h	-8,6	2I0V
9j	-7,4	2I0V
9k	-7,1	2I0V
9l	-8,4	2I0V
9m	-8,7	2I0V
11e	-8,3	2I0V
11f	-8,9	2I0V
11g	-8,7	2I0V
11a	-8,7	2I0V
11i	-8,5	2I0V
11j	-9	2I0V
9c	-9,6	2IVU
9b	-9,8	2IVU
9d	-7,2	2IVU
9e	-9,4	2IVU
9f	-7,3	2IVU
9g	-9,2	2IVU
9h	-9,4	2IVU
9j	-7,5	2IVU
9k	-7,6	2IVU
9l	-9,4	2IVU
9m	-7	2IVU

11e	-6,9	2IVU
11f	-7	2IVU
11g	-7,1	2IVU
11a	-9,7	2IVU
11i	-6,9	2IVU
11j	-6,9	2IVU
9c	-8,2	2OJ9
9b	-8,5	2OJ9
9d	-8,3	2OJ9
9e	-6,3	2OJ9
9f	-7	2OJ9
9g	-6,4	2OJ9
9h	-6,3	2OJ9
9j	-7,1	2OJ9
9k	-5,9	2OJ9
9l	-7,5	2OJ9
9m	-5,8	2OJ9
11e	-6,1	2OJ9
11f	-6,1	2OJ9
11g	-6,7	2OJ9
11a	-8,3	2OJ9
11i	-5,9	2OJ9
11j	-6,1	2OJ9
9c	-7,4	2RFN
9b	-7,4	2RFN
9d	-7	2RFN
9e	-7,5	2RFN
9f	-6,9	2RFN
9g	-7,4	2RFN
9h	-7,5	2RFN

9j	-7,1	2RFN
9k	-6,9	2RFN
9l	-7,5	2RFN
9m	-6,4	2RFN
11e	-7,1	2RFN
11f	-7	2RFN
11g	-7,5	2RFN
11a	-7,4	2RFN
11i	-7,2	2RFN
11j	-7	2RFN
9c	-8,6	2W3L
9b	-8,8	2W3L
9d	-7,9	2W3L
9e	-9,1	2W3L
9f	-8,9	2W3L
9g	-8,5	2W3L
9h	-9,2	2W3L
9j	-8,6	2W3L
9k	-9,1	2W3L
9l	-8,9	2W3L
9m	-7,9	2W3L
11e	-8,7	2W3L
11f	-7,9	2W3L
11g	-8,4	2W3L
11a	-8,8	2W3L
11i	-9,2	2W3L
11j	-8,2	2W3L
9c	-5,6	2YHD
9b	-5,8	2YHD
9d	-5,3	2YHD

9e	-5,5	2YHD
9f	-5,5	2YHD
9g	-5,5	2YHD
9h	-5,5	2YHD
9j	-5,4	2YHD
9k	-5,3	2YHD
9l	-5,8	2YHD
9m	-5,2	2YHD
11e	-5,7	2YHD
11f	-5,6	2YHD
11g	-5,7	2YHD
11a	-5,8	2YHD
11i	-5,6	2YHD
11j	-5,6	2YHD
9c	-9,1	2ZM3
9b	-9,2	2ZM3
9d	-6,9	2ZM3
9e	-8,9	2ZM3
9f	-7,1	2ZM3
9g	-8,7	2ZM3
9h	-9	2ZM3
9j	-6,9	2ZM3
9k	-7,4	2ZM3
9l	-8,9	2ZM3
9m	-6,6	2ZM3
11e	-7,2	2ZM3
11f	-6,9	2ZM3
11g	-7,6	2ZM3
11a	-9,3	2ZM3
11i	-7,3	2ZM3

11j	-6,6	2ZM3
9c	-5,1	3B68
9b	-5,3	3B68
9d	-3,3	3B68
9e	-4,5	3B68
9f	-0,7	3B68
9g	-4,5	3B68
9h	-4,6	3B68
9j	-1,9	3B68
9k	-0,5	3B68
9l	-3,4	3B68
9m	-0,8	3B68
11e	-2,2	3B68
11f	-2,7	3B68
11g	-4,1	3B68
11a	-3,6	3B68
11i	-1,8	3B68
11j	-3,1	3B68
9c	-9,1	3DPK
9b	-8,9	3DPK
9d	-7,9	3DPK
9e	-9,2	3DPK
9f	-8,2	3DPK
9g	-9	3DPK
9h	-9,2	3DPK
9j	-6,8	3DPK
9k	-8,2	3DPK
9l	-9,1	3DPK
9m	-8	3DPK
11e	-8,9	3DPK

11f	-8,2	3DPK
11g	-8,1	3DPK
11a	-8,9	3DPK
11i	-8,9	3DPK
11j	-8,2	3DPK
9c	-9,6	3HOK
9b	-9,7	3HOK
9d	-8,9	3HOK
9e	-9,3	3HOK
9f	-10	3HOK
9g	-9,2	3HOK
9h	-9,3	3HOK
9j	-10,2	3HOK
9k	-9,6	3HOK
9l	-9,7	3HOK
9m	-8,7	3HOK
11e	-10,1	3HOK
11f	-8,4	3HOK
11g	-9	3HOK
11a	-9	3HOK
11i	-10,2	3HOK
11j	-8,5	3HOK
9c	-8,6	3IW4
9b	-8,8	3IW4
9d	-8,6	3IW4
9e	-8,8	3IW4
9f	-9,3	3IW4
9g	-8,6	3IW4
9h	-8,8	3IW4
9j	-9	3IW4

9k	-9,4	3IW4
9l	-8,7	3IW4
9m	-8,7	3IW4
11e	-7	3IW4
11f	-8,2	3IW4
11g	-7,4	3IW4
11a	-8,1	3IW4
11i	-7	3IW4
11j	-8,4	3IW4
9c	-9,3	3OE6
9b	-9,5	3OE6
9d	-7,2	3OE6
9e	-9,5	3OE6
9f	-8,3	3OE6
9g	-8,7	3OE6
9h	-9,5	3OE6
9j	-8,6	3OE6
9k	-8,3	3OE6
9l	-9,4	3OE6
9m	-7,3	3OE6
11e	-8,6	3OE6
11f	-7,7	3OE6
11g	-8,3	3OE6
11a	-9,5	3OE6
11i	-8,3	3OE6
11j	-7,5	3OE6
9c	-7,2	3PXK
9b	-7,5	3PXK
9d	-7,2	3PXK
9e	-7,2	3PXK

9f	-7,6	3PXK
9g	-7,4	3PXK
9h	-7,2	3PXK
9j	-8	3PXK
9k	-8,1	3PXK
9l	-7,4	3PXK
9m	-7,1	3PXK
11e	-8	3PXK
11f	-7,1	3PXK
11g	-7,6	3PXK
11a	-7,5	3PXK
11i	-7,7	3PXK
11j	-7,3	3PXK
9c	-6,9	3ZLR
9b	-7,2	3ZLR
9d	-5,6	3ZLR
9e	-7,1	3ZLR
9f	-7,3	3ZLR
9g	-7	3ZLR
9h	-6,8	3ZLR
9j	-6,8	3ZLR
9k	-6,1	3ZLR
9l	-7	3ZLR
9m	-6	3ZLR
11e	-6,3	3ZLR
11f	-6,9	3ZLR
11g	-6,7	3ZLR
11a	-7,1	3ZLR
11i	-6,3	3ZLR
11j	-6,9	3ZLR

9c	-8,5	4AFJ
9b	-8,6	4AFJ
9d	-7,8	4AFJ
9e	-8,4	4AFJ
9f	-8,3	4AFJ
9g	-8,6	4AFJ
9h	-8,5	4AFJ
9j	-8,3	4AFJ
9k	-8,2	4AFJ
9l	-8,4	4AFJ
9m	-8	4AFJ
11e	-8	4AFJ
11f	-8	4AFJ
11g	-7,7	4AFJ
11a	-8,6	4AFJ
11i	-8,4	4AFJ
11j	-7,5	4AFJ
9c	-7,8	4ARK
9b	-8,1	4ARK
9d	-7,4	4ARK
9e	-7,8	4ARK
9f	-7,9	4ARK
9g	-8	4ARK
9h	-7,8	4ARK
9j	-7,9	4ARK
9k	-8	4ARK
9l	-7,8	4ARK
9m	-7,3	4ARK
11e	-8,1	4ARK
11f	-7,3	4ARK

11g	-7,5	4ARK
11a	-8,1	4ARK
11i	-8,3	4ARK
11j	-7,6	4ARK
9c	-8,8	4AWI
9b	-9,2	4AWI
9d	-8,5	4AWI
9e	-8,1	4AWI
9f	-7,6	4AWI
9g	-8,5	4AWI
9h	-8,1	4AWI
9j	-7,8	4AWI
9k	-8,3	4AWI
9l	-8,2	4AWI
9m	-7,6	4AWI
11e	-8,7	4AWI
11f	-8,6	4AWI
11g	-8,7	4AWI
11a	-8,3	4AWI
11i	-7,6	4AWI
11j	-8,6	4AWI
9c	-8,3	4CMO
9b	-8,6	4CMO
9d	-7,4	4CMO
9e	-8,2	4CMO
9f	-7,9	4CMO
9g	-7,9	4CMO
9h	-8,3	4CMO
9j	-7,6	4CMO
9k	-8,7	4CMO

9l	-8	4CMO
9m	-7,1	4CMO
11e	-9,1	4CMO
11f	-7,7	4CMO
11g	-7,9	4CMO
11a	-8,7	4CMO
11i	-8,2	4CMO
11j	-7,4	4CMO
9c	-8,1	4CMT
9b	-8,6	4CMT
9d	-7,5	4CMT
9e	-8,4	4CMT
9f	-7,3	4CMT
9g	-7,6	4CMT
9h	-8,1	4CMT
9j	-7,3	4CMT
9k	-8,2	4CMT
9l	-8,1	4CMT
9m	-7,1	4CMT
11e	-8,5	4CMT
11f	-7,5	4CMT
11g	-7,7	4CMT
11a	-8,7	4CMT
11i	-7,2	4CMT
11j	-7,1	4CMT
9c	-8,1	4CMU
9b	-8,7	4CMU
9d	-7,8	4CMU
9e	-8,5	4CMU
9f	-8,1	4CMU

9g	-7,7	4CMU
9h	-8,6	4CMU
9j	-7,7	4CMU
9k	-8	4CMU
9l	-8,4	4CMU
9m	-7,1	4CMU
11e	-8,3	4CMU
11f	-7,7	4CMU
11g	-8,4	4CMU
11a	-8,8	4CMU
11i	-8,5	4CMU
11j	-7,3	4CMU
9c	-7,2	4DST
9b	-7,5	4DST
9d	-6,5	4DST
9e	-7	4DST
9f	-6,5	4DST
9g	-7	4DST
9h	-7	4DST
9j	-6,6	4DST
9k	-6,7	4DST
9l	-7	4DST
9m	-6,6	4DST
11e	-6,8	4DST
11f	-6,4	4DST
11g	-7,1	4DST
11a	-7,2	4DST
11i	-6,7	4DST
11j	-6,9	4DST
9c	-8,4	4FX3

9b	-8,6	4FX3
9d	-6,8	4FX3
9e	-8,3	4FX3
9f	-7,7	4FX3
9g	-7,8	4FX3
9h	-8,5	4FX3
9j	-7,7	4FX3
9k	-7,7	4FX3
9l	-8,3	4FX3
9m	-7	4FX3
11e	-7,8	4FX3
11f	-7	4FX3
11g	-7,4	4FX3
11a	-8,7	4FX3
11i	-7,8	4FX3
11j	-7,1	4FX3
9c	-6,5	4HVS
9b	-6,8	4HVS
9d	-6,7	4HVS
9e	-7	4HVS
9f	-7,6	4HVS
9g	-7	4HVS
9h	-7	4HVS
9j	-7,4	4HVS
9k	-7,6	4HVS
9l	-6,9	4HVS
9m	-7,2	4HVS
11e	-7,2	4HVS
11f	-6	4HVS
11g	-6,7	4HVS

11a	-5,8	4HVS
11i	-7,1	4HVS
11j	-4,3	4HVS
9c	-6,5	4JKV
9b	-6,7	4JKV
9d	-6	4JKV
9e	-6,9	4JKV
9f	-6,6	4JKV
9g	-7,2	4JKV
9h	-6,5	4JKV
9j	-6,4	4JKV
9k	-6,6	4JKV
9l	-6,6	4JKV
9m	-5,9	4JKV
11e	-6,4	4JKV
11f	-6,1	4JKV
11g	-6,8	4JKV
11a	-6,8	4JKV
11i	-6,5	4JKV
11j	-6,2	4JKV
9c	-8,5	4JYG
9b	-10,5	4JYG
9d	-8,4	4JYG
9e	-7,9	4JYG
9f	-8	4JYG
9g	-8	4JYG
9h	-8	4JYG
9j	-8,4	4JYG
9k	-8	4JYG
9l	-8,4	4JYG

9m	-7,9	4JYG
11e	-7,7	4JYG
11f	-7,4	4JYG
11g	-7,9	4JYG
11a	-7,9	4JYG
11i	-7,6	4JYG
11j	-7,9	4JYG
9c	-8,5	4JYH
9b	-8,6	4JYH
9d	-7,5	4JYH
9e	-8,1	4JYH
9f	-7,9	4JYH
9g	-8,2	4JYH
9h	-8,2	4JYH
9j	-7,8	4JYH
9k	-8,2	4JYH
9l	-8,5	4JYH
9m	-7,3	4JYH
11e	-7,3	4JYH
11f	-7,1	4JYH
11g	-8,5	4JYH
11a	-8,6	4JYH
11i	-7,4	4JYH
11j	-7,2	4JYH
9c	-8	4JYI
9b	-8	4JYI
9d	-7,1	4JYI
9e	-7,6	4JYI
9f	-7,5	4JYI
9g	-7,7	4JYI

9h	-7,7	4JYI
9j	-8,8	4JYI
9k	-9	4JYI
9l	-8,1	4JYI
9m	-6,9	4JYI
11e	-7,2	4JYI
11f	-7,1	4JYI
11g	-7,4	4JYI
11a	-7,4	4JYI
11i	-7,3	4JYI
11j	-7,2	4JYI
9c	-8,3	4LWH
9b	-8,4	4LWH
9d	-7,7	4LWH
9e	-8	4LWH
9f	-6,9	4LWH
9g	-7,4	4LWH
9h	-8	4LWH
9j	-9	4LWH
9k	-7,1	4LWH
9l	-8,4	4LWH
9m	-7,9	4LWH
11e	-7,3	4LWH
11f	-8	4LWH
11g	-7,8	4LWH
11a	-8	4LWH
11i	-6,8	4LWH
11j	-8,2	4LWH
9c	-8,4	4TXC
9b	-8,5	4TXC

9d	-7,2	4TXC
9e	-8	4TXC
9f	-7,5	4TXC
9g	-8,1	4TXC
9h	-8,1	4TXC
9j	-7,7	4TXC
9k	-7,4	4TXC
9l	-8,5	4TXC
9m	-7,1	4TXC
11e	-7,6	4TXC
11f	-7,3	4TXC
11g	-8,4	4TXC
11a	-8,5	4TXC
11i	-7,7	4TXC
11j	-7,2	4TXC
9c	-8	4U81
9b	-8,2	4U81
9d	-6,5	4U81
9e	-7,7	4U81
9f	-7,4	4U81
9g	-7,9	4U81
9h	-7,7	4U81
9j	-7,7	4U81
9k	-7,6	4U81
9l	-7,8	4U81
9m	-6,6	4U81
11e	-6,7	4U81
11f	-6,6	4U81
11g	-7	4U81
11a	-8,1	4U81

11i	-6,8	4U81
11j	-7,6	4U81
9c	-6	4UAI
9b	-6,2	4UAI
9d	-5	4UAI
9e	-6,1	4UAI
9f	-5,5	4UAI
9g	-6,3	4UAI
9h	-6,2	4UAI
9j	-5,5	4UAI
9k	-5,4	4UAI
9l	-6,3	4UAI
9m	-5,1	4UAI
11e	-5,4	4UAI
11f	-5,3	4UAI
11g	-5,8	4UAI
11a	-5,9	4UAI
11i	-5,5	4UAI
11j	-5,4	4UAI
9c	-8,3	4XUF
9b	-8,4	4XUF
9d	-7,9	4XUF
9e	-6,9	4XUF
9f	-8,8	4XUF
9g	-6,9	4XUF
9h	-7,6	4XUF
9j	-6,8	4XUF
9k	-8,9	4XUF
9l	-7,3	4XUF
9m	-7,9	4XUF

11e	-7,2	4XUF
11f	-7,1	4XUF
11g	-7,5	4XUF
11a	-7,6	4XUF
11i	-8,8	4XUF
11j	-8,1	4XUF
9c	-7,8	4ZNU
9b	-7,9	4ZNU
9d	-6,7	4ZNU
9e	-7	4ZNU
9f	-6,1	4ZNU
9g	-7	4ZNU
9h	-6,7	4ZNU
9j	-6,6	4ZNU
9k	-6,3	4ZNU
9l	-7,1	4ZNU
9m	-6,7	4ZNU
11e	-6,5	4ZNU
11f	-5,5	4ZNU
11g	-8	4ZNU
11a	-7,7	4ZNU
11i	-6,5	4ZNU
11j	-7,5	4ZNU
9c	-8,3	5DTV
9b	-8,5	5DTV
9d	-7,8	5DTV
9e	-7,8	5DTV
9f	-9,6	5DTV
9g	-7,9	5DTV
9h	-7,8	5DTV

9j	-9,1	5DTV
9k	-9,6	5DTV
9l	-8	5DTV
9m	-8,3	5DTV
11e	-9,3	5DTV
11f	-8	5DTV
11g	-8,1	5DTV
11a	-8,7	5DTV
11i	-9,4	5DTV
11j	-8,1	5DTV
9c	-9,1	5EQG
9b	-9	5EQG
9d	-8,3	5EQG
9e	-9,1	5EQG
9f	-8,1	5EQG
9g	-9,4	5EQG
9h	-9,3	5EQG
9j	-7,9	5EQG
9k	-8,1	5EQG
9l	-9,4	5EQG
9m	-7,7	5EQG
11e	-9,4	5EQG
11f	-7,8	5EQG
11g	-8,2	5EQG
11a	-8,9	5EQG
11i	-8,9	5EQG
11j	-7,9	5EQG
9c	-8,8	5EQH
9b	-8,9	5EQH
9d	-8,2	5EQH

9e	-8,1	5EQH
9f	-7,8	5EQH
9g	-8,3	5EQH
9h	-8,2	5EQH
9j	-8	5EQH
9k	-8	5EQH
9l	-8,9	5EQH
9m	-7,2	5EQH
11e	-8,1	5EQH
11f	-8,2	5EQH
11g	-7,4	5EQH
11a	-8,6	5EQH
11i	-8,1	5EQH
11j	-7,2	5EQH
9c	-7,6	5GGZ
9b	-7,8	5GGZ
9d	-5,9	5GGZ
9e	-7,8	5GGZ
9f	-7,6	5GGZ
9g	-7,6	5GGZ
9h	-7,9	5GGZ
9j	-7,6	5GGZ
9k	-7,6	5GGZ
9l	-7,7	5GGZ
9m	-6	5GGZ
11e	-7,9	5GGZ
11f	-6,1	5GGZ
11g	-6,8	5GGZ
11a	-7,9	5GGZ
11i	-8	5GGZ

11j	-6,1	5GGZ
9c	-7,6	5ICN
9b	-8,1	5ICN
9d	-7	5ICN
9e	-7,9	5ICN
9f	-6,7	5ICN
9g	-8,1	5ICN
9h	-8,2	5ICN
9j	-8,1	5ICN
9k	-6,7	5ICN
9l	-7,8	5ICN
9m	-7,6	5ICN
11e	-6,8	5ICN
11f	-7,7	5ICN
11g	-7,8	5ICN
11a	-8,3	5ICN
11i	-6,9	5ICN
11j	-7,7	5ICN
9c	-6,4	5JHH
9b	-6,6	5JHH
9d	-5,8	5JHH
9e	-6,6	5JHH
9f	-6,3	5JHH
9g	-6,9	5JHH
9h	-6,6	5JHH
9j	-6,4	5JHH
9k	-6,2	5JHH
9l	-6,6	5JHH
9m	-6,1	5JHH
11e	-5,9	5JHH

11f	-5,7	5JHH
11g	-6,7	5JHH
11a	-6,6	5JHH
11i	-6,2	5JHH
11j	-6,1	5JHH
9c	-7,9	5K13
9b	-8,1	5K13
9d	-9,1	5K13
9e	-7,3	5K13
9f	-7,2	5K13
9g	-7,3	5K13
9h	-7,3	5K13
9j	-6,2	5K13
9k	-8,5	5K13
9l	-7,3	5K13
9m	-5,6	5K13
11e	-7,1	5K13
11f	-7,6	5K13
11g	-6,7	5K13
11a	-7,7	5K13
11i	-5,1	5K13
11j	-4,5	5K13
9c	-10,6	5KIR
9b	-9,8	5KIR
9d	-7,7	5KIR
9e	-9,5	5KIR
9f	-9,2	5KIR
9g	-9,6	5KIR
9h	-9,6	5KIR
9j	-9,3	5KIR

9k	-8	5KIR
9l	-10,2	5KIR
9m	-7,3	5KIR
11e	-9,5	5KIR
11f	-8,1	5KIR
11g	-9,6	5KIR
11a	-9,6	5KIR
11i	-9,9	5KIR
11j	-8,4	5KIR
9c	-7,7	5OVE
9b	-8,3	5OVE
9d	-7,4	5OVE
9e	-7,5	5OVE
9f	-7,7	5OVE
9g	-7,7	5OVE
9h	-8,3	5OVE
9j	-7,5	5OVE
9k	-7,6	5OVE
9l	-7,6	5OVE
9m	-7,5	5OVE
11e	-8,1	5OVE
11f	-7,3	5OVE
11g	-7,4	5OVE
11a	-7,7	5OVE
11i	-7,9	5OVE
11j	-7,4	5OVE
9c	-7,9	5OVG
9b	-7,9	5OVG
9d	-7,2	5OVG
9e	-7,9	5OVG

9f	-7,4	5OVG
9g	-7,9	5OVG
9h	-7,8	5OVG
9j	-6,8	5OVG
9k	-8,1	5OVG
9l	-7,9	5OVG
9m	-7,3	5OVG
11e	-6,8	5OVG
11f	-7,4	5OVG
11g	-7,2	5OVG
11a	-8	5OVG
11i	-7,3	5OVG
11j	-7,4	5OVG
9c	-8,6	5U3X
9b	-8,7	5U3X
9d	-7,6	5U3X
9e	-8,3	5U3X
9f	-7,2	5U3X
9g	-8,3	5U3X
9h	-8,3	5U3X
9j	-7,1	5U3X
9k	-8,2	5U3X
9l	-8	5U3X
9m	-7,7	5U3X
11e	-9,3	5U3X
11f	-8,2	5U3X
11g	-8,5	5U3X
11a	-8,1	5U3X
11i	-7,6	5U3X
11j	-7,1	5U3X

9c	-8,6	5U46
9b	-8,6	5U46
9d	-8,5	5U46
9e	-8,7	5U46
9f	-7,8	5U46
9g	-8,9	5U46
9h	-8,6	5U46
9j	-7,9	5U46
9k	-7,8	5U46
9l	-8,8	5U46
9m	-7,5	5U46
11e	-9,8	5U46
11f	-8,5	5U46
11g	-8,7	5U46
11a	-8,5	5U46
11i	-8,1	5U46
11j	-7,8	5U46
9c	-9,3	5UZK
9b	-9,5	5UZK
9d	-9,8	5UZK
9e	-9,4	5UZK
9f	-9	5UZK
9g	-10	5UZK
9h	-9,4	5UZK
9j	-9,3	5UZK
9k	-8,8	5UZK
9l	-9,2	5UZK
9m	-9,2	5UZK
11e	-8,6	5UZK
11f	-9,7	5UZK

11g	-8,4	5UZK
11a	-9,3	5UZK
11i	-9	5UZK
11j	-8,3	5UZK
9c	-7,8	5V1B
9b	-7,9	5V1B
9d	-7,4	5V1B
9e	-8,2	5V1B
9f	-6,7	5V1B
9g	-8,4	5V1B
9h	-8,1	5V1B
9j	-7,7	5V1B
9k	-7	5V1B
9l	-7,3	5V1B
9m	-6,9	5V1B
11e	-6,9	5V1B
11f	-6,5	5V1B
11g	-6,8	5V1B
11a	-8	5V1B
11i	-6,9	5V1B
11j	-6,8	5V1B
9c	-8,1	5WFP
9b	-8,2	5WFP
9d	-6,6	5WFP
9e	-7,8	5WFP
9f	-8,4	5WFP
9g	-7,9	5WFP
9h	-8	5WFP
9j	-8,2	5WFP
9k	-8,4	5WFP

9l	-7,8	5WFP
9m	-7,3	5WFP
11e	-7,7	5WFP
11f	-6,9	5WFP
11g	-7,3	5WFP
11a	-8	5WFP
11i	-8,6	5WFP
11j	-7,3	5WFP
9c	-7,6	5WNE
9b	-7,9	5WNE
9d	-6,7	5WNE
9e	-7,3	5WNE
9f	-6,6	5WNE
9g	-7,5	5WNE
9h	-7,2	5WNE
9j	-8	5WNE
9k	-6,7	5WNE
9l	-7,5	5WNE
9m	-6,6	5WNE
11e	-8	5WNE
11f	-7,7	5WNE
11g	-7,1	5WNE
11a	-7,5	5WNE
11i	-6,6	5WNE
11j	-7,7	5WNE
9c	-7,7	5X02
9b	-6,9	5X02
9d	-6,4	5X02
9e	-7,1	5X02
9f	-8,1	5X02

9g	-7,2	5X02
9h	-7,1	5X02
9j	-8,3	5X02
9k	-8,1	5X02
9l	-7,1	5X02
9m	-7,9	5X02
11e	-6,6	5X02
11f	-7,8	5X02
11g	-6,5	5X02
11a	-6,9	5X02
11i	-8,2	5X02
11j	-8	5X02
9c	-8,8	6BVL
9b	-9,1	6BVL
9d	-8	6BVL
9e	-8	6BVL
9f	-8,1	6BVL
9g	-8,5	6BVL
9h	-8,1	6BVL
9j	-8,2	6BVL
9k	-8,4	6BVL
9l	-8,1	6BVL
9m	-8	6BVL
11e	-8,5	6BVL
11f	-7,7	6BVL
11g	-8,9	6BVL
11a	-9	6BVL
11i	-8,6	6BVL
11j	-7,9	6BVL
9c	-7,3	6EHA

9b	-7,5	6EHA
9d	-7,3	6EHA
9e	-7,1	6EHA
9f	-6,4	6EHA
9g	-7,2	6EHA
9h	-7,3	6EHA
9j	-6,4	6EHA
9k	-6,4	6EHA
9l	-7,2	6EHA
9m	-7,2	6EHA
11e	-6,5	6EHA
11f	-5,8	6EHA
11g	-7,4	6EHA
11a	-6,8	6EHA
11i	-6,5	6EHA
11j	-6,3	6EHA
9c	-8,1	6GVA
9b	-8,2	6GVA
9d	-6,3	6GVA
9e	-7,1	6GVA
9f	-5,5	6GVA
9g	-6,8	6GVA
9h	-7,1	6GVA
9j	-6,4	6GVA
9k	-5,5	6GVA
9l	-7,5	6GVA
9m	-5,4	6GVA
11e	-5,8	6GVA
11f	-5,5	6GVA
11g	-6,4	6GVA

11a	-7,8	6GVA
11i	-5,5	6GVA
11j	-6,6	6GVA
9c	-8	6KX3
9b	-8,2	6KX3
9d	-7,5	6KX3
9e	-8,5	6KX3
9f	-9,1	6KX3
9g	-7,8	6KX3
9h	-8,7	6KX3
9j	-9	6KX3
9k	-9,1	6KX3
9l	-8,5	6KX3
9m	-7,8	6KX3
11e	-8,9	6KX3
11f	-7,6	6KX3
11g	-8,3	6KX3
11a	-8,3	6KX3
11i	-8,9	6KX3
11j	-7,8	6KX3
9c	-6,6	6M9T
9b	-6	6M9T
9d	-5,6	6M9T
9e	-5	6M9T
9f	-5,5	6M9T
9g	-5	6M9T
9h	-5,3	6M9T
9j	-4,9	6M9T
9k	-5,8	6M9T
9l	-5,5	6M9T

9m	-4	6M9T
11e	-5,9	6M9T
11f	-5,2	6M9T
11g	-5,2	6M9T
11a	-5,2	6M9T
11i	-5,6	6M9T
11j	-4,9	6M9T
9c	-6,9	6QJ5
9b	-6,7	6QJ5
9d	-6,4	6QJ5
9e	-6,4	6QJ5
9f	-6,9	6QJ5
9g	-6,4	6QJ5
9h	-6,4	6QJ5
9j	-6,7	6QJ5
9k	-7,1	6QJ5
9l	-6,3	6QJ5
9m	-6,4	6QJ5
11e	-7,1	6QJ5
11f	-6,2	6QJ5
11g	-6,3	6QJ5
11a	-6,5	6QJ5
11i	-7,1	6QJ5
11j	-6,1	6QJ5
9c	-8,3	6SCM
9b	-8,4	6SCM
9d	-7,3	6SCM
9e	-8,1	6SCM
9f	-6,9	6SCM
9g	-8,3	6SCM

9h	-8,1	6SCM
9j	-7,3	6SCM
9k	-7,1	6SCM
9l	-8,2	6SCM
9m	-7,4	6SCM
11e	-6,9	6SCM
11f	-7,6	6SCM
11g	-7,4	6SCM
11a	-8,3	6SCM
11i	-7,1	6SCM
11j	-7,6	6SCM
9c	-9,4	6TDC
9b	-8,8	6TDC
9d	-7	6TDC
9e	-7,2	6TDC
9f	-6,8	6TDC
9g	-7,8	6TDC
9h	-7,4	6TDC
9j	-6,5	6TDC
9k	-6,7	6TDC
9l	-8,7	6TDC
9m	-6,2	6TDC
11e	-7,6	6TDC
11f	-6,6	6TDC
11g	-6,7	6TDC
11a	-7,8	6TDC
11i	-6,6	6TDC
11j	-6,4	6TDC
9c	-8,7	6TYM
9b	-8,9	6TYM

9d	-8,6	6TYM
9e	-8,8	6TYM
9f	-9	6TYM
9g	-9,1	6TYM
9h	-8,8	6TYM
9j	-9,3	6TYM
9k	-9	6TYM
9l	-8,8	6TYM
9m	-8,7	6TYM
11e	-10,4	6TYM
11f	-9,2	6TYM
11g	-9,1	6TYM
11a	-8,9	6TYM
11i	-10,6	6TYM
11j	-9,2	6TYM
9c	-6,9	7AFW
9b	-7	7AFW
9d	-5,4	7AFW
9e	-6,6	7AFW
9f	-5,9	7AFW
9g	-6,5	7AFW
9h	-6,7	7AFW
9j	-5,9	7AFW
9k	-6	7AFW
9l	-6,7	7AFW
9m	-5,3	7AFW
11e	-6	7AFW
11f	-5,5	7AFW
11g	-6,6	7AFW
11a	-7	7AFW

11i	-5,9	7AFW
11j	-5,5	7AFW
9c	-6,4	7B88
9b	-5,8	7B88
9d	-4	7B88
9e	-5,9	7B88
9f	-5,1	7B88
9g	-5,3	7B88
9h	-6,1	7B88
9j	0,7	7B88
9k	-3,6	7B88
9l	-5,6	7B88
9m	-5	7B88
11e	-5,4	7B88
11f	-4,6	7B88
11g	-2,2	7B88
11a	-5,7	7B88
11i	-1,3	7B88
11j	-4,8	7B88
9c	-7	7B9O
9b	-5,8	7B9O
9d	-3,5	7B9O
9e	-4,6	7B9O
9f	-4,8	7B9O
9g	-5	7B9O
9h	-5,2	7B9O
9j	-4,4	7B9O
9k	-4,5	7B9O
9l	-4,5	7B9O
9m	-3,7	7B9O

11e	-2,6	7B9O
11f	-4,5	7B9O
11g	-2,9	7B9O
11a	-5,1	7B9O
11i	-2,3	7B9O
11j	-4,2	7B9O
9c	-8,8	7C2E
9b	-8,9	7C2E
9d	-8,5	7C2E
9e	-8,7	7C2E
9f	-8,6	7C2E
9g	-8,9	7C2E
9h	-8,9	7C2E
9j	-8,4	7C2E
9k	-8,6	7C2E
9l	-8,7	7C2E
9m	-8,6	7C2E
11e	-8,7	7C2E
11f	-8,4	7C2E
11g	-8,6	7C2E
11a	-9	7C2E
11i	-9	7C2E
11j	-7,9	7C2E
9c	-8,4	7LH7
9b	-8,8	7LH7
9d	-9	7LH7
9e	-8,6	7LH7
9f	-9	7LH7
9g	-8,7	7LH7
9h	-8,7	7LH7

9j	-8,7	7LH7
9k	-8,9	7LH7
9l	-8,6	7LH7
9m	-9,1	7LH7
11e	-8,6	7LH7
11f	-8,2	7LH7
11g	-9	7LH7
11a	-8,9	7LH7
11i	-8,9	7LH7
11j	-9,2	7LH7
9c	-8,2	7MPH
9b	-8,5	7MPH
9d	-7,6	7MPH
9e	-8,3	7MPH
9f	-7,9	7MPH
9g	-8,6	7MPH
9h	-8,3	7MPH
9j	-8,2	7MPH
9k	-8	7MPH
9l	-8,2	7MPH
9m	-7,4	7MPH
11e	-8,2	7MPH
11f	-7,5	7MPH
11g	-8,1	7MPH
11a	-8,5	7MPH
11i	-8,4	7MPH
11j	-7,8	7MPH
9c	-8	7NZN
9b	-7,9	7NZN
9d	-6,4	7NZN

9e	-7,7	7NZN
9f	-6,8	7NZN
9g	-7,8	7NZN
9h	-7,7	7NZN
9j	-6,3	7NZN
9k	-6,8	7NZN
9l	-7,7	7NZN
9m	-7,1	7NZN
11e	-6,3	7NZN
11f	-7,4	7NZN
11g	-7,3	7NZN
11a	-7,4	7NZN
11i	-6,4	7NZN
11j	-6,8	7NZN
9c	-7,2	7PCD
9b	-7,1	7PCD
9d	-6,1	7PCD
9e	-7,1	7PCD
9f	-7,2	7PCD
9g	-7,2	7PCD
9h	-7,1	7PCD
9j	-7,2	7PCD
9k	-7,2	7PCD
9l	-7	7PCD
9m	-6,1	7PCD
11e	-7,1	7PCD
11f	-6,2	7PCD
11g	-6,5	7PCD
11a	-7,1	7PCD
11i	-7,3	7PCD

11j	-6,2	7PCD
9c	-9,7	7Q6S
9b	-10	7Q6S
9d	-8,5	7Q6S
9e	-9,8	7Q6S
9f	-9,9	7Q6S
9g	-9,6	7Q6S
9h	-10	7Q6S
9j	-9,8	7Q6S
9k	-9,9	7Q6S
9l	-9,8	7Q6S
9m	-8,6	7Q6S
11e	-10,1	7Q6S
11f	-8,2	7Q6S
11g	-9	7Q6S
11a	-10,1	7Q6S
11i	-9,7	7Q6S
11j	-7,7	7Q6S
9c	-6,5	7UBT
9b	-6,5	7UBT
9d	-5,6	7UBT
9e	-6,5	7UBT
9f	-6,1	7UBT
9g	-6,6	7UBT
9h	-6,5	7UBT
9j	-6,1	7UBT
9k	-6,2	7UBT
9l	-6,7	7UBT
9m	-5,6	7UBT
11e	-6	7UBT

11f	-5,6	7UBT
11g	-6	7UBT
11a	-6,1	7UBT
11i	-6,1	7UBT
11j	-5,5	7UBT
9c	-7,8	7UR3
9b	-8,2	7UR3
9d	-5,3	7UR3
9e	-7,7	7UR3
9f	-7,5	7UR3
9g	-8	7UR3
9h	-7,8	7UR3
9j	-6,4	7UR3
9k	-7,9	7UR3
9l	-8	7UR3
9m	-4,8	7UR3
11e	-5,3	7UR3
11f	-5,6	7UR3
11g	-8,1	7UR3
11a	-7,9	7UR3
11i	-5,3	7UR3
11j	-5	7UR3
9c	-6,3	7ZRB
9b	-6,4	7ZRB
9d	-5,9	7ZRB
9e	-6,1	7ZRB
9f	-6,1	7ZRB
9g	-6,2	7ZRB
9h	-6,1	7ZRB
9j	-6,3	7ZRB

9k	-6,1	7ZRB
9l	-6,1	7ZRB
9m	-6	7ZRB
11e	-6,4	7ZRB
11f	-6,3	7ZRB
11g	-6,4	7ZRB
11a	-6,3	7ZRB
11i	-6,5	7ZRB
11j	-6,4	7ZRB
9c	-7,1	8ADF
9b	-7,3	8ADF
9d	-7,1	8ADF
9e	-6,9	8ADF
9f	-7,7	8ADF
9g	-7,2	8ADF
9h	-7	8ADF
9j	-7,9	8ADF
9k	-8	8ADF
9l	-7,1	8ADF
9m	-6,9	8ADF
11e	-7,9	8ADF
11f	-7,3	8ADF
11g	-7,4	8ADF
11a	-7,3	8ADF
11i	-7,8	8ADF
11j	-7,1	8ADF
9c	-8,1	8AOJ
9b	-8,3	8AOJ
9d	-7,7	8AOJ
9e	-8,1	8AOJ

9f	-7,7	8AOJ
9g	-7,7	8AOJ
9h	-8,2	8AOJ
9j	-7,7	8AOJ
9k	-8,8	8AOJ
9l	-7,8	8AOJ
9m	-7,6	8AOJ
11e	-8,8	8AOJ
11f	-7,7	8AOJ
11g	-7,4	8AOJ
11a	-8,2	8AOJ
11i	-7,9	8AOJ
11j	-7,4	8AOJ
9c	-7,7	8B54
9b	-7,7	8B54
9d	-6,7	8B54
9e	-8	8B54
9f	-7,9	8B54
9g	-7,5	8B54
9h	-8	8B54
9j	-8	8B54
9k	-7,9	8B54
9l	-7,9	8B54
9m	-6,8	8B54
11e	-7,4	8B54
11f	-6,7	8B54
11g	-7,3	8B54
11a	-7,8	8B54
11i	-7,7	8B54
11j	-6,9	8B54

9c	-7,6	8C0C
9b	-7,8	8C0C
9d	-6,7	8C0C
9e	-6,6	8C0C
9f	-6,8	8C0C
9g	-7,3	8C0C
9h	-7,3	8C0C
9j	-6,7	8C0C
9k	-6,9	8C0C
9l	-6,9	8C0C
9m	-7,2	8C0C
11e	-7	8C0C
11f	-6,3	8C0C
11g	-7,2	8C0C
11a	-7,7	8C0C
11i	-6,9	8C0C
11j	-6,6	8C0C
9c	-5,8	8CK3
9b	-5,8	8CK3
9d	-4,4	8CK3
9e	-5,8	8CK3
9f	-4,6	8CK3
9g	-5,9	8CK3
9h	-5,9	8CK3
9j	-4,4	8CK3
9k	-4,8	8CK3
9l	-5,7	8CK3
9m	-4,4	8CK3
11e	-4,8	8CK3
11f	-4,4	8CK3

11g	-5,8	8CK3
11a	-5,9	8CK3
11i	-4,5	8CK3
11j	-4,3	8CK3
9c	-6	8CK4
9b	-6,1	8CK4
9d	-4,4	8CK4
9e	-5,7	8CK4
9f	-4,4	8CK4
9g	-5,6	8CK4
9h	-5,6	8CK4
9j	-4,4	8CK4
9k	-4,7	8CK4
9l	-5,4	8CK4
9m	-4,2	8CK4
11e	-4,6	8CK4
11f	-4,1	8CK4
11g	-6	8CK4
11a	-5,6	8CK4
11i	-4,5	8CK4
11j	-4	8CK4
9c	-7,6	8DU6
9b	-7,3	8DU6
9d	-6,5	8DU6
9e	-7,3	8DU6
9f	-7	8DU6
9g	-7,3	8DU6
9h	-7,4	8DU6
9j	-6,9	8DU6
9k	-6,9	8DU6

9l	-7,4	8DU6
9m	-6,6	8DU6
11e	-6,7	8DU6
11f	-6,4	8DU6
11g	-7,3	8DU6
11a	-7,3	8DU6
11i	-6,9	8DU6
11j	-6,7	8DU6
9c	-7	8DUG
9b	-6,9	8DUG
9d	-6,1	8DUG
9e	-6,7	8DUG
9f	-7	8DUG
9g	-6,7	8DUG
9h	-6,8	8DUG
9j	-7	8DUG
9k	-6,9	8DUG
9l	-6,6	8DUG
9m	-6,5	8DUG
11e	-6,5	8DUG
11f	-6,1	8DUG
11g	-6,8	8DUG
11a	-6,7	8DUG
11i	-6,9	8DUG
11j	-6,5	8DUG
9c	-7	8DV8
9b	-7,2	8DV8
9d	-6,1	8DV8
9e	-7	8DV8
9f	-6,8	8DV8

9g	-6,9	8DV8
9h	-6,7	8DV8
9j	-7	8DV8
9k	-6,5	8DV8
9l	-7,2	8DV8
9m	-6,2	8DV8
11e	-7	8DV8
11f	-6,1	8DV8
11g	-6,6	8DV8
11a	-7,1	8DV8
11i	-7,3	8DV8
11j	-6,3	8DV8
9c	-7,8	8DVB
9b	-8,3	8DVB
9d	-6,1	8DVB
9e	-7,7	8DVB
9f	-6,6	8DVB
9g	-7,7	8DVB
9h	-7,7	8DVB
9j	-6,9	8DVB
9k	-6,7	8DVB
9l	-7,9	8DVB
9m	-5,9	8DVB
11e	-7	8DVB
11f	-6,4	8DVB
11g	-8,1	8DVB
11a	-8,2	8DVB
11i	-6,7	8DVB
11j	-6,7	8DVB
9c	-6,7	8FJH

9b	-6,8	8FJH
9d	-6,5	8FJH
9e	-6,7	8FJH
9f	-5,8	8FJH
9g	-6,5	8FJH
9h	-6,8	8FJH
9j	-7,3	8FJH
9k	-6,1	8FJH
9l	-6,7	8FJH
9m	-6,9	8FJH
11e	-5,9	8FJH
11f	-6,4	8FJH
11g	-6,2	8FJH
11a	-6,8	8FJH
11i	-5,9	8FJH
11j	-7,1	8FJH
9c	-8	8HF8
9b	-8,8	8HF8
9d	-7,3	8HF8
9e	-8,3	8HF8
9f	-8,3	8HF8
9g	-7,6	8HF8
9h	-8,3	8HF8
9j	-8,4	8HF8
9k	-8,4	8HF8
9l	-8,4	8HF8
9m	-7,3	8HF8
11e	-8,5	8HF8
11f	-7,6	8HF8
11g	-8,7	8HF8

11a	-7,8	8HF8
11i	-8,6	8HF8
11j	-7,5	8HF8
9c	-6,5	8P0F
9b	-6,7	8P0F
9d	-6,5	8P0F
9e	-6,5	8P0F
9f	-6,1	8P0F
9g	-6,5	8P0F
9h	-6,6	8P0F
9j	-6,2	8P0F
9k	-6,1	8P0F
9l	-6,3	8P0F
9m	-6	8P0F
11e	-6,1	8P0F
11f	-6	8P0F
11g	-6,5	8P0F
11a	-6,4	8P0F
11i	-6,3	8P0F
11j	-6,1	8P0F
9c	-7,3	8PYJ
9b	-7,5	8PYJ
9d	-6,1	8PYJ
9e	-7,2	8PYJ
9f	-6,4	8PYJ
9g	-7,2	8PYJ
9h	-7,2	8PYJ
9j	-6,6	8PYJ
9k	-6,4	8PYJ
9l	-7,6	8PYJ

9m	-6,2	8PYJ
11e	-6,4	8PYJ
11f	-6,4	8PYJ
11g	-7,3	8PYJ
11a	-7,3	8PYJ
11i	-6,6	8PYJ
11j	-6,2	8PYJ
9c	-7,7	8QJS
9b	-7,8	8QJS
9d	-5,7	8QJS
9e	-7	8QJS
9f	-7,5	8QJS
9g	-6,8	8QJS
9h	-7,1	8QJS
9j	-6,5	8QJS
9k	-7,6	8QJS
9l	-7,1	8QJS
9m	-6,1	8QJS
11e	-6,1	8QJS
11f	-5,8	8QJS
11g	-6,7	8QJS
11a	-7,6	8QJS
11i	-6,2	8QJS
11j	-5,7	8QJS